

การศึกษาเปรียบเทียบแรงยึดเชิงกลของแบร็กเกตเซรามิก 3 ชนิดที่มีลักษณะของฐานแตกต่างกัน

นางสาว อรนุช เฉลิมสกุลรัตน์



วิทยานิพนธ์นี้เป็นส่วนหนึ่งของการศึกษาตามหลักสูตรปริญญาวิทยาศาสตรมหาบัณฑิต
สาขาวิชาทันตกรรมจัดฟัน ภาควิชาทันตกรรมจัดฟัน
คณะทันตแพทยศาสตร์ จุฬาลงกรณ์มหาวิทยาลัย

ปีการศึกษา 2542

ISBN 974-333-821-7

ลิขสิทธิ์ของจุฬาลงกรณ์มหาวิทยาลัย

A COMPARATIVE STUDY OF MECHANICAL RETENTION OF
3 CERAMIC BRACKET BASE DESIGNS



A Thesis Submitted in Partial Fulfillment of the Requirements

for the Degree of Master of Science in Orthodontics

Department of Orthodontics

Faculty of Dentistry

Chulalongkorn University


Academic Year 1999

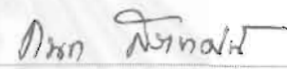
ISBN 974-333-821-7

หัวข้อวิทยานิพนธ์ การศึกษาเปรียบเทียบแรงยึดเชิงกลของแบร็กเกตเซรามิก 3 ชนิดที่มี
ลักษณะของฐานแตกต่างกัน
โดย นางสาว อรนุช เจลิมสกุลรัตน์
ภาควิชา ทันตกรรมจัดฟัน
อาจารย์ที่ปรึกษา ผู้ช่วยศาสตราจารย์ ทันตแพทย์ วัชระ เพชรคุปต์

คณะทันตแพทยศาสตร์ จุฬาลงกรณ์มหาวิทยาลัย อนุมัติให้บัณฑิตวิทยาลัยรับนี้เป็น
ส่วนหนึ่งของการศึกษาตามหลักสูตรปริญญาโท

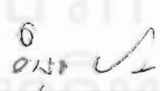
คณะกรรมการสอบวิทยานิพนธ์

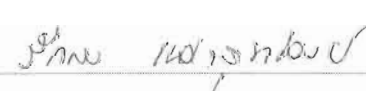
 คณะบดีคณะทันตแพทยศาสตร์
(รองศาสตราจารย์ ทันตแพทย์ สุรสิทธิ์ เกียรติพงษ์สาร)

 ประธานกรรมการ
(ผู้ช่วยศาสตราจารย์ ทันตแพทย์ กนก สรเทศน์)

 อาจารย์ที่ปรึกษา
(ผู้ช่วยศาสตราจารย์ ทันตแพทย์ วัชระ เพชรคุปต์)

 อาจารย์ที่ปรึกษาร่วม
(อาจารย์ ทันตแพทย์ ดร. ชลชชา ห่านรัตติย์)

 กรรมการ
(อาจารย์ ดร. อารุง จันทวานิช)

 กรรมการ
(ผู้ช่วยศาสตราจารย์ ทันตแพทย์ รักพร เหล่าสุทธิวงษ์)

อรนุช เฉลิมสกุลรัตน์ : การศึกษาเปรียบเทียบแรงยึดเชิงกลของแบรacketเซรามิก 3 ชนิดที่มีลักษณะ
ของฐานแตกต่างกัน (A COMPARATIVE STUDY OF MECHANICAL RETENTION OF 3 CERAMIC
BRACKET BASE DESIGNS) อ. ที่ปรึกษา : ผศ. ทพ. วัชร เพ็ชรคุปต์ , อ. ที่ปรึกษาร่วม : อ. ทพ.
ดร. ชลธชา ห่านรัตติกัย ; 102 หน้า. ISBN 974-333-821-7.

วัตถุประสงค์ของการวิจัยนี้ เพื่อศึกษาความแตกต่างของค่าเฉลี่ยกำลังแรงยึดแบบเฉือน/ปอกของ
แบรacketเซรามิกที่มีการออกแบบฐานที่มีลักษณะการยึดติดแบบพันธะเชิงกลแตกต่างกัน 3 ชนิด (แบรacket
เซรามิกรุ่น Transcend series 6000, แบรacketเซรามิกรุ่น 20/40m และแบรacketเซรามิก รุ่น Crystalline) เทียบ
กับแบรacketเหล็กกล้าไร้สนิมที่มีลักษณะของฐานแบรacketเป็นร่องในแนวนอนร่วมกับร่องรูปตัววี (Dyna-lock)
และเพื่อเปรียบเทียบบริเวณที่เกิดความล้มเหลวในการยึดติดภายหลังการหลุดของแบรacketเซรามิกที่มีการออกแบบ
ฐานแตกต่างกัน

กลุ่มตัวอย่างได้จากการสุ่มแบบเฉพาะเจาะจงแบ่งออกเป็น 4 กลุ่ม กลุ่มละ 30 ชิ้น ทำการติดแบรacket
บนฟันกรามน้อยที่ถอนจากผู้ป่วยที่เข้ารับการรักษาทางทันตกรรมจัดฟันทั้งหมด 120 ซี่ ด้วยวัสดุยึด Concise
ชิ้นงานตัวอย่างถูกฝังลงในท่อพีวีซีด้วยอะคริลิกเรซิน และเก็บในน้ำที่อุณหภูมิ 37 องศาเซลเซียส เป็นเวลา 24
ชั่วโมง ทำการทดสอบค่ากำลังแรงยึดแบบเฉือน/ปอกด้วยเครื่องทดสอบแรงทั่วไป (Instron universal testing
machine) และทำการตรวจสอบบริเวณที่เกิดความล้มเหลวในการยึดติดภายหลังการหลุดของแบรacketด้วยกล้อง
จุลทรรศน์สามมิติ กำลังขยาย 30 เท่า วัดค่าการเคลื่อนที่ของวัสดุยึดบนตัวฟันด้วยค่าดัชนีการเคลื่อนที่ของวัสดุยึด
(ARI) การทดสอบความแตกต่างของค่าเฉลี่ยกำลังแรงยึดแบบเฉือน/ปอกใช้สถิติการวิเคราะห์ความแปรปรวนแบบ
ทิศทางเดียว (One way ANOVA) ที่ระดับนัยสำคัญทางสถิติ 0.05 ถ้าผลของการวิเคราะห์มีความแตกต่างกัน
ทดสอบความแตกต่างของแต่ละคู่ด้วยการทดสอบเชฟเฟ้ (Scheffe's test) และการทดสอบความแตกต่างของ
บริเวณที่เกิดความล้มเหลวในการยึดติดใช้สถิติการทดสอบของครัสคาล -วอลลิส (Kruskal-Wallis's test) ที่ระดับ
นัยสำคัญทางสถิติ 0.05

ผลการวิจัยสรุปได้ว่า มีความแตกต่างอย่างมีนัยสำคัญทางสถิติของค่าเฉลี่ยกำลังแรงยึดแบบเฉือน/ ปอก
ของแบรacketเซรามิกที่มีลักษณะการออกแบบฐานแตกต่างกัน โดยแบรacketเซรามิกรุ่น 20/40 m ให้ค่ากำลังแรง
ยึดแบบเฉือน/ปอกมากที่สุด รองลงมาคือ แบรacketเซรามิกรุ่น Crystalline และแบรacketเซรามิกรุ่น Transcend
series 6000 ตามลำดับ โดยแบรacketเซรามิกทุกกลุ่มให้ค่ากำลังแรงยึดแบบเฉือน/ปอกที่เพียงพอสำหรับการใช้
งานในคลินิก บริเวณที่เกิดความล้มเหลวในการยึดติดพบที่บริเวณระหว่างแบรacketและวัสดุยึดคิดเป็นร้อยละสูง
สุดในแบรacketทุกกลุ่ม โดยไม่พบการแตกหักของผิวเคลือบฟันภายหลังการหลุดของแบรacket

ภาควิชา ทันตกรรมจัดฟัน
สาขาวิชา ทันตกรรมจัดฟัน
ปีการศึกษา 2542

ลายมือชื่อนิสิต.....
ลายมือชื่ออาจารย์ที่ปรึกษา.....
ลายมือชื่ออาจารย์ที่ปรึกษาร่วม.....

4076118132 : MAJOR ORTHODONTICS

KEY WORD: SHEAR/PEEL BOND STRENGTH / CERAMIC BRACKET / SITE OF BOND FAILURE

ORANUCH CHALERMSKULRATN : A COMPARATIVE STUDY OF MECHANICAL
RETENTION OF 3 CERAMIC BRACKET BASE DESIGNS. THESIS ADVISOR : ASSIST. PROF.
VACHARA PHETCHARAKUPT , THESIS COADVISOR : CHOLTACHA HARNIRATTISAI, Ph.D.
102 pp. ISBN 974-333-821-7.

The purpose of this study was to compare the in vitro mean shear/peel bond strength and bond failure location of three different mechanical bond ceramic brackets (Transcend series 6000, 20/40 m, Crystalline) and an Integral base stainless steel bracket (Dyna-lock).

By purposive sampling, Thirty brackets of each type were bonded to 120 freshly extracted human premolar teeth with Concise bonding adhesive. The samples were mounted with acrylic resin in PVC ring and incubated at 37 °c for 24 hours. Shear/peel bond strength was tested by an Instron universal testing machine. After testing, the teeth and brackets were examined under 30x magnification. Any adhesive remaining after bracket removal was assessed with the Adhesive Remnant Index (ARI). An one way ANOVA and Scheffe's test were used to evaluate the mean shear/peel bond strength. The sites of bond failure were evaluated by Kruskal-Wallis's test.

There is significant difference ($p < 0.05$) in mean shear/peel bond strength among various bracket base designs. The 20/40 m brackets have a significantly highest bond strength, followed by Crystalline, and Transcend series 6000. All bracket-adhesive combinations tested provide clinically acceptable shear/peel bond strength. The bracket/adhesive interface is the major site of bond failure in all groups ($p < 0.05$), and no enamel damage with any of the brackets.

สถาบันวิทยบริการ
จุฬาลงกรณ์มหาวิทยาลัย

ภาควิชา ทันตกรรมจัดฟัน

สาขาวิชา ทันตกรรมจัดฟัน

ปีการศึกษา 2542

ลายมือชื่อนิสิต.....

ลายมือชื่ออาจารย์ที่ปรึกษา.....

ลายมือชื่ออาจารย์ที่ปรึกษาร่วม.....



กิตติกรรมประกาศ

วิทยานิพนธ์ฉบับนี้สำเร็จลุล่วงไปได้ด้วยความช่วยเหลืออย่างดียิ่งจากผู้มีพระคุณหลายท่าน ทางด้านวิชาการผู้วิจัยขอกราบขอบพระคุณ ผู้ช่วยศาสตราจารย์ ทันตแพทย์ วิชระ เพชรคุปต์ อาจารย์ที่ปรึกษาวิทยานิพนธ์, อาจารย์ ทันตแพทย์ ดร. ชลธชา ห่านรัตติชัย อาจารย์ที่ปรึกษาวิทยานิพนธ์ร่วม และอาจารย์ในภาควิชาทันตกรรมจัดฟัน คณะทันตแพทยศาสตร์ จุฬาลงกรณ์มหาวิทยาลัยทุกท่าน ที่กรุณาให้คำแนะนำและข้อคิดเห็นต่างๆที่มีประโยชน์ต่อการวิจัย ด้วยดีตลอดมา

ผู้วิจัยขอกราบขอบพระคุณกรรมการสอบวิทยานิพนธ์ทุกท่านที่กรุณาให้คำแนะนำและตรวจแก้ไขวิทยานิพนธ์, บัณฑิตวิทยาลัย จุฬาลงกรณ์มหาวิทยาลัย และมูลนิธิทันตกรรมจัดฟันแห่งประเทศไทยซึ่งให้การสนับสนุนด้านเงินอุดหนุนการวิจัย, ผู้ช่วยศาสตราจารย์ ทันตแพทย์ กนก สรเทศน์ ที่กรุณาให้คำแนะนำและช่วยเหลือด้านคอมพิวเตอร์และการถ่ายภาพ, ผู้ช่วยศาสตราจารย์ ชัยรัตน์ วิวัฒน์วรพันธ์ ที่กรุณาให้คำแนะนำเกี่ยวกับการใช้เครื่องทดสอบแรงทั่วไปและคำแนะนำเกี่ยวกับแบร็กเกตเซรามิก, อาจารย์ ไพพรรณ พิทยานนท์ ที่กรุณาให้คำแนะนำด้านการวิเคราะห์ทางสถิติ

ขอขอบคุณ Prof. Dr. Swain, M.V. และ ทันตแพทย์ พรชัย จรัสเจริญวิทยา สำหรับคำแนะนำด้านวิชาการที่มีประโยชน์ต่อวิทยานิพนธ์

ขอขอบคุณบริษัท ทันต-สยาม วิสาหกิจ จำกัด, บริษัท ใจโก้ อินเตอร์เทรด จำกัด, บริษัท เฮอร์โก้ จำกัด, บริษัท ดีทแฮล์ม (ประเทศไทย) จำกัด และบริษัท เด็นทัล เฮ้าส์ จำกัด สำหรับวัสดุที่ใช้ในการวิจัย

ขอขอบคุณทันตแพทย์หญิง ปิยะธิดา จิตตานันท์ ที่กรุณาให้คำแนะนำที่มีประโยชน์ต่อวิทยานิพนธ์, ช่วยเหลือในการเก็บฟันตัวอย่างและตรวจสอบบริเวณที่เกิดความล้มเหลวในการยึดติดร่วมกับผู้วิจัย และอนุญาตให้ใช้เครื่องมือกำหนดแรงในการติดแบร็กเกต

ขอขอบคุณคุณพรเกียรติ ชื่นจิตอภิรมย์ สำหรับความช่วยเหลือในการทดสอบค่ากำลังแรงยึด, คุณสุวีรัตน์ เหลืองวรคุณ สำหรับคำแนะนำในการใช้กล้องจุลทรรศน์สามมิติ, คุณลาวัลย์ บุญประคอง สำหรับการตรวจสอบฐานแบร็กเกตด้วยกล้องจุลทรรศน์อิเล็กตรอนชนิดส่องกราด คุณนฤมล พิมลแสงสุริยา สำหรับความช่วยเหลือในการทำสไลด์ และขอขอบคุณ ร้อยเอก กำแพง พัฒนอริยางกูร สำหรับกำลังใจและความช่วยเหลือในทุกด้าน

ท้ายนี้ ผู้วิจัยใคร่ขอกราบขอบพระคุณ บิดา-มารดา ที่ให้กำลังใจ และสนับสนุนผู้วิจัยเสมอมา จนสำเร็จการศึกษา

คุณความดีจากงานวิจัยในครั้งนี้ ผู้วิจัยขอมอบแด่ผู้มีพระคุณต่อผู้วิจัยทุกท่าน

อรนุช เฉลิมสกุลรัตน์

สารบัญ

	หน้า
บทคัดย่อภาษาไทย.....	ง
บทคัดย่อภาษาอังกฤษ.....	จ
กิตติกรรมประกาศ.....	ฉ
สารบัญ.....	ช
สารบัญตาราง.....	ฅ
สารบัญภาพ.....	ญ
บทที่	
1. บทนำ.....	1
1.1 ความเป็นมาและความสำคัญของปัญหา.....	1
1.2 วัตถุประสงค์ของการวิจัย.....	4
1.3 สมมติฐานการวิจัย.....	4
1.4 ประโยชน์ที่ได้จากการวิจัย.....	4
1.5 ขอบเขตของการวิจัย.....	5
1.6 ข้อตกลงเบื้องต้น.....	6
1.7 ความไม่สมบูรณ์ของการวิจัย.....	7
1.8 คำจำกัดความ.....	8
2. วรรณคดีที่เกี่ยวข้อง.....	9
2.1 เซรามิกกับงานทัศนกรรมจัดฟัน.....	9
2.2 แบริกเกตเซรามิกชนิดโมโนคริสตอลลีนอะลูมินา.....	11
2.3 แบริกเกตเซรามิกชนิดโพลีคริสตอลลีนอะลูมินา.....	11
2.4 คุณสมบัติของแบริกเกตเซรามิกเปรียบเทียบกับแบริกเกตเหล็กกล้าไร้สนิม..	14
2.5 ผิวเคลือบฟัน.....	23
2.6 วัสดุยึด.....	30
2.7 แบริกเกต.....	35
- แบริกเกตโลหะ.....	35
- แบริกเกตพลาสติก.....	38
- แบริกเกตเซรามิก.....	39
2.8 กลไกการยึดติดของแบริกเกตเซรามิก.....	40
2.9 ความล้มเหลวในการยึดติดของแบริกเกตเซรามิก.....	44
2.10 ปัญหาที่เกิดจากการใช้แบริกเกตเซรามิกในคลินิก.....	46

สารบัญ (ต่อ)

	หน้า
2.11 ข้อเสนอแนะในการนำแบรคเกตเซรามิกมาใช้ในงานในคลินิก.....	48
บทที่	
3 ระเบียบวิธีวิจัย.....	50
3.1 ประชากร.....	50
3.2 กลุ่มตัวอย่าง.....	50
3.3 การรวบรวมข้อมูล.....	51
3.4 เครื่องมือที่ใช้ในการวิจัย.....	51
3.5 ขั้นตอนการทดลอง.....	53
3.6 ตัวแปรของการวิจัย.....	63
3.7 การวิเคราะห์ข้อมูล.....	64
4 ผลการวิเคราะห์ข้อมูล.....	65
5 สรุปผลการวิจัย อภิปรายผล และข้อเสนอแนะ.....	76
5.1 สรุปผลการวิจัย.....	76
5.2 อภิปรายผลการวิจัย.....	77
5.3 ข้อเสนอแนะ.....	84
รายการอ้างอิง.....	85
ภาคผนวก.....	94
ประวัติผู้วิจัย.....	102

สถาบันวิทยบริการ
จุฬาลงกรณ์มหาวิทยาลัย

สารบัญตาราง

			หน้า
ตารางที่	1	แสดงตัวอย่างผลิตภัณฑ์ต่างๆ	10
ตารางที่	2	เปรียบเทียบคุณสมบัติทางกายภาพของเซรามิกชนิด MCA และ PCA.....	13
ตารางที่	3	เปรียบเทียบคุณสมบัติทางกายภาพของเซรามิก 2 ชนิด และ เหล็กกล้าไร้สนิม.....	18
ตารางที่	4	แสดงค่าเฉลี่ย (Mean) กำลังแรงยึดแบบเนียน/ปอก (MPa) และ ส่วนเบี่ยงเบนมาตรฐาน (S.D.).....	67
ตารางที่	5	แสดงบริเวณที่เกิดความล้มเหลวในการยึดติดภายหลังการหลุด ของแบร็กเกตเซรามิกที่มีลักษณะของฐานแตกต่างกัน 3 ชนิดและ แบร็กเกตเหล็กกล้าไร้สนิม.....	69
ตารางที่	6	แสดงค่าแรงยึดแบบเนียน/ปอก (นิวตัน) ของแบร็กเกตเซรามิกและ แบร็กเกตเหล็กกล้าไร้สนิม.....	95
ตารางที่	7	แสดงค่ากำลังยึดแบบเนียน/ปอก (เมกะปาสคาล) ของแบร็กเกต เซรามิกและแบร็กเกตเหล็กกล้าไร้สนิม.....	96
ตารางที่	8	แสดงบริเวณที่เกิดความล้มเหลวในการยึดติดของแบร็กเกตเซรามิกและ แบร็กเกตเหล็กกล้าไร้สนิม.....	97
ตารางที่	9	แสดงสถิติวิเคราะห์ความแปรปรวนแบบทิศทางเดียว (One way ANOVA) ที่ระดับนัยสำคัญทางสถิติ 0.05 ของค่าเฉลี่ย กำลังแรงยึดแบบเนียน/ปอกของแบร็กเกตเซรามิก 3 ชนิด และ แบร็กเกตเหล็กกล้าไร้สนิม.....	98
ตารางที่	10,11	แสดงการวิธีการทดสอบความแตกต่างด้วยสถิติเชฟเฟ (Scheffe's test) ที่ระดับนัยสำคัญทางสถิติ 0.05 ของค่าเฉลี่ยกำลังแรงยึดแบบเนียน/ปอก ของแบร็กเกตเซรามิก 3 ชนิด และแบร็กเกตเหล็กกล้าไร้สนิม.....	99
ตารางที่	12	แสดงสถิติการทดสอบของครัสคาล-วอลลิส (Kruskal-Wallis test) ที่ระดับนัยสำคัญทางสถิติ 0.05 ของบริเวณที่เกิดความล้มเหลวใน การยึดติดของแบร็กเกตเซรามิก 3 ชนิด และแบร็กเกตเหล็กกล้าไร้สนิม..	101
ตารางที่	13	แสดงพื้นที่ของฐานแบร็กเกตที่มีลักษณะของฐานแตกต่างกัน 4 กลุ่ม	101

สารบัญญภาพ

	หน้า
รูปที่ 1 ภาพ 2 มิติ แสดงการปนเปื้อนในผลึกของสาร.....	12
รูปที่ 2 เปรียบเทียบลักษณะความใสของแบรกกेटเซรามิกชนิด PCA และ MCA..	13
รูปที่ 3 เปรียบเทียบความแข็งผิวรอกเวลล์ของวัสดุ 4 ชนิด.....	18
รูปที่ 4 แสดงโครงสร้างของอะตอมในผลึกเซรามิกซึ่งไม่สามารถโค้งตัวตาม ความเค้นที่กระทำจึงเกิดการหักของพันธะระหว่างอะตอม.....	19
รูปที่ 5 เปรียบเทียบความแข็งแรงดึงของวัสดุ 4 ชนิด.....	19
รูปที่ 6 แสดงการออกแบบแบรกกेटโดยการวิเคราะห์ด้วยไฟไนท์อีลีเมนต์ เพื่อลดความเค้นที่กระทำต่อแบรกกेट.....	20
รูปที่ 7 แสดงการผิตรีของโครงสร้างของผลึกเซรามิก.....	22
รูปที่ 8 แสดงลักษณะมีรูพรุนของวัสดุทำให้อนุภาคข้างเคียงไถลตัวเข้าแทนที่.....	22
รูปที่ 9 แผนภาพแสดงการเรียงตัวของปริซึมในชั้นของผิวเคลือบฟัน.....	24
รูปที่ 10 แสดงการเปลี่ยนแปลงในลักษณะต่าง ๆ ที่เกิดขึ้นบนผิวเคลือบฟัน.....	25
รูปที่ 11 ภาพถ่ายจากกล้องจุลทรรศน์อิเล็กตรอนชนิดส่องกราดแสดงลักษณะ ผิวเคลือบฟันที่ถูกกัดด้วยกรดไนตริกความเข้มข้นร้อยละ 2.5 เป็นเวลา 30 วินาที.....	29
รูปที่ 12 แสดงตัวอย่างฐานแบรกกेटเซรามิกที่มีอันเดอร์คัทลักษณะต่าง ๆ.....	40
รูปที่ 13 แสดงแผนภาพของบริเวณที่อาจจะเกิดความล้มเหลวขึ้นในการยึดแบรกกेट เข้ากับผิวเคลือบฟันด้วยวัสดุยึด.....	45
รูปที่ 14 แสดงบริเวณที่มีการแตกหักของแบรกกेटเซรามิก.....	45
รูปที่ 15 ลักษณะของฐานแบรกกेटที่ใช้ในการวิจัย.....	55
รูปที่ 16 แสดงเครื่องทดสอบแรงทั่วไป Instron ID 5566H1612.....	56
รูปที่ 17 แสดง Fixed head และ Cross head ของเครื่องทดสอบแรงทั่วไป Instron ID 5566H1612.....	56
รูปที่ 18 แสดง Pneumatic grip ของเครื่องทดสอบแรงทั่วไป.....	57
รูปที่ 19 แสดงตุ้มน้ำหนักขนาด 10 กิโลนิวตัน.....	57

สารบัญภาพ (ต่อ)

			หน้า
รูปที่	20	แสดงเครื่องมือช่วยในการจับชิ้นงาน.....	57
รูปที่	21	แสดงเครื่องมือที่สามารถกำหนดแรงที่ใช้ในการติดแบร็กเกต.....	58
รูปที่	22	แสดงตู้อินคิวเบเตอร์ Memmert model 600Gmbh.....	58
รูปที่	23	แสดงกล้องจุลทรรศน์สามมิติ Olympus SZH10.....	58
รูปที่	24	แสดงกล้องจุลทรรศน์อิเล็กตรอนชนิดส่องกราด JEOL JSM-5410LV.....	59
รูปที่	25	แสดงเครื่องฉาบผิวทอง JOEL JFC-1200.....	59
รูปที่	26	แสดงเครื่องกรอใส่หัวขัดยางรูปถ้วย และผงขัดชนิดละเอียด.....	59
รูปที่	27	แสดงกรดฟอสฟอริกความเข้มข้นร้อยละ 37 และวัสดุยึด Concise.....	60
รูปที่	28	พันกรามน้อยติดกับแผ่นพลาสติกโดยผิวพื้นด้านใกล้แก้มหันขึ้นและ ขนานกับระนาบของแผ่นพลาสติก.....	60
รูปที่	29	แสดงการยึดลวดเหล็กกล้าไร้สนิมขนาด 0.018x0.025 นิ้ว ในร่องของ แบร็กเกตเพื่อจัดตำแหน่งฟันในท่อพีวีซี.....	60
รูปที่	30	แสดงการยึดฟันที่ติดแบร็กเกตแล้วกับท่อพีวีซีชิ้นที่หนึ่ง.....	61
รูปที่	31	แสดงการวางท่อพีวีซีชิ้นที่หนึ่งซ้อนทับท่อพีวีซีชิ้นที่สอง.....	61
รูปที่	32	แสดงชิ้นงานตัวอย่างที่พร้อมสำหรับการทดสอบ.....	61
รูปที่	33	แสดงชิ้นงานตัวอย่างที่ร่องของแบร็กเกตขนานกับแนวระนาบ.....	62
รูปที่	34	แสดงการยึดเครื่องมือในการวิจัยด้วยเครื่องทดสอบแรงทั่วไป.....	62
รูปที่	35	แสดงลักษณะของเครื่องมือที่ออกแรงกระทำต่อแบร็กเกต ในการทดสอบด้วยเครื่อง Instron.....	62
รูปที่	36	แผนภูมิแท่งแสดงค่าเฉลี่ยกำลังแรงยึดแบบเนียน/ปอกของแบร็กเกต เซรามิก 3 ชนิด และแบร็กเกตเหล็กกล้าไร้สนิม.....	66
รูปที่	37	แผนภูมิแท่งแสดงบริเวณที่เกิดความล้มเหลวในการยึดติดของแบร็กเกต เซรามิก 3 ชนิด และแบร็กเกตเหล็กกล้าไร้สนิม.....	70
รูปที่	38	ภาพแสดงบริเวณที่เกิดความล้มเหลวในการยึดติดระหว่างแบร็กเกต และวัสดุยึด.....	71
รูปที่	39	ภาพแสดงบริเวณที่เกิดความล้มเหลวในการยึดติดภายในวัสดุยึด.....	71

สารบัญภาพ (ต่อ)

	หน้า
รูปที่ 40 ภาพแสดงบริเวณที่เกิดความล้มเหลวในการยึดติดระหว่างผิวเคลือบพื้นและวัสดุยึด.....	71
รูปที่ 41 แสดงลักษณะฐานแบรคเกตเซรามิก “ Transcend series 6000 ” ซึ่งมีลักษณะเป็นผลึกจำนวนมากกระจายอยู่ทั่วไปบนฐานแบรคเกต.....	72
รูปที่ 42 แสดงลักษณะพื้นผิวของฐานแบรคเกตเซรามิก “ Transcend series 6000 ” (กำลังขยาย 100 เท่า) ซึ่งประกอบด้วยผลึกรูปร่างไม่แน่นอนกระจายอยู่ทั่วไปบนพื้นผิว.....	72
รูปที่ 43 แสดงลักษณะฐานแบรคเกตเซรามิก “ 20/40 m ” ซึ่งมีลักษณะเป็นร่องในแนวนอน 3 ร่อง และผิวของฐานแบรคเกตมีลักษณะขรุขระและเป็นคลื่นๆ ซึ่งไม่สามารถมองเห็นได้ด้วยตาเปล่า.....	72
รูปที่ 44 แสดงลักษณะของร่องในแนวนอนของแบรคเกต 20/40 m ในแนวด้านข้าง พบลักษณะร่องมีอันเดอร์คัท และร่องทั้ง 3 มีความลึกใกล้เคียงกัน.....	73
รูปที่ 45 แสดงลักษณะร่องแบรคเกต 20/40 m มีลักษณะเป็นอันเดอร์คัทที่โค้งมน และผิวของฐานแบรคเกตมีความขรุขระมาก.....	73
รูปที่ 46 แสดงลักษณะฐานแบรคเกตเซรามิก “ Crytaline “ ซึ่งมีลักษณะเป็นหลุมจำนวน 12 หลุมและแบรคเกตมีความโค้งในแนวใกล้กลาง-ไกลกลาง.....	73
รูปที่ 47 แสดงลักษณะหลุมของแบรคเกตเซรามิก “ Crytaline “ ซึ่งเป็นแอ่งรูปกะทะหงายลักษณะโค้งมน.....	74
รูปที่ 48 แสดงลักษณะฐานแบรคเกตเหล็กกล้าไร้สนิม “ Dyna-lock “ ซึ่งมีลักษณะเป็นร่องในแนวนอน 4 ร่องเรียงตัวสลับกับร่องรูปตัววี.....	74
รูปที่ 49 แสดงลักษณะร่องในแนวนอนของแบรคเกต Dyna-lock เมื่อมองจากด้านข้าง.....	74
รูปที่ 50 แสดงลักษณะของร่องรูปตัววีและร่องในแนวนอนของแบรคเกต Dyna-lock ซึ่งมีส่วนฐานของร่องที่มีผิวขรุขระและมีลักษณะเป็นมุมแหลม...	75
รูปที่ 51 แสดงลักษณะด้านข้างของร่องในแนวนอนรูปสี่เหลี่ยมคางหมูของแบรคเกต Dyna-lock.....	75



ความเป็นมาและความสำคัญของปัญหา

ปัจจุบันมีจำนวนผู้ป่วยผู้ใหญ่ที่เข้ารับการรักษาทางทันตกรรมจัดฟันมากขึ้น โดยคิดเป็นร้อยละ 24 ของผู้ป่วยทางทันตกรรมจัดฟันทั้งหมด (Gottlieb, and Vogels, 1984 cited in Winchester, 1991) ซึ่งในจำนวนผู้ป่วยผู้ใหญ่เหล่านี้มีผู้ป่วยเพศหญิงในอัตราสูงเนื่องมาจากเหตุผลทางด้านความสวยงาม จึงนำไปสู่การพัฒนาออกแบบเครื่องมือทางทันตกรรมจัดฟันมากมาย (Newman, 1978 cited in Winchester, 1991)

แบรคเกต (bracket) ซึ่งเป็นอุปกรณ์สำคัญของเครื่องมือทางทันตกรรมจัดฟันชนิดติดแน่น โดยเป็นส่วนหนึ่งของเครื่องมือที่ติดอยู่บนฟันเพื่อควบคุมให้ฟันสามารถเคลื่อนที่ไปตามแรงทางทันตกรรมจัดฟันเข้าสู่ตำแหน่งที่ทันตแพทย์ต้องการได้ ในอดีตการยึดแบรคเกตให้ติดกับตัวฟันจะต้องเชื่อมแบรคเกตด้วยไฟฟ้าให้ติดกับปลอกโลหะรัดฟัน จากนั้นจึงนำปลอกโลหะรัดฟันซึ่งมีแบรคเกตติดอยู่นั้นยึดติดกับฟันด้วยซีเมนต์ทางทันตกรรม การใช้ปลอกโลหะรัดฟันกับฟันทุกซี่ทำให้มีข้อเสียทางด้านความสวยงาม เนื่องจากเห็นสีของโลหะอย่างชัดเจน นอกจากนี้ยังจะต้องมีการแยกฟันผู้ป่วยให้ห่างออกจากกันทุกซี่ ก่อนที่จะทำการยึดปลอกโลหะรัดฟันเข้ากับตัวฟันอันก่อให้เกิดความรู้สึกไม่สบายแก่ผู้ป่วย จึงมีการพัฒนาลักษณะของเครื่องมือมาเป็นการใช้แบรคเกตเหล็กกล้าไร้สนิมยึดกับผิวฟันโดยตรง โดยการใช้วัสดุยึดประเภทอะคริลิกเรซิน (acrylic resin) หรือ ไดอะคริลิกเรซิน (diacrylic resin) เป็นตัวเชื่อม ต่อมาได้มีการพัฒนาแบรคเกตให้มีขนาดเล็กลง แต่ขนาดที่เล็กลงอาจมีผลต่อการแก้ไขการเรียงตัวของฟันได้ไม่ดีเพียงพอ เนื่องจากขาดความกว้างในแนวใกล้กลาง - ไกลกลางที่เหมาะสมกับขนาดของฟัน และขนาดที่เล็กลงของแบรคเกตก็มิได้ทำให้ความสวยงามเพิ่มขึ้นเมื่อเปรียบเทียบกับข้อด้อยที่เกิดขึ้น

ในต้นทศวรรษ 1970 ได้มีการนำแบรคเกตโพลีคาร์บอเนต (polycarbonate) ซึ่งมีลักษณะโปร่งแสงและมีสีใกล้เคียงกับสีฟันมาใช้ในทางทันตกรรมจัดฟัน แต่ใช้งานได้ค่อนข้างจำกัดเนื่องจากไม่คงทนทำให้เกิดการแตกหักและไม่สามารถใช้งานได้อย่างต่อเนื่องระหว่างการรักษา, มีการเปลี่ยนแปลงรูปร่างเมื่อได้รับแรงบิดโดยเฉพาะการใส่ทอร์ค (torque) เข้าไปในเส้นลวดแบรคเกตโพลีคาร์บอเนตจะมีการเปลี่ยนสีและดัดสีเมื่อสัมผัสกับอาหารหรือเครื่องดื่ม, มีการดูดน้ำและการยึดติดก็ไม่สามารถใช้วัสดุชนิดทั่วไปได้ (Newman, 1969) ปัจจุบันมีการพัฒนาแบรคเกตโพลีคาร์บอเนต โดยอาจมีส่วนผสมของเซรามิกฟิลเลอร์ (ceramic filler) หรือทำให้สล็อต (slot) ของแบรคเกตเป็นโลหะ เพื่อปรับปรุงคุณสมบัติของแบรคเกต แต่ก็ยังคงมีข้อจำกัดของการใช้งาน โดย

ควรใช้ในผู้ป่วยที่ต้องการการเคลื่อนฟันหรือการทอร์คฟันเพียงเล็กน้อยและระยะเวลาในการรักษาสั้น ในระยะต่อมาได้มีการนำวิธีการจัดฟันชนิดติดแน่นทางด้านลิ้น (Lingual orthodontics) มาใช้ (Fujita, 1979) โดยการติดแบรคเกตเข้ากับฟันทางด้านลิ้น แต่การจัดฟันด้วยวิธีนี้มีความยุ่งยากในการรักษา และมีข้อจำกัดในการรักษาความผิดปกติของการสบฟันได้เพียงบางประเภท และใช้ระยะเวลาในการรักษา นอกจากนี้การมีเครื่องมือทางด้านลิ้นทำให้ผู้ป่วยออกเสียงผิดปกติและทำความสะอาดได้ยาก การมีเครื่องมือยึดติดกับฟันทางด้านลิ้นจะก่อให้เกิดความรู้สึกไม่สบายแก่ผู้ป่วย และขณะถอดแบรคเกตก็จะมีอาการสูญเสียผิวเคลือบฟันมากกว่าการถอดแบรคเกตบริเวณใกล้เคียง

ในปี 1986 เริ่มมีการนำเอาวัสดุประเภทเซรามิกเข้ามาใช้ในทางทันตกรรมจัดฟัน โดยนำมาผลิตเป็นแบรคเกต เนื่องจากเซรามิกมีคุณสมบัติที่โปร่งแสงก่อให้เกิดความสวยงาม สามารถต้านทานต่อการกัดกร่อนของสารเคมีและอุณหภูมิสูงหรือการติดสีจากอาหาร มีความคงทนแข็งแรงทำให้แบรคเกตเซรามิกมีบทบาทเข้ามาแทนแบรคเกตเหล็กกล้าไร้สนิมและแบรคเกตโพลีคาร์บอเนต แต่อย่างไรก็ตามแบรคเกตเซรามิกยังคงมีข้อด้อยเนื่องจาก คุณสมบัติทางกายภาพของเซรามิกที่มีความแข็งมาก ร่วมกับโครงสร้างการเรียงตัวของอะตอมในเนื้อเซรามิกเอง ทำให้มีความเปราะและความต้านทานต่อการแตกหักต่ำ แม้ว่าจะมีรอยแตกเล็กๆในพื้นผิว ก็สามารถจะลดแรงที่จะก่อให้เกิดการแตกหักของแบรคเกตได้ เมื่อมีการพิจารณาถึงปัจจัยซึ่งมีผลต่อกำลังแรงยึดของแบรคเกตเซรามิกพบว่า การออกแบบฐานแบรคเกตเซรามิกที่แตกต่างกันเพื่อยึดติดกับตัวฟันเป็นปัจจัยหนึ่ง จึงทำให้สามารถจำแนกลักษณะการยึดติดของแบรคเกตเซรามิกกับฟันได้ 3 ลักษณะ

1. การยึดติดด้วยพันธะเคมี (chemical retention)

เนื่องจากแบรคเกตเซรามิกประกอบด้วย อะลูมิเนียมออกไซด์ (aluminium oxide) ซึ่งไม่สามารถทำปฏิกิริยาทางเคมีกับวัสดุยึดได้ จึงได้มีการนำซิลเลนคัปปลิงเอเจนต์ (silane coupling agent) มาใช้เป็นเคมีคอลเมดิเอเตอร์ (chemical mediator) ระหว่างวัสดุยึดติดกับฐานแบรคเกต โดยโมเลกุลของซิลเลนจะเป็นไบฟังก์ชัน (bifunctional molecule) โดยที่ปลายข้างหนึ่งจะทำปฏิกิริยากับแก้วซิลิกา (silica glass) ซึ่งเป็นส่วนซึ่งเคลือบอยู่ที่ฐานของแบรคเกตเซรามิกทำให้แบรคเกตเซรามิกสามารถยึดติดกับผิวฟันโดยปฏิกิริยาเคมี

2. การยึดติดด้วยพันธะเชิงกล (mechanical retention)

โดยการทำอันเดอร์คัท (undercut) เป็นร่อง (grooves) , หลุม (dimples) หรือเป็นปุ่มนูนเพื่อช่วยในการยึดติดของวัสดุยึดกับแบรคเกต จากการศึกษาด้วยกล้องจุลทรรศน์อิเล็กตรอนชนิดส่องกราด พบว่าเรซินแท็ก (resin tag) ของวัสดุยึดติดกับผิวเคลือบฟัน โดยการเกาะเกี่ยวระหว่างฐานของแบรคเกตและผิวเคลือบฟัน

3. การยึดติดด้วยพันธะเคมีและพันธะเชิงกลร่วมกัน

โดยการมีไฮเลนคัพลิงค์เอเจนต์เคลือบที่ฐานแบรกกะตร่วมกับการทำฐานแบรกกะตให้มีลักษณะเป็นอันเตอร์คัท

ค่ากำลังแรงยึดแบบเนียนของแบรกกะตเซรามิกที่มีการยึดติดของฐานเป็นแบบพันธะเคมี จะมีค่ามากกว่าค่ากำลังแรงยึดแบบเนียนของแบรกกะตเซรามิกที่มีการยึดติดของฐานเป็นแบบพันธะเชิงกลและแบรกกะตเหล็กกล้าไร้สนิม นอกจากนี้พบว่าค่ากำลังแรงยึดแบบเนียนที่มีค่าสูงของแบรกกะตเซรามิกที่มีลักษณะการยึดของฐานแบบพันธะเคมีจะเกิดการทำลายผิวเคลือบฟันขณะถอดแบรกกะต (Gwinnett, 1988; Odegaard, and Segner, 1988; Swartz, 1988; Viazis et al. , 1990b; Winchester, 1991; Forsberg, and Hagberg, 1992; Merrill, Oesterle, and Hermes, 1994; Wang, Meng, and Tarng, 1997) โดย Joseph และ Rossouw (1990) พบว่า มีการแตกหักของผิวเคลือบฟันถึงร้อยละ 40 ในการถอดแบรกกะตเซรามิก ซึ่งอาจเนื่องมาจากเมื่อมีแรงกระทำกับแบรกกะต แบรกกะตเหล็กกล้าไร้สนิมจะมีความสามารถในการดูดซับแรงและเปลี่ยนแปลงแรงเป็นแบบของการบิดเบือนรูปร่างของโลหะ ทำให้เกิดความล้มเหลวของการยึดติดขึ้นที่ระหว่างฐานแบรกกะตและวัสดุยึด ส่วนในแบรกกะตเซรามิกซึ่งมีคุณสมบัติความแข็ง แบรกกะตจึงรับแรงโดยไม่สามารถดูดซับแรงและไม่เกิดการบิดเบือนของวัสดุทำให้แรงทั้งหมดส่งผ่านวัสดุยึดไปยังผิวเคลือบฟัน โดยเฉพาะในแบรกกะตเซรามิกที่มีลักษณะการยึดติดของฐานแบบพันธะเคมี ซึ่งมีความแข็งแรงของการยึดระหว่างฐานแบรกกะตกับวัสดุยึดมากกว่าระหว่างวัสดุยึดกับผิวเคลือบฟัน จึงอาจก่อให้เกิดการแตกหักภายในผิวเคลือบฟันขึ้น (Odegaard, and Segner, 1988; Storm , 1990)

ในปัจจุบันบริษัทผู้ผลิตแบรกกะตเซรามิก ได้พัฒนาวิธีการยึดติดของฐานแบรกกะตโดยใช้ลักษณะการยึดติดแบบพันธะเชิงกลเพิ่มมากขึ้นในลักษณะต่างๆกัน เนื่องจากการเพิ่มความหนาของวัสดุยึดบริเวณฐานแบรกกะตจะทำให้ค่ากำลังแรงยึดระหว่างแบรกกะตและฟันต่ำลง ซึ่งจะช่วยลดแรงที่ใช้ขณะถอดแบรกกะต และทำให้เกิดความล้มเหลวของการยึดติดภายในวัสดุยึดเองหรือระหว่างวัสดุยึดและฐานแบรกกะต (Ghafari, and Chen, 1990; Viazis, Covanaugh, and Bevis, 1990a; Ghafari, Skanchy, and Mante, 1992) โดยยังคงมีค่ากำลังแรงยึดระหว่างแบรกกะตและวัสดุยึดที่มากเพียงพอที่จะต้านทานต่อแรงบิดเคี้ยวและแรงที่ใช้ในทางทันตกรรมจัดฟัน แต่ไม่สูงเกินไปจนก่อให้เกิดอันตรายกับผิวเคลือบฟัน

งานวิจัยนี้มุ่งศึกษาถึงลักษณะการออกแบบฐานแบรกกะตเซรามิกชนิดที่มีลักษณะการยึดของฐานแบบพันธะเชิงกลที่ต่างกันที่มีผลต่อค่ากำลังแรงยึดแบบเนียน/ปอกของแบรกกะต ตลอดจน

ศึกษาบริเวณที่เกิดความล้มเหลวของการยึดติดภายหลังการหลุดของแบรคเกต เพื่อเป็นประโยชน์สำหรับทันตแพทย์จัดฟันในการเลือกใช้แบรคเกตเซรามิกเพื่อให้เกิดประโยชน์สูงสุดแก่ผู้ป่วยที่มา รักษาทางทันตกรรมจัดฟันต่อไป

วัตถุประสงค์ของการวิจัย

1. เพื่อศึกษาความแตกต่างของค่าเฉลี่ยกำลังแรงยึดแบบเฉือน/ปอกกับผิวเคลือบฟันของแบรคเกตเซรามิกที่มีการออกแบบฐานที่มีลักษณะการยึดติดแบบพันธะเชิงกลต่าง ๆ กันเทียบกับแบรคเกตเหล็กกล้าไร้สนิม

2. เพื่อศึกษาเปรียบเทียบบริเวณที่เกิดความล้มเหลวในการยึดติดของแบรคเกตเซรามิกที่มีการออกแบบฐานที่มีลักษณะการยึดติดแบบพันธะเชิงกลต่าง ๆ กัน

สมมติฐานการวิจัย

1. มีความแตกต่างของค่าเฉลี่ยกำลังแรงยึดแบบเฉือน/ปอกกับผิวเคลือบฟันของแบรคเกตเซรามิกที่มีการออกแบบฐานที่มีลักษณะการยึดติดแบบพันธะเชิงกลต่าง ๆ กันและต่างจากแบรคเกตเหล็กกล้าไร้สนิม

2. มีความแตกต่างของบริเวณที่เกิดความล้มเหลวในการยึดติดของแบรคเกตเซรามิกที่มีการออกแบบฐานที่มีลักษณะการยึดติดแบบพันธะเชิงกลต่าง ๆ กัน

ประโยชน์ที่ได้จากการวิจัย

1. เป็นแนวทางสำหรับทันตแพทย์ ในการพิจารณาเลือกใช้ลักษณะของฐานแบรคเกตเซรามิกในการรักษาผู้ป่วยทางทันตกรรมจัดฟันได้อย่างมีประสิทธิภาพสูงสุด

2. ทราบชนิดของฐานแบรคเกตเซรามิกที่ให้กำลังแรงยึดแบบเฉือน/ปอกเพียงพอที่จะต้านทานแรงที่ใช้ในขณะจัดฟันและแรงบดเคี้ยว เมื่อใช้กับวัสดุยึดชนิดผสม

3. ทราบบริเวณที่เกิดความล้มเหลวในการยึดติด ภายหลังจากหลุดของแบร็กเกตเซรามิกที่มีลักษณะของฐานแบร็กเกตแตกต่างกัน

4. เป็นข้อมูลพื้นฐานและแนวทางเบื้องต้นในการวิจัยที่เกี่ยวข้องต่อไป

ขอบเขตของการวิจัย

1. เป็นการศึกษาเปรียบเทียบค่าเฉลี่ยกำลังแรงยึดแบบเงื่อนไข/ปกกับผิวเคลือบฟันของแบร็กเกตเซรามิกของฟันกรามน้อยที่มีลักษณะของการยึดติดของฐานแบร็กเกตแบบพื้นระเชิงกลแตกต่างกัน 3 ชนิด ได้แก่

1.1 แบร็กเกตเซรามิกของฟันกรามน้อยแบบมาตรฐานของบริษัท 3M Unitek ซึ่งเป็นแบร็กเกตเซรามิกชนิด โพลีคริสตอลลีนอะลูมินา (polycrystalline alumina) ที่มีชื่อทางการค้าว่า Transcend series 6000 ซึ่งมีลักษณะของฐานแบร็กเกตเป็นอนุภาคคล้ายคริสตอลเชื่อมที่ฐาน

1.2 แบร็กเกตเซรามิกของฟันกรามน้อยแบบมาตรฐานของบริษัท Tomy ซึ่งเป็นแบร็กเกตเซรามิกชนิด โพลีคริสตอลลีนอะลูมินาที่มีชื่อทางการค้าว่า Crystalline ซึ่งมีลักษณะของฐานแบร็กเกตเป็นหลุมขนาดเล็ก

1.3 แบร็กเกตเซรามิกของฟันกรามน้อยแบบมาตรฐานของบริษัท American Orthodontics ซึ่งเป็นแบร็กเกตเซรามิกชนิด โพลีคริสตอลลีนอะลูมินา ที่มีชื่อทางการค้าว่า 20/40m ซึ่งมีลักษณะของฐานแบร็กเกตเป็นร่อง

2. กลุ่มควบคุม

แบร็กเกตเหล็กกล้าไร้สนิมของฟันกรามน้อยแบบมาตรฐานของบริษัท 3M Unitek ที่มีชื่อทางการค้าว่า Dyna-lock ซึ่งมีลักษณะการยึดติดของฐานแบร็กเกตแบบพื้นระเชิงกลที่มีลักษณะของฐานเป็นร่องในแนวนอนร่วมกับร่องรูปตัววี(Integral) ซึ่งเป็นแบร็กเกตเหล็กกล้าไร้สนิมที่ใช้ในภาควิชาทันตกรรมจัดฟัน คณะทันตแพทยศาสตร์ จุฬาลงกรณ์มหาวิทยาลัย

3. เป็นการศึกษาเปรียบเทียบบริเวณที่เกิดความล้มเหลวในการยึดติดของแบร็กเกตเซรามิกของฟันกรามน้อย

4. ฟันที่ใช้ติดแบรคเกตเพื่อทดสอบกำลังแรงยึดแบบเงื่อน/ปอก เป็นฟันกรามน้อยของผู้ป่วยอายุระหว่าง 10 -25 ปี ซึ่งถูกถอนออกเพื่อการจัดฟันและฟันซี่ดังกล่าวจะต้องมีผิวเคลือบฟันด้านใกล้แก้มปราศจากรอยโรคใดๆเมื่อมองด้วยตาเปล่า และไม่เคยได้รับการกัดฟันมาก่อนจำนวน 120 ซี่

5. วัสดุยึดที่ใช้ในการวิจัยคือ คอมโพสิทเรซินชนิดผสมที่บ่มด้วยปฏิกิริยาเคมี ที่มีชื่อทางการค้าว่า Concise (3M Corporation) เนื่องจากเป็นวัสดุยึดที่เหมาะสมสำหรับใช้ยึดแบรคเกตเซรามิกที่ลักษณะการยึดเป็นแบบพันธะเชิงกล (Willems, Carels, and Verbeke, 1997) และเป็นวัสดุยึดที่ใช้ในภาควิชาทันตกรรมจัดฟัน คณะทันตแพทยศาสตร์ จุฬาลงกรณ์มหาวิทยาลัย

ข้อตกลงเบื้องต้น

1. แบรคเกตทุกตัวที่ใช้ในการทดลองครั้งนี้ได้รับการออกแบบมาเฉพาะเพื่อใช้สำหรับฟันกรามน้อยและเป็นชนิดที่มีลักษณะของร่องแบรคเกตเป็นแบบมาตรฐาน (standard edgewise) โดยมีความหนาและขนาดของแบรคเกตแตกต่างกันไปตามแบบของบริษัทผู้ผลิต แบรคเกตแต่ละตัวในรุ่นเดียวกันของบริษัทหนึ่งๆจะมีคุณสมบัติเหมือนกันทุกประการ

2. ฟันซี่เดียวกันข้างซ้ายและข้างขวาของคนเดียวกัน จะมีขนาดและองค์ประกอบของผิวเคลือบฟันเหมือนกัน

3. ค่ากำลังแรงยึดแบบเงื่อน/ปอก มีหน่วยเป็นเมกะปาสคาล (megapascal:MPa) (Bishara, Olsen, and Wald, 1997; Wang et al. ,1997) ศึกษาโดยเครื่องทดสอบแรงทั่วไป (Universal testing machines) ซึ่งอ่านค่าเป็นกราฟได้ละเอียดถึง 0.1 กิโลกรัมเมื่อทำการทดสอบด้วยแรงดึงที่ความเร็ว 0.5 มิลลิเมตร/นาที

4. การศึกษาบริเวณที่มีความล้มเหลวในการยึดภายหลังการหลุดของแบรคเกตเซรามิกของฟันกรามน้อยจะแบ่งเป็น 5 บริเวณ ตามการศึกษาของ Alexander, Viazis และ Nakajima (1993) และ Jou และคณะ (1995) ดังนี้

4.1 บริเวณภายในผิวเคลือบฟัน

4.2 บริเวณระหว่างผิวเคลือบฟันและวัสดุยึด (ร้อยละ 0 - 25 ของวัสดุยึดจะพบหลงเหลืออยู่บนตัวฟัน)

4.3 บริเวณภายในวัสดุยึด (ร้อยละ 25 -75 ของวัสดุยึดจะพบหลงเหลืออยู่บนตัวฟัน)

4.4 บริเวณระหว่างแบริกเกตและวัสดุยึด (ร้อยละ 75 -100 ของวัสดุยึดจะพบหลงเหลืออยู่บนตัวพื้น)

4.5 บริเวณภายในแบริกเกต

5. กรรมวิธีการติดแบริกเกตด้วยวิธีไดเรกบอนด์ ถือเป็นมาตรฐานเดียวกันเนื่องจากกระทำโดยบุคคลเดียวกัน และใช้เครื่องมือสำหรับติดแบริกเกตให้แนบกับผิวพื้นด้วยแรงกดประมาณ 2 ออนซ์ (Pornchai Charuscharoenwittaya, 1993)

ความไม่สมบูรณ์ของการวิจัย

1. องค์ประกอบอื่นที่มีผลต่อการยึดของแบริกเกตกับพื้น เช่น แรงบิดเคี้ยว ,ลักษณะการสับพื้น ไม่สามารถศึกษาได้ในสภาพการทดลองในห้องปฏิบัติการ
2. ผลการวิจัยไม่สามารถอ้างอิงไปถึงแบริกเกตเซรามิกซึ่งมีลักษณะแตกต่างไปจากแบริกเกตที่ทำการทดลอง
3. ผลการวิจัยไม่สามารถอ้างอิงไปถึงแบริกเกตเซรามิกที่มีลักษณะของฐานแบริกเกตแตกต่างออกไปจากแบริกเกตที่ทำการทดลอง
4. ผลการวิจัยไม่สามารถอ้างอิงไปถึงแบริกเกตเซรามิกที่ใช้ในการทดลองกับวัสดุยึดชนิดอื่นที่ไม่ใช่ Concise

สถาบันวิทยบริการ
จุฬาลงกรณ์มหาวิทยาลัย

คำจำกัดความ

1. ความเค้น (Stress) หมายถึง แรงต้านที่เกิดขึ้นภายในของวัสดุใดวัสดุหนึ่ง เมื่อมีน้ำหนัก แรงดึง, แรงอัด หรือแรงอื่น ๆ มากระทำกับวัสดุนั้น ค่าของความเค้นวัดได้จากแรงหรือน้ำหนักที่กระทำต่อหน่วยพื้นที่ที่วัสดุนั้นถูกกระทำ มีหน่วยเป็นแรงต่อหน่วยพื้นที่คือ ปอนด์/ตารางนิ้ว, กิโลกรัม/ตารางเซนติเมตร หรือ เมกะนิวตัน/ตารางเมตร (MPa)

2. แรงเฉือน/ปอก (Shear/Peel force) หมายถึง แรงที่กระทำกับแบรคเกตที่ยึดอยู่กับผิวเคลือบฟันในทิศทางที่ขนานกับฐานของแบรคเกตในแนวตั้งแต่ไม่ผ่านฐานแบรคเกต เช่น กระทำกับปีกของแบรคเกต ทำให้แรงปฏิกิริยาในวัสดุที่ยึดแบรคเกตกับผิวฟันในลักษณะของแรงเฉือน (Shear force) ร่วมกับแรงกด (Compressive force) และแรงดึง (Tensile force) ในลักษณะของแรงคู่ควบ (Moment force)

3. กำลังแรง (Strength) หมายถึง ความเค้นที่สูงที่สุดของวัสดุที่สามารถต้านทานได้ เมื่อมีแรงมากระทำต่อวัสดุ หน่วยของค่ากำลังแรงใช้หน่วยเดียวกับความเค้น

4. กำลังแรงเฉือน/ปอก (Shear/Peel strength) หมายถึง ความเค้นสูงสุดที่วัสดุสามารถต้านทานได้เมื่อมีแรงเฉือน/ปอกมากระทำ

บทที่ 2

วรรณคดีที่เกี่ยวข้อง

เซรามิกกับงานทันตกรรมจัดฟัน

การนำเซรามิกมาใช้ในงานทันตกรรมจัดฟันเป็นเพียงส่วนหนึ่งของการขยายตัวอย่างรวดเร็วของการใช้เซรามิกในอุตสาหกรรมต่าง ๆ เซรามิกเป็นวัสดุที่เกิดจากการผสมวัสดุอื่นเข้าด้วยกัน ได้แก่ หินมีค่า, แก้ว, ดินเหนียว, เมทัลลิกออกไซด์ (metallic oxide) และเซรามิกคอมพาวนด์ (ceramic compound) เซรามิกที่นำมาใช้ทำแบรacketในงานทันตกรรมจัดฟัน คือ อะลูมินา (Alumina) ซึ่งแบ่งออกได้เป็น 2 ชนิด คือ โมโนคริสตัลไลน์อะลูมินา (monocrystalline alumina) และ โพลีคริสตัลไลน์อะลูมินา โดยคริสตัลไลน์เซรามิกเหล่านี้อาจยึดกันด้วยพันธะไอออนิก (ionic bond) หรือพันธะโควาเลนต์ (covalent bond)

ลักษณะของแบรacketเซรามิกที่ผลิตมาจำหน่าย จะทำให้มีลักษณะต่างกันไปตามแต่บริษัทผู้ผลิต แต่จะมีรูปแบบเป็นเอดจ์ไวส์แบรacket (Edgewise bracket) ได้แก่ แบบทรู - สยามมิส (True-Siamese), เซมิสยามมิส (Semi-Siamese) หรือแบบลูว์อิส/แลนด์ (Lewis-Land design) ดังตารางที่ 1

สถาบันวิทยบริการ
จุฬาลงกรณ์มหาวิทยาลัย

ตารางที่ 1 แสดงตัวอย่างผลิตภัณฑ์ต่างๆ ของแบรคเกตเซรามิก (Karamouzou, Athanasiou, and Papadopoulos, 1997)

<i>Company</i>	<i>Commercial name</i>	<i>Crystal structure</i>	<i>Slot size</i>	<i>Slot prescription</i>	<i>Type of wings</i>	<i>Special bonding agents</i>	<i>Special debonding devices</i>
"A" Company Orthodontics	Starfire TMB	monocrystalline sapphire	0.018, 0.022	Roth, Andrews	full twin	none	electrothermal, sharp-tipped plier
American Orthodontics	20/20M	polycrystalline	0.018, 0.022	straightwire	twin/single	none	none
	20/40M	polycrystalline	0.018, 0.022	Roth, standard edgewise	twin/"Tri"	none	none
Dentaurum	Fascination	polycrystalline (injection molded)	0.018, 0.022	Roth, standard edgewise	twin	none	none (Weingart plier or Dentaurum ceramic debonding unit recommended)
GAC International	Allure	polycrystalline	0.018, 0.022	Roth, standard edgewise, Micro Progressive	twin	none (natural light cured adhesives are recommended)	none
Lancer Orthodontics	Intrigue	polycrystalline	0.018, 0.022	Roth, standard edgewise	twin/single	none	none
Masel	Eclipse	polycrystalline	0.018, 0.022	Roth	twin/single	none	Masel plier no. 4150-660
Ormco Corporation	Lumina	polycrystalline	0.018, 0.022	Roth	pseudo twin	none	none
Rocky Mountain Orthodontics	Signature Ceramic Collection	polycrystalline	0.018, 0.022	Roth, standard edgewise, Bench Bioprogressive	twin/single, single	none	none
TP Orthodontics	CeramaFlex Advant-Edge	polycrystalline	0.022	Roth	twin	none (except of use of plastic conditioner on the base)	none
3M Unitek Corporation	Transcend Series 6000	polycrystalline	0.018, 0.022	Roth, standard edgewise, High Torque	twin/single	none	3M Unitek debonding instrument no. 444-770

สถาบันวิทยบริการ
จุฬาลงกรณ์มหาวิทยาลัย

แบรกกเกตเซรามิกชนิดโมโนคริสตอลลีนอะลูมินา

กระบวนการผลิตแบรกกเกตเซรามิก ชนิดโมโนคริสตอลลีนอะลูมินา เกิดจากการหลอมละลายก้อนอะลูมิเนียมออกไซด์ที่อุณหภูมิสูงกว่า 2,100 องศาเซลเซียส และทำให้เย็นลงอย่างช้าๆ เพื่อให้เกิดการตกผลึกที่สมบูรณ์ โดยควบคุมกระบวนการตกผลึกอย่างระมัดระวัง ผลึกที่ได้จะมีความบริสุทธิ์สูงกว่าผลึกที่เกิดตามธรรมชาติ จากนั้นจึงนำผลึกไปทำการตัดแต่งให้มีรูปร่างและขนาดตามที่กำหนดด้วยกระบวนการเช่นเดียวกันกับการเจียรไนเพชร หรือการตัดด้วยคลื่นเสียงความถี่สูง (Ultrasonic cutting technique) หรือใช้ทั้ง 2 วิธีร่วมกัน จากนั้นจึงนำผลิตผลที่ได้ไปผ่านกระบวนการเผาอีกครั้งเพื่อกำจัดความไม่สมบูรณ์ และลดความเค้นที่เกิดจากกระบวนการตัดแต่ง

ข้อดีของแบรกกเกตชนิดโมโนคริสตอลลีนอะลูมินา คือ มีความต้านทานต่อการแตกหัก (fracture strength) สูงกว่าแบรกกเกตเซรามิกชนิดโพลีคริสตอลลีนอะลูมินา เนื่องจากกระบวนการผลิตสามารถกำจัดสิ่งปนเปื้อนที่ผิวแบรกกเกตและความเค้นจากการตัดแต่งแบรกกเกต นอกจากนี้ยังมีความใสมากกว่าโพลีคริสตอลลีนอะลูมินาด้วย (รูปที่ 2) แต่ข้อเสียคือ ความยากในกระบวนการผลิตและเสียค่าใช้จ่ายสูง ในปัจจุบันจึงมีการผลิตโพลีคริสตอลลีนอะลูมินาขึ้นมาแทน ในจำนวนที่หาได้ง่ายกว่า

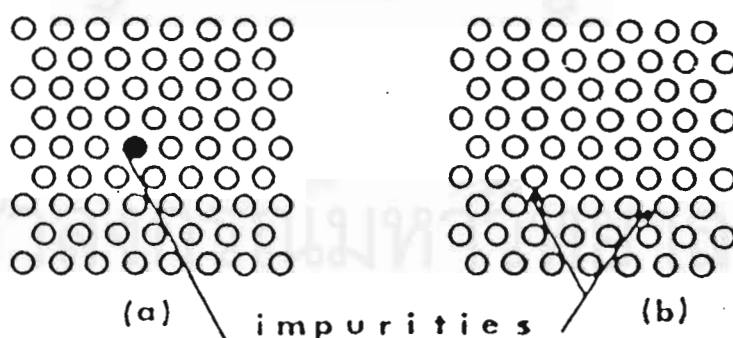
แบรกกเกตเซรามิกชนิดโพลีคริสตอลลีนอะลูมินา (PCA)

แบรกกเกตชนิดนี้ประกอบด้วย อะลูมิเนียมออกไซด์ (aluminium oxide) ร้อยละ 99.9 ยึดกันด้วยบายเดอร์ (binder) เพื่อให้สามารถหลอมให้เป็นแบรกกเกตที่มีรูปร่างตามต้องการ และเมื่อส่วนผสมถูกเผาที่อุณหภูมิสูงกว่า 1,800 องศาเซลเซียส บายเดอร์จะถูกกำจัดออกไป เหลืออนุภาคของอะลูมิเนียมออกไซด์ที่หลอมรวมกัน รูปร่างลักษณะโดยละเอียดของแบรกกเกตจะถูกตัดแต่งอีกครั้งด้วยเครื่องเจียรไนเพชร จากนั้นจึงนำแบรกกเกตกลับไปเผาอีกครั้ง เพื่อกำจัดส่วนที่ไม่สมบูรณ์ของผิวหรือรอยตำหนิ และเป็นการลดความเค้นที่เกิดจากกระบวนการตัดแต่ง การให้ความร้อนควร

ระมัดระวังไม่ให้สูงเกินไปเพราะจะทำให้เม็ด (grain) ของคริสตอลลีนเซรามิกหลอมรวมกันใหม่ ทำให้เสียคุณสมบัติทางกายภาพได้

คุณสมบัติที่ยอมให้แสงผ่านของโพลีคริสตอลลีนอะลูมินาเป็นสัดส่วนผกผันกับความแข็งแรง เซรามิกที่มีเม็ดอนุภาคขนาดใหญ่ขึ้นจะมีความใสหรือโปร่งแสงมากขึ้น แต่วัสดุนั้นจะมีความแข็งแรงลดลง โดยเฉพาะเมื่อขนาดของอนุภาคใหญ่กว่า 30 ไมโครเมตร แปรกเขตเซรามิกชนิดโพลีคริสตอลลีนอะลูมินา เกิดจากอนุภาคอะลูมิเนียมออกไซด์ขนาด 0.3 ไมโครเมตรหลอมรวมกันเป็นเซรามิกที่มีขนาดอนุภาค 20-30 ไมโครเมตร

ข้อดีของแปรกเขตเซรามิกชนิดโพลีคริสตอลลีนอะลูมินา คือ สามารถผลิตแปรกเขตได้ในปริมาณมากทำให้ลดต้นทุนในการผลิต กระบวนการผลิตง่ายกว่า และราคาไม่แพงแต่มีข้อเสียคือ กระบวนการขึ้นรูปจะทำให้เกิดการปนเปื้อนในโครงสร้าง หรือมีความไม่สมบูรณ์ของโครงสร้าง (รูปที่ 1) การมีสารปนเปื้อนในปริมาณร้อยละ 0.001 หรือความไม่สมบูรณ์เพียงเล็กน้อย สามารถทำให้เกิดการรวมตัวของความเค้นในปริมาณดังกล่าวสูงกว่าปกติ ทำให้ความสามารถในการต้านต่อแรงซึ่งทำให้วัสดุแตกลดลงด้วย นั่นคือแปรกเขตจะแตกหักเมื่อได้รับแรงเพียงเล็กน้อย กระบวนการขึ้นรูปและการเผาด้วยความร้อนทำให้มีการรวมตัวของอนุภาคอะลูมิเนียมออกไซด์ที่สะท้อนแสงได้บางส่วน ทำให้แปรกเขตชนิดนี้มีลักษณะขุ่นมากกว่าโมโนคริสตอลลีนอะลูมินา



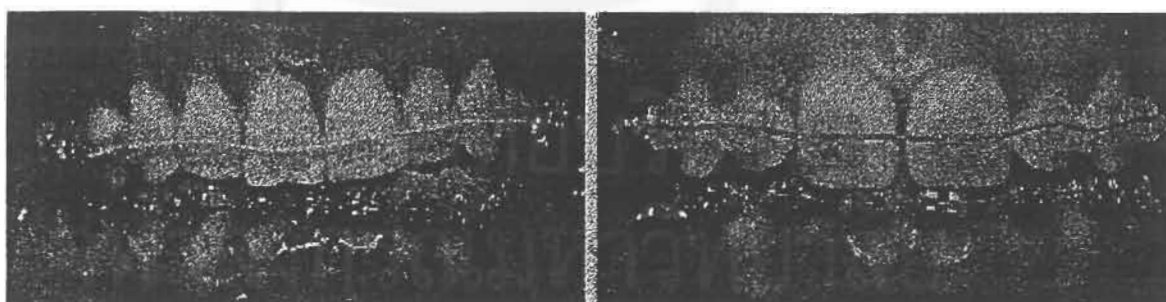
รูปที่ 1 ภาพ 2 มิติ แสดงการปนเปื้อนในผลึกของสาร (a) เป็นการปนเปื้อนที่แทรกแทนที่อนุภาคของผลึก (b) การปนเปื้อนที่แทรกอยู่ระหว่างอนุภาคของผลึก

ตารางที่ 2 เปรียบเทียบคุณสมบัติทางกายภาพของเซรามิกชนิด MCA และ PCA (Swartz, 1988)

Property	Single Crystal* Al ₂ O ₃	99.9 Al ₂ O ₃ Sintered
Modulus of Elasticity (Ksi)	63	57
Flexure Strength (Ksi)	92	41
Compressive Strength (Ksi)	300-600	350
Tensile Strength (Ksi)	260-375**	30-45
Color	Clear	Translucent, white to opaque, white/ivory
Structure	Single crystall with axial plane	Polycrystalline grains, anisotropic

* Axis dependent. ** Sapphire Filament

รูปที่ 2 เปรียบเทียบลักษณะความใสของแบรกกเกตเซรามิกชนิด PCA และ MCA (Swartz, 1988)



A : GAC's Allure (PCA)

B : Ormco's Gem (MCA)

คุณสมบัติของแบร็กเกตเซรามิกเปรียบเทียบกับแบร็กเกตเหล็กกล้าไร้สนิม

1. คุณสมบัติด้านความสวยงาม (Optical properties)

แบร็กเกตเซรามิกมีคุณสมบัติที่โปร่งแสง และสะท้อนแสงได้ดีเช่นเดียวกับฟัน โดยเฉพาะชนิดโมโนคริสตัลไลน์อะลูมินา และยังสามารถผลิตให้สีเหมือนกับเป็นธรรมชาติได้ ซึ่งต่างจากแบร็กเกตเหล็กกล้าไร้สนิม ซึ่งมีคุณสมบัติทึบแสง จึงทำให้มองเห็นแบร็กเกตได้โดยง่ายไม่สวยงาม แม้จะมีขนาดเล็ก คุณสมบัติดังกล่าวจึงทำให้แบร็กเกตเซรามิกได้รับความนิยมเพิ่มขึ้น โดยเฉพาะในผู้ป่วยเพศหญิง หรือผู้ใหญ่วัยทำงาน ซึ่งไม่ต้องการให้เห็นแบร็กเกตอย่างเด่นชัด

2. คุณสมบัติทางเคมี (Chemical properties)

เซรามิกมีคุณสมบัติต้านทานต่อการกัดกร่อนจากสารเคมี สารละลายที่จะสามารถละลายเซรามิกได้จะต้องเป็นสารละลายกรดไฮโดรฟลูออริกเข้มข้น (Hydrofluoric acid) นอกจากนี้เซรามิกยังต้านทานต่อการติดสีจากสารอาหารที่รับประทาน ทำให้ไม่มีการเปลี่ยนสีหรือดุดกกลิ่นอันไม่พึงประสงค์ไว้ในวัสดุ แต่โลหะผสมสามารถเกิดปฏิกิริยาทางเคมี ทำให้เกิดการหมองและถูกกัดกร่อน (tarnish & corrosion) จากสารเคมีหรืออาหารในช่องปากได้

3. คุณสมบัติการนำความร้อน (Thermal properties)

เซรามิกนำความร้อนได้น้อยเนื่องจากไม่มีอิเล็กตรอนอิสระ และทนต่อความร้อนสูง เพราะกระบวนการผลิตผ่านความร้อนสูงมาแล้ว เซรามิกมีสัมประสิทธิ์การขยายตัวเนื่องจาก ความร้อนต่ำ จึงทำให้ทนต่ออุณหภูมิสูงได้ และทนต่อการเปลี่ยนแปลงอุณหภูมิจากอาหาร ต่างๆ ที่รับประทานได้ดี

4. คุณสมบัติไม่ทึบแสง (Radiolucence)

แบร็กเกตเซรามิกมีคุณสมบัติที่แข็งแต่เปราะ เมื่อทำการถอดแบร็กเกต (debond) อาจทำให้มีบางส่วนของแบร็กเกตแตกหัก และตกลงสู่ลำคอของผู้ป่วยได้ ซึ่งจากคุณสมบัติโปร่งแสงของเซรามิก ทำให้ไม่สามารถมองเห็นได้จากการเอกซเรย์ จึงอาจทำอันตรายต่อผู้ป่วยได้ ดังนั้นจึงควร

ให้ความระมัดระวังอย่างสูงขณะทำการถอดแบร็กเกตเซรามิกออกจากฟัน แบร็กเกตเหล็กกล้าไร้สนิมมีคุณสมบัติที่บดแสง จึงทำให้สามารถมองเห็นได้ง่ายเมื่อทำการเอกซเรย์ ในกรณีที่แบร็กเกตหลุดลงลำคอของผู้ป่วย

5. คุณสมบัติเชิงกล (Mechanical properties)

คุณสมบัติเชิงกลของเซรามิก ขึ้นกับคุณสมบัติทางกายภาพของวัสดุได้แก่

5.1 ความแข็ง (Hardness)

5.2 ความอ่อนตัวสามารถโค้งเปลี่ยนรูป (Ductility)

5.3 ความแข็งแรงดึง (Tensile strength)

5.4 ความแข็งแรงอัด (Compressive strength)

5.5 ความเหนียวต้านทานต่อการแตกหัก (Fracture toughness)

ความแข็งและความอ่อนตัวสามารถโค้งเปลี่ยนรูป

เซรามิกที่นำมาใช้ในงานทันตกรรมจัดฟันมีความแข็งของวัสดุมากกว่าโลหะมาก (รูปที่3) เนื่องจากมีทิศทางของแรงยึดระหว่างอะตอมค่อนข้างเฉพาะ (รูปที่4) ซึ่งลักษณะของโครงสร้างอะตอมที่มีออกไซด์ (oxidized atomic lattice) ประกอบอยู่จะไม่ยอมให้มีการเลื่อนไถลของพันธะระหว่างอะตอม และไม่เกิดการกระจายตัวใหม่เมื่อได้รับความเค้น ดังนั้นเมื่อความเค้นสูงขึ้นจนถึงจุดวิกฤต (critical level) แรงยึดระหว่างอะตอมจะแตกออกและทำให้เกิดความล้มเหลวของวัสดุเนื่องจากการแตกหัก เรียกว่า ความล้มเหลวจากความเปราะ (Brittle failure) (Swartz, 1988) แต่โลหะจะสามารถเปลี่ยนรูปได้เมื่อได้รับแรงกระทำ เนื่องจากโครงสร้างอะตอมปราศจากออกไซด์ ดังนั้นเมื่อโลหะได้รับความเค้นจะทำให้มีการเลื่อนไถลของอนุภาค (grain boundaries) ทำให้เกิดการกระจายตัวใหม่ของความเค้นและความเค้นที่ได้รับลดลง ดังนั้นโลหะจึงถูกเปลี่ยนรูปไปโดยไม่มี การแตกหักของวัสดุ ซึ่งการเปลี่ยนรูปนั้นอาจกลับคืนสู่สภาพเดิมได้ (elastic deformation) หรือไม่สามารถกลับสู่สภาพเดิม (plastic deformation) ขึ้นกับว่าแรงที่กระทำนั้นเกินกว่าระดับของการคืนกลับของโลหะหรือไม่

ความแข็งแรงดึงและความแข็งแรงอัด

เป็นความสามารถของวัสดุในการต้านทานต่อความเค้นสูงสุดที่เกิดจากการดึง หรือการอัด กระแทกโดยปราศจากการแตกหัก จากการทดสอบคุณสมบัติในการต้านทานต่อแรงดึงของ แบริกเกตเซรามิกเปรียบเทียบกับแบริกเกตเหล็กกล้าไร้สนิม พบว่าแบริกเกตเซรามิกมีค่าความแข็งแรงดึงสูงกว่าแบริกเกตเหล็กกล้าไร้สนิมอย่างมีนัยสำคัญ (รูปที่5) (Scott 1987, 1988; Swartz, 1988) โดยชนิด MCA มีค่ามากกว่า PCA ความแข็งแรงดึงของเซรามิกนั้นไม่เพียงแต่เกี่ยวข้องกับ ปริมาณเนื้อวัสดุ (bulk property) เท่านั้นแต่ยังเกี่ยวข้องกับสภาพผิว (surface condition) ของ เซรามิกด้วย การเกิดรอยขีดข่วนหรือรอยครูดเพียงตื้นๆเล็กน้อยบนผิวของเซรามิกจะมีผลทำให้ ระดับความต้านทานต่อความเค้นของเซรามิกลดลง เพราะบริเวณเหล่านี้จะมีการรวมตัวของความ เค้นสูงทำให้วัสดุแตกหักง่าย (Scott, 1988)

ความเหนียวซึ่งต้านทานต่อการแตกหัก

แบริกเกตเซรามิก ชนิด MCA และ PCA มีค่าความเหนียวซึ่งต้านทานต่อการแตกหักน้อยกว่า แบริกเกตเหล็กกล้าไร้สนิม 20-40 เท่า และเมื่อเปรียบเทียบแบริกเกตเซรามิกทั้ง 2 ชนิดแล้ว พบ ว่า แบริกเกตชนิด PCA จะมีค่าความเหนียวซึ่งต้านทานต่อการแตกหักสูงกว่า MCA แบริกเกต เซรามิกมีแนวโน้มที่จะแตกหักได้ง่าย เนื่องจากมีสารปนเปื้อนหรือมีความไม่บริสุทธิ์ของวัสดุ แบริกเกตเซรามิกชนิด MCA ซึ่งมีความแข็งแรงสูงจะสามารถแตกได้ง่ายเมื่อได้รับรอยครูดหรือสาร ปนเปื้อน เนื่องจากจะมีการสะสมของความเค้นที่ตำแหน่งนั้น (Kusy, 1988; Scott, 1988; Swartz, 1988) ทำให้ค่าความแข็งแรงดึงลดลงอย่างมากจึงแตกหักได้ง่ายเมื่อได้รับแรงกระทำแต่แบริกเกต เซรามิกชนิด PCA ซึ่งบนผิวแบริกเกตมักมีรอยครูดและขรุขระ เมื่อได้รับรอยครูดซึ่งมีขนาดเล็กจึงทำ ให้ค่าความแข็งแรงดึงไม่เปลี่ยนแปลงแสดงว่าแบริกเกตเซรามิกชนิด PCA สามารถต้านทานต่อการ แตกหักได้ดีกว่าแบริกเกตเซรามิกชนิด MCA โครงสร้างของเซรามิกนั้นจะทนต่อการได้รับความเค้น ได้ต่ำ จึงทำให้มีความเปราะโดยเฉพาะในบริเวณที่มีมุมที่แหลม จะมีการสะสมของความเค้นมาก

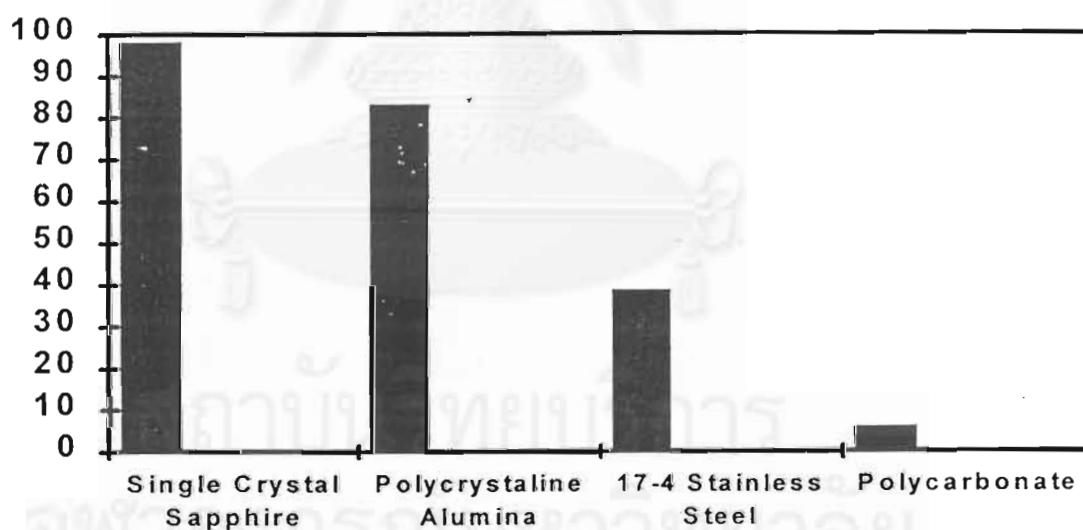
เซรามิกจะแตกหักได้ง่าย ส่วนโลหะเหล็กกล้าไร้สนิมนั้นสามารถทำให้เกิดมุมที่แหลมได้โดยไม่แตกหัก จากคุณสมบัติข้อนี้ของแบร็กเกตเซรามิก จึงได้มีการวิเคราะห์ทางไฟไนต์อีลิเมนต์ (finite element) และการประยุกต์ทางวิศวกรรม เพื่อที่จะวิเคราะห์ระดับของความเค้นและการกระจายเพื่อใช้ในการออกแบบแบร็กเกตเซรามิกพบว่า การทำให้เกิดมุมที่กลมมนจะลดการแตกหักเนื่องจากความเปราะที่เกิดจากการได้รับแรงที่ต่ำกว่าความแข็งแรงสูงสุดของวัสดุ (รูปที่ 6) การผลิตแบร็กเกตเซรามิกโดยลดขนาดของอนุภาคอะลูมินาเพื่อลดขนาดและจำนวนของอนุภาค (grain fragment) ทำให้แบร็กเกตมีลักษณะผิวที่เรียบมัน เพื่อลดความขรุขระของผิว, ลดขนาดของความไม่สมบูรณ์และลดสัมประสิทธิ์ความเสียดทาน (coefficient of friction) หรือการใช้ความร้อน, สารเคมีกระทำกับผิวของแบร็กเกต เพื่อเพิ่มความแข็งแรงดึง อาจช่วยทำให้ความเหนียวซึ่งต้านทานต่อการแตกหักของแบร็กเกตเซรามิกเพิ่มสูงขึ้นได้ แต่อย่างไรก็ตามในกรณีที่ต้องการความเหนียวที่ต้านทานต่อการแตกหักสูงควรใช้แบร็กเกตเหล็กกล้าไร้สนิมแทนเนื่องจากในปัจจุบันยังไม่สามารถผลิตแบร็กเกตเซรามิกที่มีคุณสมบัติดังกล่าวที่มีค่าสูงได้ (Kusy, 1988)

ตารางที่ 3 เปรียบเทียบคุณสมบัติทางกายภาพของเซรามิก 2 ชนิด และเหล็กกล้าไร้สนิม

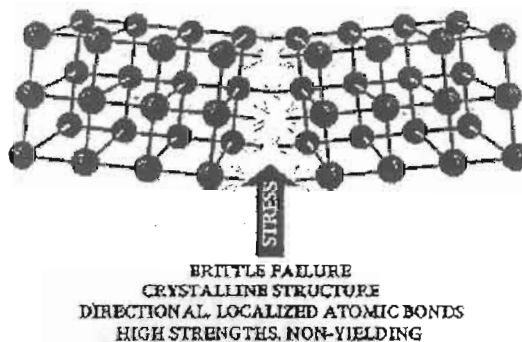
(Birnie, and Edin, 1990)

คุณสมบัติ	MCA	PCA	Stainless steel
Hardness (Rockwell)	97.5	82.5	5.35
Tensile strength ($\text{psix}10^3$)	260	55	30-40
Fracture toughness MPaM	2-4.5	3-5	80-95

(Rockwell Hardness)

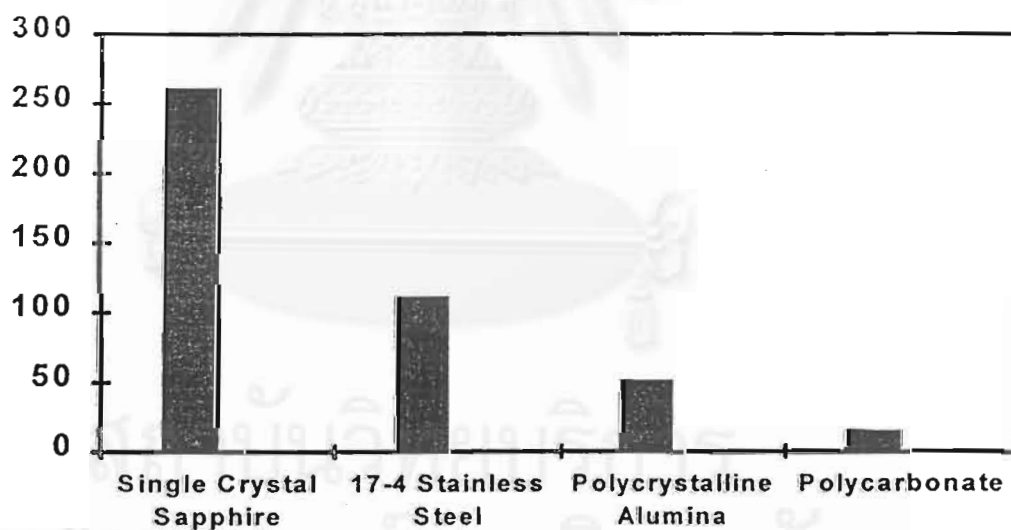


รูปที่ 3 เปรียบเทียบความแข็งผิวรอกเวลล์ของวัสดุ 4 ชนิด (Swartz, 1988)

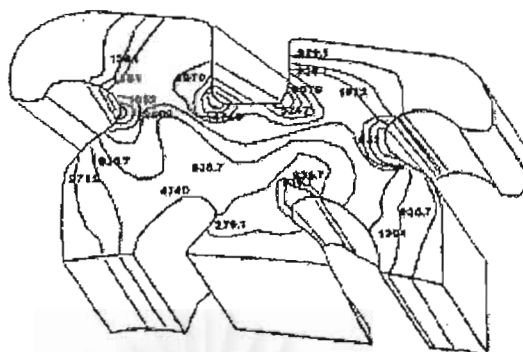


รูปที่ 4 แสดงโครงสร้างของอะตอมในผลึกเซรามิกซึ่งไม่สามารถโค้งตัวตามความเค้นที่กระทำ จึงเกิดการหักของพันธะระหว่างอะตอม (Swartz, 1988)

(PSI*10³)



รูปที่ 5 เปรียบเทียบความแข็งแรงดึงของวัสดุ 4 ชนิด (Swartz, 1988)



รูปที่ 6 แสดงการออกแบบแบร็กเกตโดยการวิเคราะห์ด้วยไฟไนท์อีลีเมนต์ เพื่อลดความเค้นที่กระทำต่อแบร็กเกต (Swartz, 1988)

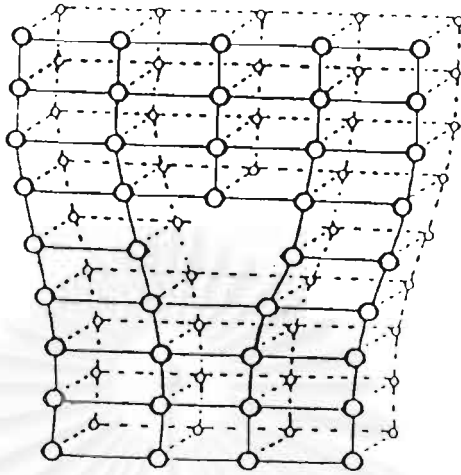
ปัจจัยที่ก่อให้เกิดความเค้นในวัสดุ

1. การผิดรูปของผลึกเซรามิก (Dislocation in a crystal) (รูปที่ 7)
2. รอยขีดข่วนหรือการหลุดลอกของผิววัสดุ
3. การมีรูพรุนของเนื้อวัสดุ ทำให้มีการไหลตัวของอนุภาคข้างเคียง (รูปที่ 8)
4. การมีสิ่งปนเปื้อนซึ่งทำให้วัสดุไม่บริสุทธิ์ ความเค้นจึงรวมตัวที่บริเวณดังกล่าวสูง (รูปที่ 1)
5. การทำให้วัสดุเย็นตัวลงจากอุณหภูมิที่ทำการเผาอย่างรวดเร็วจนเกิดความแตกต่างของสัมประสิทธิ์การขยายตัวจากความร้อนระหว่างในวัสดุและผิวด้านนอก จึงทำให้วัสดุแตกร้าวได้

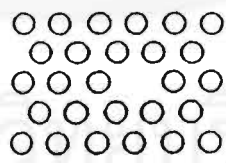
เนื่องจากผู้ป่วยส่วนใหญ่ที่เข้ารับการรักษาทางทันตกรรมจัดฟัน นอกจากจะต้องการแก้ไขการสบฟันที่ผิดปกติแล้ว ยังต้องการความสวยงามทั้งขณะรับการรักษาและภายหลังการรักษา โดยเฉพาะผู้ป่วยในวัยทำงาน หรือผู้ป่วยเพศหญิง ดังนั้นเพื่อสนองความต้องการของผู้ป่วย จึงได้มีการพัฒนาเซรามิกมาใช้ในทางทันตกรรมจัดฟัน โดยผลิตในรูปแบบของแบร็กเกตที่ใช้ติดบนตัวฟันโดยตรงร่วมกับการใช้ครดกัทและวัสดุยึด แต่เนื่องจากคุณสมบัติทางกายภาพของเซรามิกที่ได้กล่าวมา

ข้างต้น ทำให้เซรามิกมีความแข็งแรงแต่เปราะและมีความสามารถในการต้านทานต่อการแตกหักต่ำ จึงก่อให้เกิดปัญหาการแตกหักของแบร็กเกตขณะใช้งาน นอกจากนี้ค่ากำลังแรงยึดที่สูงมากของแบร็กเกตเซรามิกบางชนิดได้ทำให้เกิดการทำลายของผิวเคลือบฟันขณะถอดแบร็กเกต (Joseph, and Rossouw, 1990) บริษัทผู้ผลิตจึงพัฒนาการออกแบบแบร็กเกตเซรามิกมากมาย เพื่อขจัดปัญหาดังกล่าว ทำให้มีการศึกษาวิจัยจำนวนมากเกี่ยวกับค่าเฉลี่ยกำลังแรงยึดระหว่างผิวเคลือบฟัน, วัสดุยึด และฐานแบร็กเกตชนิดต่าง ๆ

ปัจจัยที่มีผลต่อการยึดติดของแบร็กเกตกับตัวฟันมีมากมายหลายประการ ซึ่งอาจจำแนกได้เป็นปัจจัยทางด้านเทคนิคและปัจจัยทางด้านคุณสมบัติของส่วนที่เกี่ยวกับการยึดติดโดยตรง ได้แก่ ผิวเคลือบฟัน, วัสดุยึด และแบร็กเกต ปัจจัยนี้ไม่สามารถควบคุมได้ในการปฏิบัติงานแต่สามารถควบคุมโดยการเลือกวัสดุที่จะนำมาใช้งานและวิธีการต่างๆที่ได้มีผู้ศึกษามาแล้ว ปัจจัยทางด้านเทคนิคนั้นสามารถควบคุมได้โดยทันตแพทย์ขณะปฏิบัติงานทางคลินิก ได้แก่ การทำความสะอาดผิวฟันที่จะยึดกับแบร็กเกต, การกันความชื้น, วิธีการเตรียมผิวฟัน, การกำจัดสิ่งปนเปื้อน (debris) บนผิวฟันภายหลังใช้กรดกัด (etching) เป็นต้น



รูปที่ 7 แสดงการผิดรูปของโครงสร้างของผลึกเซรามิก



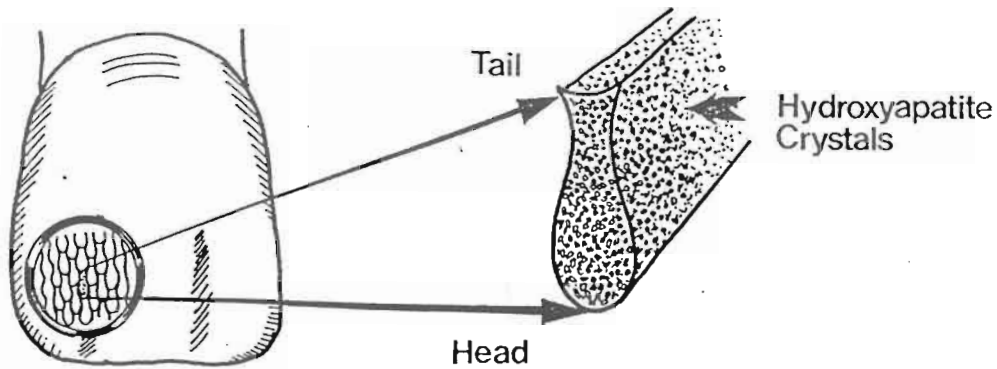
สถาบันวิจัยบริการ
จุฬาลงกรณ์มหาวิทยาลัย

รูปที่ 8 แสดงลักษณะมีรูพรุนของวัสดุทำให้อนุภาคข้างเคียงไหลตัวเข้าแทนที่

ผิวเคลือบฟัน

โครงสร้างของผิวเคลือบฟัน ประกอบด้วยหน่วยเล็กๆ ซึ่งเป็นผลึกของไฮดรอกซีอะพาไทต์ (hydroxy apatite) ที่เรียงตัวกันอยู่อย่างเป็นระเบียบเรียกว่า “อีนาเมลปริซึม” (enamel prism) (รูปที่ 9) ด้วยลักษณะดังกล่าวเมื่อใช้กรดอินทรีย์ที่มีความเข้มข้นพอเหมาะกับผิวเคลือบฟัน ผลึกของไฮดรอกซีอะพาไทต์ส่วนที่เรียงตัวตั้งฉากกับผิวเคลือบฟันจะมีการละลายตัวออกไป เกิดเป็นช่องว่างขนาดเล็กขึ้น เราจึงสามารถยัดแบรกกัดติดกับผิวเคลือบฟันได้โดยใช้วัสดุยัด ส่วนของวัสดุยัดจะแทรกตัวลงไปในช่วงว่างขนาดเล็กเหล่านี้ทำหน้าที่ยึดบริเวณฐานแบรกกัดกับผิวเคลือบฟัน โดยผิวเคลือบฟันที่ถูกกรดกัดเหล่านี้อาจมีลักษณะแตกต่างกันออกไปอันเนื่องมาจาก

1. การเรียงตัวของผลึกไฮดรอกซีอะพาไทต์ในผิวเคลือบฟัน
2. ส่วนประกอบและรูปร่างของฟันแต่ละซี่
3. ความแตกต่างในส่วนประกอบของผิวเคลือบฟัน ในแต่ละตำแหน่งบนตัวฟัน
4. ปริมาณของผิวเคลือบฟันที่ปราศจากปริซึม (Prismless enamel) บนผิวฟันของฟันแต่ละซี่
5. ความผิดปกติของโครงสร้าง ทั้งในส่วนประกอบที่เป็นอินทรีย์ และอนินทรีย์ของผิวเคลือบฟัน
6. ปริมาณของแอคไควร์เพลลิเคิล (acquired pellicle) ที่ปกคลุมผิวเคลือบฟันอยู่
7. ชนิดและความเข้มข้นของกรด (etchant) ที่ใช้ในการกัดผิวเคลือบฟัน
8. ระยะเวลาในการใช้กรดกัดผิวเคลือบฟัน (etching time) โดยพบว่าผิวเคลือบฟัน จะถูกละลายมากขึ้นตามเวลา (Wick wire, and Rentz, 1973)



รูปที่ 9 แผนภาพแสดงการเรียงตัวของปริซึมในชั้นของผิวเคลือบฟัน

จากการศึกษาการเปลี่ยนแปลงของผิวเคลือบฟัน ด้วยกล้องจุลทรรศน์อิเล็กตรอนชนิดส่องกราดพบว่าผิวเคลือบฟันภายหลังจากการกัดด้วยกรดฟอสฟอริกความเข้มข้นร้อยละ 50 มีลักษณะแตกต่างกัน 4 แบบ ได้แก่ (รูปที่ 10) (Diedrich, 1981)

1. ชนิดที่มีการละลายของส่วนแกนกลางของอีนาเมลปริซึม (Central etch type)

เกิดจากการละลายตัวของผลึกไฮดรอกซีอะพาไทต์ ที่อยู่ในบริเวณแกนกลางของปริซึม ทำให้เกิดลักษณะคล้ายรังผึ้งบนผิวเคลือบฟัน

2. ชนิดที่มีการละลายของอีนาเมลปริซึมโดยรอบ (Peripheral etch type)

ผลจากการกัดของกรดต่อบริเวณกึ่งกลางของปริซึมมีน้อยมาก การละลายตัวของผลึกไฮดรอกซีอะพาไทต์ส่วนใหญ่เกิดขึ้นบริเวณขอบของปริซึม ซึ่งลักษณะเช่นนี้อาจเกิดจากการกัดของกรดในส่วนของปริซึมที่วางตัวอยู่ลึกลงไปใ้ผิวเคลือบฟัน ซึ่งเป็นผลมาจากความไวต่อกรดไม่เท่ากันของบริเวณบนผิวเคลือบฟัน

3. ชนิดที่มีลักษณะรูปร่างไม่แน่นอน (Less structured etch type)

มักพบลักษณะเช่นนี้ในบริเวณผิวเคลือบฟันที่มีปริซึมน้อย โดยเฉพาะในพื้นที่ชั้นใหม่ และส่วนคอฟันของฟันที่มีอายุมาก โดยผิวเคลือบฟันจะมีลักษณะเป็นรูพรุนปะปนไปกับปุ่มเล็กๆ ที่ยื่นขึ้นมา

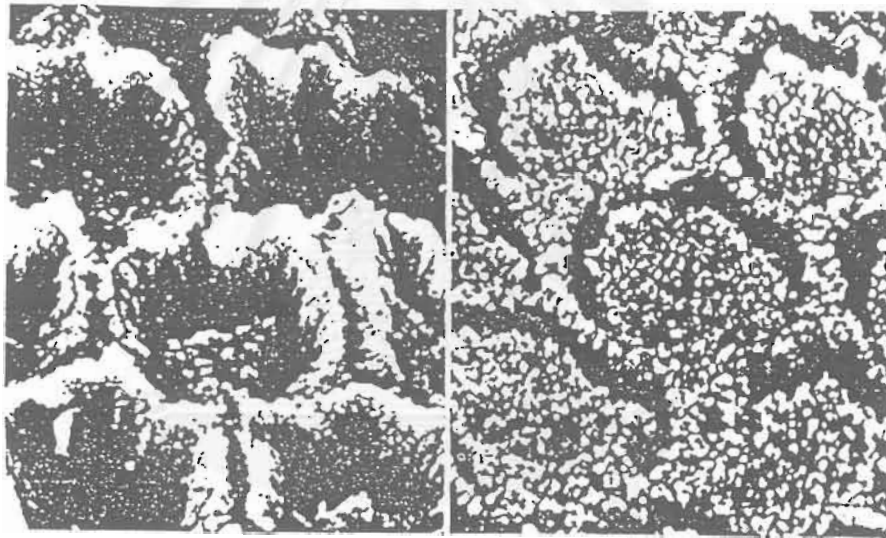
4. ชนิดที่มีลักษณะคล้ายดาวหรือต้นเฟิร์น

เป็นลักษณะที่พบได้น้อย เป็นผลเนื่องมาจากการเรียงตัวที่ผิดปกติของกลุ่มปริซึม

5. ชนิดที่มีทั้งลักษณะ 1 และ 2 ร่วมกัน (Carstensen, 1992)

เป็นลักษณะที่พบได้มากเมื่อใช้กรดฟอสฟอริกที่มีความเข้มข้นร้อยละ 20-40

ลักษณะผิวเคลือบฟันชนิดที่ 1 และ 2 เป็นลักษณะที่สามารถยึดกับวัสดุยึดได้ดี ส่วนลักษณะผิวเคลือบฟันชนิดที่ 3 และ 4 เป็นลักษณะที่ให้แรงยึดต่ำ



ก

ข

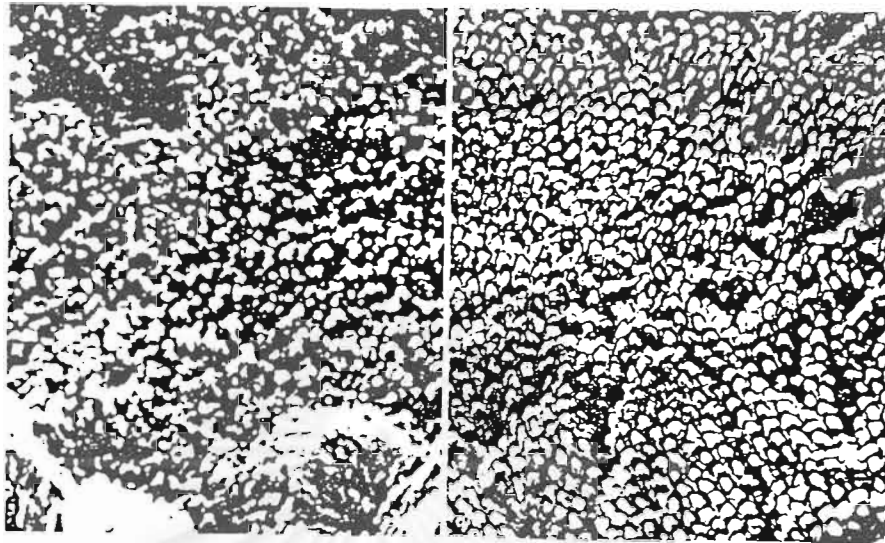
รูปที่ 10 แสดงการเปลี่ยนแปลงในลักษณะต่าง ๆ ที่เกิดขึ้นบนผิวเคลือบฟัน

ก. บริเวณผิวเคลือบฟันชนิดที่มีการละลายของส่วนแกนกลางของอีนาเมลปริซึม

ข. บริเวณผิวเคลือบฟันชนิดที่มีการละลายของอีนาเมลปริซึมโดยรอบ

ค

ง



จ

รูปที่ 10(ต่อ)

ค. บริเวณผิวเคลือบฟันชนิดที่มีลักษณะรูปร่างไม่แน่นอน

ง. บริเวณผิวเคลือบฟันชนิดคล้ายดาวหรือตันเฟิร์น

จ. บริเวณผิวเคลือบฟันชนิดที่มีการละลายของส่วนแกนกลางของอีนาเมลปริซึมและ
ชนิดที่มีการละลายของอีนาเมลปริซึมโดยรอบร่วมกัน

ปัจจัยที่มีอิทธิพลต่อการละลายตัวของผิวเคลือบฟันและรูปทรงที่เกิดจากการกัดผิวเคลือบฟันด้วยกรด (Sheyknolesoam, and Brandt, 1977)

1. ปัจจัยก่อนฟันขึ้น (Pre-eruptive Factors)

อาจมีผลต่อคุณสมบัติทางเคมีและจุลกายวิภาคของฟัน ซึ่งเกิดขึ้นในขณะที่ฟันยังมีการพัฒนาหรือก่อนที่จะขึ้นมาในช่องปาก เช่น การเกิดไฮโปแคลซิฟิเคชัน (Hypocalcification) หรือไฮโปเพลเซีย (Hypoplasia) ของฟันแท้ เนื่องมาจากการติดเชื้อของรากฟันน้ำนมหรือการดูดซึมสารฟลูออไรด์จากอาหารและน้ำมาสะสมไว้มากเกินไปจนเกิดภาวะฟลูออโรซิส (Fluorosis) ขึ้นในผิวเคลือบฟัน และการได้รับฟลูออไรด์ที่เพียงพอจะมีผลให้ฟันอึดตัวด้วยฟลูออไรด์ สภาวะเช่นนี้จะเพิ่มความต้านทานของตัวฟันต่อการกัดของกรด (Volker, 1940; Lehman, and Davidson, 1981)

2. ปัจจัยหลังฟันขึ้น (Post-eruptive Factor)

ได้แก่ ปัจจัยที่มีผลต่อการละลายตัวของผิวเคลือบฟัน ภายหลังจากที่ฟันได้ขึ้นมาในช่องปากแล้ว เช่น การใช้ฟลูออไรด์เฉพาะที่ทำให้ผิวเคลือบฟันมีความต้านทานต่อการกัดกร่อนของกรดได้มากขึ้น นอกจากนี้การมีคราบจุลินทรีย์ และแอคไควร์เพลลิเคิลจะเป็นสิ่งที่ขัดขวางไม่ให้กรดแพร่ไปสู่ผิวเคลือบฟันได้

กรดที่นำมาใช้ในการกัดผิวเคลือบฟันในปัจจุบัน ได้แก่

1. กรดฟอสฟอริก
2. กรดโพลีอะคริลิก
3. กรดไนตริก

ในการศึกษาเกี่ยวกับกำลังแรงยึดของแบร็กเกตเซรามิกพบว่า ชนิดของกรดที่ใช้,ระยะเวลาในการกัดของกรด และความเข้มข้นของกรดจะมีผลต่อแรงยึดและบริเวณที่เกิดความล้มเหลวในการยึดติด โดยพบว่าความเข้มข้นของกรดฟอสฟอริกที่ให้กำลังแรงยึดที่ดีคือที่ความเข้มข้นร้อยละ 30-40 (Moin, and Dogon 1974; Wang et al. , 1994) แต่ Retief (1992) พบว่าไม่มีความแตกต่าง

ระหว่างค่ากำลังแรงยึดเมื่อใช้กรดฟอสฟอริกความเข้มข้นตั้งแต่ร้อยละ 10-50 สำหรับระยะเวลาที่เหมาะสมในการใช้กรดกัดผิวเคลือบฟันยังเป็นที่ถกเถียงกันอยู่ โดยพบว่าระยะเวลา 15-30 วินาทีนั้นสามารถให้ค่ากำลังแรงยึดที่ยอมรับได้ในทางคลินิก (Olsen et al. , 1996)

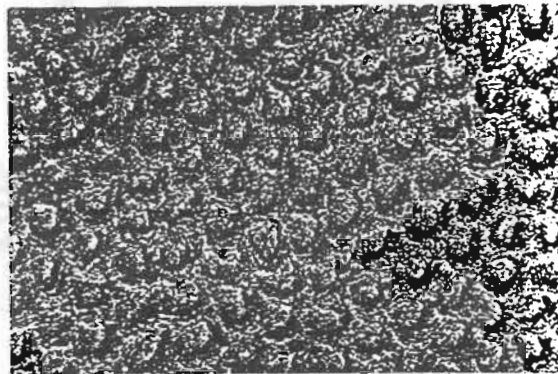
เมื่อพิจารณาทั้ง 2 ปัจจัยข้างต้นร่วมกันแล้วพบว่า การใช้ระยะเวลาในการกัดผิวเคลือบฟันน้อย (ประมาณ 15 วินาที) ร่วมกับความเข้มข้นของกรดฟอสฟอริกต่ำ (ร้อยละ 10) สามารถให้ค่ากำลังแรงยึดที่สูงเพียงพอในการใช้งานในคลินิกโดยเมื่อถอดแบรคเกตจะไม่เกิดการทำอันตรายต่อผิวเคลือบฟัน เนื่องจากกรดที่มีความเข้มข้นต่ำ จะทำให้เกิดการละลายของผิวเคลือบฟันต้นและเรซินแทกซ์สัน ซึ่งแรงยึดแบบพันธะเชิงกลที่ตำแหน่งนี้ จะทำให้เกิดความล้มเหลวของการยึดติดที่ระหว่างผิวเคลือบฟันและวัสดุยึดได้ง่าย หรืออาจเกิดความล้มเหลวของการยึดติดภายในวัสดุยึดเอง (Godoy, and Martin, 1995)

การเตรียมผิวฟันโดยใช้กรดโพลีอะคริลิก ทาบนผิวเคลือบฟันจะให้กำลังแรงยึดแบบเนียนของแบรคเกตเซรามิกกับผิวเคลือบฟันลดลงประมาณร้อยละ 48 เมื่อเทียบกับการใช้กรดฟอสฟอริก และเมื่อทำการถอดแบรคเกต พบว่าบริเวณที่เกิดความล้มเหลวในการยึดติด คือ บริเวณระหว่างผิวเคลือบฟันและวัสดุยึด จึงพบปริมาณวัสดุยึดส่วนใหญ่บนฐานของแบรคเกต (Maskeroni et al., 1990) เนื่องมาจากการใช้กรดชนิดนี้จะทำให้เกิดผลึก (Crystal growth) บนผิวเคลือบฟัน ดังนั้นวัสดุยึดจะแทรกไปในผลึกที่เกาะบนผิวเคลือบฟันมากกว่าที่จะแทรกเข้าไปในผิวเคลือบฟันดังนั้นความล้มเหลวในการยึดติดขณะถอดแบรคเกตจะเกิดภายในผลึก ไม่ทำอันตรายต่อผิวเคลือบฟัน แต่การใช้กรดฟอสฟอริกเตรียมผิวฟันวัสดุยึดจะแทรกเข้าไปในผิวเคลือบฟันที่ถูกกรดกัด ทำให้จะเกิดความล้มเหลวในการยึดติดระหว่างแบรคเกตและวัสดุยึด จึงเหลือปริมาณวัสดุยึดส่วนใหญ่บนผิวเคลือบฟัน หรืออาจเกิดความล้มเหลวในการยึดติดที่ระหว่างผิวเคลือบฟันและวัสดุยึด ซึ่งอาจเกิดอันตรายต่อผิวเคลือบฟันได้ (Bishara et al. , 1993)

ข้อดีของการใช้กรดโพลีอะคริลิก (Smith, 1973)

1. ผิวเคลือบพื้นไม่ถูกทำลายอย่างมีนัยสำคัญทางสถิติ
2. การรื้อแบรคเกตและกำจัดวัสดุยึดที่เหลืออยู่ ทำได้ง่าย
3. การสูญเสียชั้นผิวเคลือบที่มีฟลูออไรด์อยู่มาก มีจำนวนน้อย
4. เหลือวัสดุยึดบนตัวฟันน้อย ภายหลังจากถอดแบรคเกต

สำหรับการใช้กรดไนตริกที่มีความเข้มข้นร้อยละ 2.5 เปรียบเทียบกับกรดฟอสฟอริกที่มีความเข้มข้นร้อยละ 37 ในการเตรียมผิวฟันเพื่อใช้ยึดแบรคเกตเซรามิกพบว่า ไม่มีความแตกต่างระหว่างค่ากำลังแรงยึดหรือการทำอันตรายต่อผิวเคลือบฟันระหว่างกรดทั้งสองชนิดแต่การใช้กรดไนตริก จะมีวัสดุยึดหลงเหลืออยู่บนผิวฟันน้อยกว่าทำให้สามารถกำจัดวัสดุยึดได้ง่ายกว่า เนื่องจากกรดไนตริกจะกัดกร่อนผิวเคลือบฟันได้ดีกว่า และมีรูปแบบที่แน่นอน (Blight, and Lynch, 1995)



รูปที่ 11 ภาพถ่ายจากกล้องจุลทรรศน์อิเล็กตรอนชนิดส่องกราดแสดงลักษณะผิวเคลือบฟันที่ถูกกัดด้วยกรดไนตริกความเข้มข้นร้อยละ 2.5 เป็นเวลา 30 วินาที

วัสดุยึด

การใช้วัสดุยึดในงานทันตกรรมจัดฟันเป็นทางเลือกสำหรับการหลีกเลี่ยงการใช้ปลอกโลหะรัดฟันโดย Newman (1965) เป็นบุคคลแรกที่นำเอาวัสดุยึดมาใช้ในการยึดติดของแบรคเกตกับผิวเคลือบฟัน โดยวัสดุยึดเป็นปัจจัยหนึ่งที่มีผลต่อค่ากำลังแรงยึดของแบรคเกตกับผิวเคลือบฟัน นอกจากนี้ไฟร้อมเมอร์ของวัสดุยึดจะมีผลให้ค่ากำลังแรงยึดของแบรคเกตกับผิวเคลือบฟันสูงขึ้น เมื่อเปรียบเทียบกับกรณีที่ไม่ใช้ไฟร้อมเมอร์ขณะติดแบรคเกต

ในระยะแรกวัสดุยึดที่นำมาใช้เป็นชนิดบ่มตัวด้วยปฏิกิริยาเคมี (chemical cured resin) ซึ่งจะมีข้อด้อย คือ แข็งตัวเร็วและมีระยะเวลาการทำงานจำกัด ทำให้เกิดผลตามมาคือ ตำแหน่งของแบรคเกตที่ติดไม่ถูกต้อง นอกจากนี้ในการผสมวัสดุยึดชนิดนี้ ถ้าผสมไม่ดีอาจมีฟองอากาศอยู่ภายในเนื้อวัสดุที่ผสมเสร็จแล้ว ทำให้กำลังแรงยึดลดลง และเพิ่มความพรุนของผิววัสดุยึดด้วย ในปัจจุบันได้มีการนำวัสดุยึดชนิดบ่มตัวด้วยปฏิกิริยาทางเคมีที่ไม่ต้องผสมมาใช้เนื่องจากความสะดวกในการใช้งาน แต่ในการยึดแบรคเกตเซรามิกการใช้วัสดุยึดชนิดนี้ไม่ต้องผสมเป็นข้อบ่งห้าม (Swartz, 1988) เนื่องมาจากวัสดุยึดชนิดนี้ไม่ต้องผสมจะประกอบไปด้วยความเข้มข้นที่สูงของตัวเร่งปฏิกิริยาเพื่อจะให้การแข็งตัวของวัสดุยึดเกิดได้เร็วขึ้น ซึ่งอาจทำให้เกิดการเปลี่ยนสีของวัสดุยึด และการหดตัวเนื่องจากการแข็งตัวมากกว่าในวัสดุยึดชนิดต้องผสม ดังนั้นวัสดุยึดชนิดไม่ต้องผสมจะถูกออกแบบมาเพื่อให้มีลักษณะเป็นแผ่นฟิล์มที่บางที่สุด เพื่อไม่ให้เกิดการหดตัวเนื่องจากปฏิกิริยาการแข็งตัว แต่ในแบรคเกตเซรามิกที่มีกลไกการยึดติดแบบพันธะเชิงกล จะมีลักษณะของฐานแบรคเกตเป็นร่องหรือหลุมเพื่อต้องการให้เกิดความหนาของวัสดุยึด จึงไม่เหมาะสมกับคุณสมบัติที่ต้องการมีความบางที่สุดของวัสดุยึดชนิดไม่ต้องผสม

ต่อมาได้มีการนำวัสดุยึดชนิดบ่มตัวด้วยแสง (light cured resin) มาใช้ในการบูรณะฟันจึงได้มีการพัฒนานำมาใช้ในทางทันตกรรมจัดฟัน โดยใช้เป็นวัสดุในการยึดติดแบรคเกตกับผิวเคลือบฟัน โดยมีข้อดีคือจะเกิดการโพลีเมอร์ไรเซชัน (polymerization) เมื่อได้รับแสงที่มีความยาวคลื่น

450-470 นาโนเมตร ทำให้มีเวลาในการติดตั้งตำแหน่งของแบร็กเกตให้ได้ตำแหน่งที่ถูกต้อง เนื่องจากคุณสมบัติ "คอมมานด์เซท" (command set) ของวัสดุยึดและมีความพรุนของผิววัสดุน้อยอีกด้วย

จากการศึกษาเปรียบเทียบความแตกต่างของกำลังแรงยึดแบบเนียนของแบร็กเกตเซรามิกและแบร็กเกตเหล็กกล้าไร้สนิมที่ใช้วัสดุยึดชนิดบ่มด้วยปฏิกิริยาเคมี และชนิดบ่มด้วยแสงรวมทั้งศึกษาบริเวณที่เกิดความล้มเหลวในการยึดติดพบว่า แบร็กเกตเซรามิกและแบร็กเกตเหล็กกล้าไร้สนิมที่ยึดติดกับผิวเคลือบฟันด้วยวัสดุยึดทั้งชนิดบ่มด้วยปฏิกิริยาเคมีและชนิดบ่มด้วยแสง จะให้ค่ากำลังแรงยึดแบบเนียนที่สูงกว่าค่าที่ยอมรับได้ทางคลินิก ซึ่งค่าแรงยึดทางคลินิกจะมีค่าประมาณ 60-80 kg/cm² หรือ 6-8 MN/m² (Reynold, 1975) โดยในแบร็กเกตเหล็กกล้าไร้สนิมจะไม่มี ความแตกต่างของค่ากำลังแรงยึดระหว่างวัสดุยึดทั้ง 2 ชนิด แต่ในแบร็กเกตเซรามิกค่ากำลังแรงยึดในกลุ่มที่ใช้วัสดุยึดชนิดบ่มด้วยปฏิกิริยาเคมีซึ่งประกอบด้วยวัสดุอัดแทรก (Filler) ขนาดใหญ่ (Concise) จะมีค่าสูงกว่ากลุ่มที่ใช้วัสดุยึดชนิดบ่มด้วยแสง ซึ่งประกอบด้วยวัสดุอัดแทรกขนาดเล็ก (Heliosit) แต่ไม่มีความแตกต่างอย่างมีนัยสำคัญทางสถิติ ในกรณีที่ใช้วัสดุยึดชนิดบ่มด้วยปฏิกิริยาทางเคมียึดติดแบร็กเกตเซรามิกจะปรากฏการแตกหักของผิวเคลือบฟันถึงร้อยละ 40 ดังนั้นควรระมัดระวังการใช้แบร็กเกตเซรามิกร่วมกับวัสดุยึดชนิดนี้ในพื้นที่รักษารากฟันแล้วหรือฟันที่มีวัสดุอุดฟันขนาดใหญ่เพราะขณะถอดแบร็กเกต อาจเกิดอันตรายต่อผิวเคลือบฟันได้ (Joseph, and Rossouw, 1990)

Sam และคณะ (1993) ศึกษาเปรียบเทียบค่ากำลังแรงยึดแบบเนียนของแบร็กเกตเซรามิกที่มีลักษณะการยึดติดแบบพันธะเคมี (Transcend) โดยใช้วัสดุยึดชนิดบ่มด้วยปฏิกิริยาเคมี 2 ชนิด ได้แก่ Concise และ Dyna-Plus ซึ่งมีปริมาณวัสดุอัดแทรกแตกต่างกันและศึกษาถึงบริเวณที่เกิดความล้มเหลวในการยึดติด พบว่าเมื่อใช้วัสดุยึดชนิดที่มีปริมาณวัสดุอัดแทรกต่ำคือ Dyna-Plus จะให้ค่ากำลังแรงยึดแบบเนียนต่ำกว่า และบริเวณที่เกิดความล้มเหลวในการยึดติดพบได้หลายบริเวณ เช่น บริเวณระหว่างผิวเคลือบฟันและวัสดุยึด, บริเวณภายในวัสดุยึด หรือบริเวณระหว่างแบร็กเกตและวัสดุยึด ส่วนในกลุ่มที่ใช้วัสดุยึดชนิดที่มีปริมาณวัสดุอัดแทรกสูงคือ Concise จะพบบริเวณที่เกิดความล้มเหลวในการยึดระหว่างแบร็กเกตและวัสดุยึดเป็นส่วนใหญ่ แสดงให้เห็นว่า การ

ยึดติดแบบพันธะเชิงกลของผิวเคลือบฟันกับวัสดุยึดแข็งแรงกว่าการยึดแบบพันธะเคมีของแบร็กเกตกับวัสดุยึด ซึ่งแตกต่างจากการศึกษาของ Gwinnett (1988) ที่พบบริเวณที่เกิดความล้มเหลวในการยึดติดระหว่างผิวเคลือบฟันและวัสดุยึดเป็นส่วนใหญ่ นอกจากนี้การศึกษานี้ยังไม่พบการแตกหักของผิวเคลือบฟัน ซึ่งแตกต่างจากการศึกษาของ Joseph และ Rossouw (1990) ที่พบการแตกหักของผิวเคลือบฟันถึงร้อยละ 40

Winchester (1991) ทำการศึกษาค่ากำลังแรงยึดแบบเนียนในแบร็กเกตเซรามิก 4 ชนิด โดยใช้วัสดุยึดชนิดบ่มตัวด้วยแสง 2 ชนิด คือ Prismafil ซึ่งมีปริมาณวัสดุอุดแทรกร้อยละ 79 และ Heliosit ซึ่งมีปริมาณวัสดุอุดแทรกร้อยละ 15 พบว่าในการใช้วัสดุยึดชนิด Heliosit จะให้ค่ากำลังแรงยึดสูงกว่า ชนิด Prismafil ซึ่งแตกต่างจากแบร็กเกตเหล็กกล้าไร้สนิมที่ค่ากำลังแรงยึดจะสูงขึ้นเมื่อใช้วัสดุยึดที่มีปริมาณวัสดุอุดแทรกสูง โดยเขาอธิบายว่าในกรณีที่แบร็กเกตเซรามิกยึดกับวัสดุยึดที่มีปริมาณวัสดุอุดแทรกสูงกลับให้ค่ากำลังแรงยึดที่ต่ำลง เนื่องจากความแตกต่างของความหนาของวัสดุยึด คือ Prismafil มีความหนามากทำให้มีความหนาของวัสดุยึดมากค่ากำลังแรงยึดจึงต่ำ และในวัสดุที่มีความหนิต่ำจะให้เรซินแทรกซ์ที่มีความยาวมากกว่ายื่นเข้าไปในผิวเคลือบฟันที่ถูกกรดกัดทำให้มีค่ากำลังแรงยึดสูง

จากการศึกษาเปรียบเทียบการใช้วัสดุยึด 3 ชนิด ได้แก่ วัสดุยึดชนิดที่มีการบ่มตัวด้วยแสงเลเซอร์, วัสดุยึดชนิดที่มีการบ่มตัวด้วยแสง และวัสดุยึดชนิดที่มีการบ่มตัวด้วยปฏิกิริยาเคมียึดกับแบร็กเกตเซรามิกชนิดที่มีการยึดติดแบบพันธะเคมีและพันธะเชิงกลพบว่า ค่ากำลังแรงยึดเมื่อใช้วัสดุยึดชนิดบ่มตัวด้วยแสงเลเซอร์ และชนิดบ่มตัวด้วยแสงจะมีค่ากำลังแรงยึดสูงกว่าที่แนะนำโดย Retief (1974) ว่าอาจจะทำให้เกิดอันตรายต่อผิวเคลือบฟัน คือ 140kg/cm^2 หรือ 13.734 MPa โดยพบว่าบริเวณที่เกิดความล้มเหลวในการยึดติดจะเกิดขึ้นที่ระหว่างผิวเคลือบฟันและวัสดุยึดเป็นส่วนใหญ่ และพบมีการแตกหักของผิวเคลือบฟันถึงร้อยละ 10 ส่วนในกรณีที่วัสดุยึดชนิดบ่มตัวด้วยปฏิกิริยาทางเคมีจะเกิดความล้มเหลวของการยึดติดที่บริเวณภายในวัสดุยึดเป็นส่วนใหญ่แสดงว่าวัสดุยึดชนิดนี้จะให้แรงยึดบริเวณระหว่างผิวเคลือบฟันและวัสดุยึดแข็งแรงกว่าแรงยึดระหว่างแบร็กเกตและวัสดุยึดทำให้ลดโอกาสเสี่ยงในการเกิดอันตรายต่อผิวเคลือบฟัน

Evan และ Power (1985) รายงานว่า การเพิ่มความหนาของวัสดุยึดมีผลต่อค่ากำลังแรงยึดแบบดึงทั้งในวัสดุยึดชนิดผสม และวัสดุยึดชนิดไม่ต้องผสม โดยค่ากำลังแรงยึดดังกล่าว จะลดลงเมื่อความหนาของวัสดุยึดเพิ่มขึ้นเนื่องจาก ขบวนการแข็งตัวไม่สมบูรณ์, วัสดุมีการขยายตัวเมื่อได้รับความร้อน, วัสดุมีการหดตัวเมื่อเกิดปฏิกิริยาแข็งตัว และการมีฟองอากาศในวัสดุยึดซึ่งมักเกิดขึ้นกับวัสดุยึดชนิดผสม

Mackay (1992) พบว่า วัสดุยึดจะมีความหนาที่เหมาะสมในแต่ละชนิด ซึ่งมีความสัมพันธ์กับความหนืด การเพิ่มความหนาของวัสดุยึด (Concise, Delphic, Aurafill, Silar) 0.26 มม. จะมีผลต่อกำลังแรงยึดแบบเนียนเพียงเล็กน้อย ซึ่งสอดคล้องกับ Jost-Brinkmann และคณะ (1992) ซึ่งรายงานว่า วัสดุยึดที่มีวัสดุอัดแทรกขนาดใหญ่ เช่น Concise, Phase II, Excel จะมีกำลังแรงยึดสูงสุด โดยความหนาของวัสดุยึดไม่มีผลต่อค่ากำลังแรงยึด

ในปัจจุบันได้มีการนำวัสดุยึดชนิดกลาสไอโอโนเมอร์ (Glass ionomer cement) เข้ามาใช้ในงานทันตกรรมจัดฟันเนื่องจากมีข้อดีในแง่ของความสามารถในการปล่อยฟลูออไรด์ ทำให้ลดอัตราเสี่ยงของการเกิดจุดต่างขาวในขณะจัดฟัน แต่วัสดุยึดชนิดกลาสไอโอโนเมอร์เมื่อยึดกับแบรคเกตเซรามิก จะให้ค่ากำลังแรงยึดที่ต่ำกว่าวัสดุยึดชนิดคอมโพสิทเรซิน แม้ว่าวัสดุยึดชนิดกลาสไอโอโนเมอร์ จะให้ค่ากำลังแรงยึดที่เพียงพอสำหรับการใช้งานทางคลินิก คือมากกว่า 3 MPa (Fajen et al. , 1990) และพบความล้มเหลวของบริเวณยึดติดส่วนใหญ่ที่ระหว่างวัสดุยึดและผิวเคลือบฟัน (Jou et al. ,1995) การที่วัสดุยึดชนิดกลาสไอโอโนเมอร์ให้ค่ากำลังแรงยึดที่ต่ำกว่าวัสดุยึดคอมโพสิทเรซิน แต่เพียงพอสำหรับการใช้งานในคลินิกจะมีประโยชน์ในการลดอัตราเสี่ยงของการเกิดอันตรายต่อผิวเคลือบฟันขณะถอดแบรคเกต แต่ Nkenke และคณะ (1997) พบว่าเมื่อใช้วัสดุยึดกลาสไอโอโนเมอร์กับแบรคเกตเซรามิกที่มีชื่อทางการค้าว่า Allure III และ Transcend 2000 จะให้ค่ากำลังแรงยึดแบบดึงที่มีค่าต่ำ จึงไม่แนะนำให้ใช้ในคลินิก เนื่องมาจากวัสดุยึดกลาสไอโอโนเมอร์ต้องการความหนาของวัสดุมากกว่าคอมโพสิทเรซิน เพื่อให้เกิดค่ากำลังแรงยึดที่สูง ชั้นบางๆ ของกลาสไอโอโนเมอร์จะฉีกขาดง่าย ดังนั้นจะต้องใช้กับแบรคเกตที่มีการออกแบบฐาน

แทรกสอดเพื่อเพิ่มกำลังแรงยึดของวัสดุนี้ โดยให้ความหนาของวัสดุเพิ่มขึ้น (White, 1986; Cook , Yon, and Son, 1988; Fisher-Brandics et al. , 1991; Bauer et al. , 1993)



สถาบันวิทยบริการ
จุฬาลงกรณ์มหาวิทยาลัย

แบรกกเกต

แบรกกเกตเป็นส่วนหนึ่งของเครื่องมือที่มีบทบาทสำคัญในเครื่องมือจัดฟันชนิดติดแน่น เนื่องจากเป็นส่วนที่ส่งผ่านแรงที่เกิดขึ้นในการจัดฟันไปยังตัวฟัน ในปัจจุบันแบรกกเกตที่ใช้ในเทคนิค ไดรอบอนด์สามารถแบ่งออกเป็น 3 กลุ่ม คือ

1. แบรกกเกตโลหะ

แบรกกเกตโลหะที่ใช้ในเทคนิคไดรอบอนด์ ได้ถูกดัดแปลงมาจากแบรกกเกตแบบเดิมที่ใช้เชื่อมต่อกับปลอกโลหะรัดฟัน โดยทำการออกแบบฐานแบรกกเกตให้มีลักษณะเป็นแอนเดอร์คัทเพื่อให้เกิดการยึดแบบพันธะเชิงกลระหว่างแบรกกเกต, วัสดุยึดและผิวเคลือบฟัน

บริษัทผู้ผลิตแบรกกเกตได้มีการออกแบบฐานแบรกกเกตให้มีลักษณะแตกต่างกันเพื่อพัฒนาการยึดของแบรกกเกตให้ติดกับฟันโดยแรงยึดที่สูงเพียงพอกับการใช้งานทางคลินิก ได้แก่ ฐานแบรกกเกตแบบหลุม (micro-loc), แบบตะแกรง (foil-mesh), แบบที่เชื่อมด้วยวัสดุที่มีรูพรุนที่ฐานแบรกกเกต (porous metal powder), แบบร่องในแนวนอนร่วมกับร่องรูปตัววี (Integral base) หรือแบบร่อง (grooves) โดยพบว่าแบรกกเกตที่มีลักษณะฐานแบบตะแกรง จะให้กำลังแรงยึดมากกว่าแบบร่องในแนวนอนร่วมกับร่องรูปตัววีที่ได้จากการกลึง (Dyna-lock) (Odegaard, and Segner, 1988; Rungsi Thavarungkul, 1990) และแบบที่มีลักษณะฐานเป็นรูพรุน (Reynold, and Von Fraunhofer, 1977)

Sheykhoham และ Brandt (1977) ได้ชี้ให้เห็นถึงเหตุผลที่ฐานแบรกกเกตชนิดตะแกรงโลหะให้ความแข็งแรงในการยึดมากกว่าฐานแบรกกเกตชนิดที่มีรูพรุน เนื่องจากฐานแบรกกเกตชนิดที่มีลักษณะเป็นตะแกรงโลหะจะมีจุดที่สามารถเกาะเกี่ยวกับวัสดุยึดสูงถึง 10,000 จุด ต่อพื้นที่ 1 ตารางนิ้ว ซึ่งมากกว่าแบรกกเกตชนิดที่มีฐานมีลักษณะเป็นรูพรุนมาก นอกจากนี้ยังได้มีการปรับปรุงฐานแบรกกเกตที่มีลักษณะเป็นตะแกรงโลหะให้ส่วนที่เป็นตะแกรงโลหะสามารถติดอยู่กับฐานแบรกกเกตได้ดีขึ้น ทำให้ส่วนที่เป็นตะแกรงโลหะไม่หลุดออกจากฐานแบรกกเกตในขณะที่ทำการถอดแบรกกเกต ซึ่ง

ในแบรกกะตแบบเก่าจะใช้การเชื่อมด้วยไฟฟ้า (weld) ทำให้เกิดจุดเชื่อม (weld spot) ขึ้นจำนวนหนึ่ง ซึ่งบริเวณจุดเชื่อมนี้จะมีลักษณะแบนราบทำให้ไม่สามารถยึดเกาะกับวัสดุยึดได้ เพื่อขจัดปัญหาเหล่านี้จึงได้มีการปรับปรุงวิธียึดตะแกรงโลหะเข้ากับฐานแบรกกะต จากการเชื่อมด้วยไฟฟ้ามานี้เป็นวิธีบัดกรี (brazing) ทำให้ตะแกรงโลหะสามารถยึดกับวัสดุยึดได้อย่างเต็มที่

Lopez (1980) รายงานผลการทดลองเปรียบเทียบกำลังแรงยึดแบบเนียนของแบรกกะต เหล็กกล้าไร้สนิมที่มีฐานต่างกัน 16 ชนิด โดยทำการยึดแบรกกะตลงบนพื้นผิวด้วยวัสดุยึดชนิดเดียวกัน การทดลองแบ่งออกเป็น 2 ช่วง คือ 24 ชั่วโมง และ 30 วัน พบว่า ไม่มีความแตกต่างกันของกำลังแรงยึดแบบเนียนของพื้นที่ติดแบรกกะตทั้งไว้เป็นเวลา 24 ชั่วโมง และ 30 วัน ในแบรกกะตทุกชนิดที่ทำการทดลอง โดยแบรกกะตซึ่งมีลักษณะฐานแบบตะแกรงโลหะที่ยึดด้วยวิธีบัดกรีจะให้ค่ากำลังแรงยึดแบบเนียนได้มากกว่าแบรกกะตชนิดอื่นอย่างมีนัยสำคัญในกลุ่มที่ติดแบรกกะตไว้เป็นเวลา 24 ชั่วโมง ส่วนในกลุ่มที่ติดแบรกกะตไว้เป็นเวลา 30 วันนั้นแบรกกะตชนิดตะแกรงโลหะ และแบรกกะตชนิดหลุม ให้ค่ากำลังแรงยึดไม่แตกต่างกันโดยแบรกกะตที่ลักษณะฐานเป็นรูปพุ่มจะให้ค่ากำลังแรงยึดที่ต่ำที่สุด

Dickinson และ Power (1980), Maijer และ Smith (1981) พบว่า จุดเชื่อม ซึ่งพบในฐานของแบรกกะตบางชนิดที่ทำการยึดส่วนของฐานเข้ากับตัวแบรกกะตด้วยวิธีเชื่อมเฉพาะจุด จะทำให้พื้นที่ในการยึดกับวัสดุยึดของบริเวณเกาะเกี่ยวของฐานแบรกกะตลดลง เนื่องจากจุดเชื่อมนี้มีการทำลายส่วนของตะแกรงโลหะเกิดเป็นบริเวณที่มีลักษณะแหลมขึ้น ทำให้มีความคั่นสะสมในบริเวณดังกล่าว ดังนั้นความแข็งแรงในการยึดของฐานแบรกกะตจึงลดลง ปัจจัยอีกประการหนึ่งที่มีความสำคัญในการลดความแข็งแรงในการยึดของแบรกกะตและวัสดุยึดลงคือ ฟองอากาศที่แทรกอยู่ระหว่างฐานแบรกกะตกับวัสดุยึดซึ่งมักพบในแบรกกะตที่มีลักษณะฐานแบบหลุม นอกจากนี้ปัจจัยดังกล่าวข้างต้นแล้ว Maijer และ Smith ยังพบว่า แบรกกะตที่ลักษณะของฐานแบบตะแกรงโลหะชนิดที่มีความถี่มากจะให้ค่ากำลังแรงยึดสูงกว่าแบรกกะตที่ลักษณะของฐานแบบตะแกรงโลหะชนิดที่มีความถี่น้อยอย่างมีนัยสำคัญเมื่อใช้วัสดุยึดที่มีปริมาณวัสดุอัดแทรกต่ำ (Dynabond)

Smith และ Maijer (1983) ได้ทดลองทำการเคลือบฐานของลิ้นกวางบัดตอน (lingual button) ด้วยเม็ดโลหะเหล็กกล้าไร้สนิม หรือเม็ดโลหะโคบอลต์-โครเมียม ขนาดต่างๆกัน โดยการเผาที่อุณหภูมิ 1,100 องศาเซลเซียส เป็นเวลา 4 ชั่วโมงในอากาศเฉื่อย พบว่าจะให้ค่ากำลังแรงยึดที่มากกว่าฐานแบบตะแกรงโลหะอย่างมีนัยสำคัญ เนื่องจากวัสดุยึดจะสามารถแทรกตัวเข้าไปอยู่ระหว่างผงโลหะที่เคลือบอยู่ได้ดีด้วยแรงแบบแคปิลารี (capillary action) เป็นผลให้เกิดการเกาะเกี่ยวที่แข็งแรงกว่า

Ferguson, Read และ Watts (1984) พบว่าแบรคเกต Dyna-lock ให้ความแข็งแรงในการยึดน้อยกว่าแบรคเกตที่ลักษณะฐานแบบตะแกรงโลหะและแบบหลุม เมื่อใช้กับวัสดุยึดชนิดไม่ต้องผสม (Right-on) อย่างไรก็ตามเมื่อใช้วัสดุยึดชนิดผสมที่มีปริมาณวัสดุอัดแทรกสูง (Concise) ค่ากำลังแรงยึดของแบรคเกตนี้จะเพิ่มขึ้นและเท่ากับแบรคเกตที่มีลักษณะฐานแบบหลุม แต่มากกว่าแบรคเกตที่ลักษณะฐานแบบตะแกรงโลหะ โดยลักษณะฐานแบรคเกตเป็นร่องรูปตัววีของ Dyna-lock สามารถลดการเกิดฟองอากาศระหว่างวัสดุยึดและฐานแบรคเกตซึ่งมักพบในแบรคเกตที่มีลักษณะฐานแบบหลุม และอาจมีผลให้ความแข็งแรงในการยึดมีค่าเพิ่มขึ้นแต่ผลจากการทดลองที่ได้กลับไม่เป็นไปตามสมมติฐานดังกล่าวเมื่อใช้กับวัสดุยึดชนิดไม่ต้องผสม เมื่อวิเคราะห์บริเวณฐานของแบรคเกต Dyna-lock พบว่าบริเวณขอบของโลหะด้านข้างของบริเวณที่เป็นร่องและส่วนโลหะที่อยู่ชิดกับผิวฟันมีลักษณะเป็นมุมแหลมซึ่งทำให้เกิดความเค้นของวัสดุยึดที่บริเวณนั้นและก่อให้เกิดความล้มเหลวของการยึดติดที่ระหว่างฐานแบรคเกตและวัสดุยึด

Regan และ van Noort (1989) ทำการศึกษาอิทธิพลของลักษณะฐานแบรคเกตที่มีต่อค่ากำลังแรงยึดแบบดึงและแบบเฉือนโดยทำการศึกษาในแบรคเกตที่มีฐานเป็นโลหะขึ้นเดียวกับตัวแบรคเกต 2 ชนิด คือ Edgeway ซึ่งฐานแบรคเกตมีลักษณะเป็นร่องตามแนวตั้งและแนวนอน และ Dyna-lock ซึ่งฐานแบรคเกตมีลักษณะเป็นร่องในแนวนอนร่วมกับรูปตัววีเปรียบเทียบกับแบรคเกตที่มีฐานแบบตะแกรงโลหะ แบรคเกตทั้งหมดยึดกับแท่งพลาสติกด้วยวัสดุยึดชนิดไม่ต้องผสม (Advantage) และวัสดุยึดชนิดผสม (Phase II) ผลการทดลองพบว่า Edgeway จะให้ค่ากำลังแรงยึดแบบดึง/ปอก และแบบเฉือน/ปอกสูงที่สุด ขณะที่ Dyna-lock จะให้ค่ากำลังแรงยึดทั้งสองต่ำสุด และ

เมื่อใช้วัสดุยึด Phase II แบริกเกตจะมีค่ากำลังแรงยึดสูงกว่าเมื่อใช้วัสดุยึด Advantage ความแตกต่างของค่ากำลังแรงยึดเป็นผลมาจากลักษณะของฐานแบริกเกตที่แตกต่างกัน, ชนิดของแรงที่ทำการทดสอบ และชนิดของวัสดุยึด มิใช่เป็นผลมาจากขนาดของฐานแบริกเกตที่แตกต่างกัน เมื่อพิจารณา ลักษณะของฐานแบริกเกต Edgeway ด้วยกล้องจุลทรรศน์อิเล็กตรอนชนิดส่องกราดพบว่า มีผิวที่หยาบกว่าแบริกเกตอื่นเป็นผลมาจากขบวนการผลิตที่ทำการหล่อส่วนเกาะเกี่ยวบริเวณฐานแบริกเกตออกมาพร้อมกับตัวแบริกเกตทำให้มีไมโครเมคานิคอลรีเทนชัน (micromechanical retention) มากกว่า นอกจากนี้วัสดุยึดสามารถเกาะเกี่ยวกับร่องทั้งในแนวตั้งและแนวนอน ในขณะที่แบริกเกต Dyna-lock วัสดุยึดสามารถเกาะเกี่ยวกับฐานแบริกเกตเฉพาะร่องในแนวนอนเท่านั้น อีกทั้งฐานแบริกเกตมีความเรียบเนื่องจากขบวนการกลึงจึงทำให้มีค่ากำลังแรงยึดที่ต่ำกว่า

2. แบริกเกตพลาสติก

Newman (1969) เป็นบุคคลแรกที่พัฒนาแบริกเกตพลาสติกเพื่อใช้ในเทคนิคไดเรกบอนด์ โดยเลือกใช้โพลีคาร์บอเนตที่ไม่มีวัสดุอัดแทรก (Unfilled polycarbonate) ในการผลิตแบริกเกต แบริกเกตพลาสติกนี้จะใช้อีพอกซีเรซินเป็นวัสดุยึดแบริกเกตเข้ากับตัวฟัน นอกจากอีพอกซีเรซินแล้ว แบริกเกตนี้ยังสามารถยึดติดกับวัสดุยึดที่มีเบสเป็นเมทิลเมทาคริเลตซึ่งเป็นเบสที่สามารถเกิดพันธะเคมีกับแบริกเกตพลาสติกได้โดยตรง แต่หากจะใช้วัสดุยึดที่มีเบสเป็น Bis-GMA กับแบริกเกตพลาสติกจะต้องใช้ร่วมกับไพรเมอร์ เพื่อให้มีการต้านทานต่อแรงดึงสูงขึ้น (de Pulido, 1983)

แบริกเกตพลาสติกมีข้อดีในด้านให้ความสวยงามและสามารถสร้างพันธะเคมีกับวัสดุยึดได้ ทำให้มีความแข็งแรงในการยึดสูงกว่าแบริกเกตโลหะ (Reynold, 1977) แต่แบริกเกตชนิดนี้มีข้อเสีย บางประการเช่น มีความแข็งแรงน้อยมักจะบิดหรือแตกหักในระหว่างการรักษาไม่ว่าจะใช้ลวดกลมหรือลวดสี่เหลี่ยมหรือแม้แต่การผูกแบริกเกตด้วยลวดเหล็กกล้าไร้สนิม (Aird, and Durning, 1987) นอกจากนี้แบริกเกตพลาสติกยังมีการสึกกร่อนของร่องแบริกเกตทำให้สูญเสียความสามารถในการควบคุมแนวแกนของฟัน และข้อเสียที่สำคัญของแบริกเกตพลาสติก คือ สามารถเปลี่ยนสีได้ และต้องใช้วัสดุยึดโดยเฉพาะ

3. แบริกเกตเซรามิก

จากข้อบกพร่องของแบริกเกตพลาสติกซึ่งมีความแข็งแรงน้อยและเปลี่ยนสีได้ เมื่ออยู่ในช่องปากเป็นเวลานาน ทำให้แบริกเกตพลาสติกไม่ได้รับความนิยมในการนำไปใช้กับผู้ป่วยมากเท่ากับแบริกเกตโลหะ แม้ว่าจะให้ความสวยงามมากกว่า

แบริกเกตเซรามิกจึงถูกประดิษฐ์ขึ้นมาเพื่อรวมเอาข้อดีของแบริกเกตพลาสติกในด้านความสวยงามกับความแข็งแรงของแบริกเกตโลหะเข้าด้วยกัน เนื่องจากเซรามิกเป็นวัสดุที่มีความแข็งแรงทนต่อความร้อนและการเสื่อมสภาพทางเคมีได้ดี แต่ก็มีจุดอ่อนที่ด้อยกว่าโลหะคือ เซรามิกมีความเปราะสูง เนื่องจากโครงสร้างโมเลกุลที่ต่างกัน เมื่อโลหะมีความเค้นเกิดขึ้นโมเลกุลของโลหะซึ่งยึดกันด้วยพันธะโลหะสามารถที่จะบิดเบือนตำแหน่งไปเพื่อลดความเค้นลง แต่โครงสร้างโมเลกุลของเซรามิกมีตำแหน่งที่แน่นอน และยึดกันอยู่ในลักษณะ 3 มิติ ไม่สามารถบิดเบือนได้เมื่อมีความเค้นเกิดขึ้นจนถึงจุดวิกฤต พันธะระหว่างโมเลกุลของเซรามิกก็จะแตกออก ทำให้เกิดการแตกหักของวัสดุ (รูปที่ 4)

ดังนั้น หากมีรอยขีดข่วนหรือตำหนิบนชิ้นเซรามิกแล้ว เซรามิกมีโอกาที่จะเกิดการแตกหักได้ง่ายกว่าโลหะ

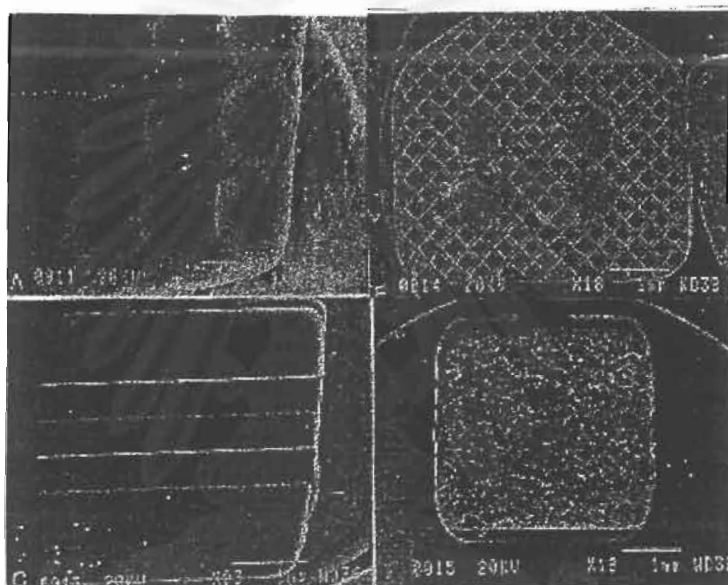
เนื่องจากแบริกเกตเซรามิกมีลักษณะที่สำคัญ 2 ประการ คือ มีกำลังแรงยึดกับผิวเคลือบฟันสูงเมื่อเทียบกับแบริกเกตเหล็กกล้าไร้สนิมและไม่มีคุณสมบัติรีดได้ (Ductility) เหมือนแบริกเกตเหล็กกล้าไร้สนิม ทำให้อาจพบปัญหาขณะถอดแบริกเกตเซรามิก โดยจะเกิดการแตกหักภายในแบริกเกต หรือภายในผิวเคลือบฟัน ขึ้นกับกลไกในการยึดติดของฐานแบริกเกตเซรามิก และลักษณะของฐานแบริกเกตเซรามิก

กลไกการยึดติดของแบรกกเกตเซรามิก

แบรกกเกตเซรามิกสามารถยึดติดกับฟันได้ 3 ลักษณะ ได้แก่

1. การยึดติดด้วยพันธะเชิงกล

เกิดจากการทำลักษณะของฐานแบรกกเกตให้มีอันเดอร์คัท เป็นร่อง, หลุม หรืออาจทำเป็นตะแกรงถี่ (รูปที่ 12) เพื่อช่วยในการยึดติดของวัสดุยึดติดกับแบรกกเกต จากการศึกษาด้วยกล้องจุลทรรศน์อิเล็กตรอนชนิดส่องกราด พบว่าเรซินแทรกซ์ยึดกับผิวเคลือบฟันโดยการเกาะเกี่ยวแบบเชิงกลระหว่างวัสดุยึดและผิวเคลือบฟัน



รูปที่12 แสดงตัวอย่างฐานแบรกกเกตเซรามิกที่มีอันเดอร์คัทลักษณะต่างๆ

จากการศึกษาเปรียบเทียบแรงยึดเชิงกลของแบรกกเกตเซรามิกที่มีลักษณะฐานแบบการใช้อนุภาคคล้ายคริสตอลเชื่อมที่ฐาน (Transcend 2000) กับแบรกกเกตเหล็กกล้าไร้สนิม (Dynabond II) พบว่า Transcend 2000 จะมีค่าเฉลี่ยกำลังแรงยึดแบบเนียนมากกว่า Dynabond II แต่ไม่มีความแตกต่างอย่างนัยสำคัญทางสถิติ (Bordeaux, Moore, and Bagby, 1994) นอกจากนี้ Viazis, Nakajama และ Kleven (1993) ยังพบว่า Lumina ซึ่งเป็นแบรกกเกตเซรามิกชนิดที่มีฐานเป็นปุ่มนูนจำนวนมาก จะให้ค่ากำลังแรงยึดต่ำกว่า Transcend 2000 และแบรกกเกตเหล็กกล้าไร้สนิมที่มีลักษณะฐานเป็นตะแกรง (Super mesh) แต่ Forberg และ Hagberg (1992) พบว่า Transcend

2000 ให้แรงยึดที่แข็งแกร่งกว่าแบรกกัดเหล็กกล้าไร้สนิมที่มีลักษณะฐานเป็นตะแกรง (Ormco foil-mesh) ซึ่งเขาได้อธิบายว่าอาจเนื่องมาจากอนุภาคคล้ายคริสตอลที่ฐานของ Transcend 2000 จะทำให้เกิดการเกาะเกี่ยวของวัสดุยึดกับแบรกกัดได้แข็งแกร่งกว่าการยึดด้วยตะแกรง

2. การยึดติดด้วยพันธะเคมี

เนื่องจากส่วนประกอบของอะลูมินาของแบรกกัดเซรามิกไม่สามารถทำปฏิกิริยากับวัสดุยึดได้ ดังนั้นจึงมีการนำไฮเลนคัพลิงเอเจนท์ มาใช้เป็นเคมีคอลเมดิเอเตอร์ระหว่างวัสดุยึดกับฐานของแบรกกัดโดยโมเลกุลของไฮเลนจะเป็นไปฟังก์ชัน โดยที่ปลายข้างหนึ่งที่เป็นกลุ่มของไฮลานอลจะจับแน่นกับแก้วขณะที่ปลายอีกข้างหนึ่งจะทำปฏิกิริยากับวัสดุยึด แต่เนื่องจากฐานของแบรกกัดเซรามิกเป็นผลึกอะลูมินาออกไซด์ซึ่งกลุ่มของไฮลานอลจะไม่สามารถทำปฏิกิริยากับฐานของแบรกกัดเซรามิกได้จนกว่าฐานของแบรกกัดเซรามิกจะถูกเคลือบด้วยส่วนประกอบของแก้ว

แบรกกัดเซรามิกที่มีลักษณะการยึดติดเป็นแบบพันธะเคมี จะให้ค่ากำลังแรงยึดที่สูงกว่าแบรกกัดเซรามิกที่มีการยึดแบบพันธะเชิงกล และแบรกกัดเหล็กกล้าไร้สนิม (Gwinnett, 1988; Odegaard, and Segner, 1988; Viazis et al. , 1990; Winchester, 1991; Forberg, and Hagberg, 1992; Wang et al. , 1997) เนื่องจากแบรกกัดเซรามิกที่มีกลไกการยึดติดแบบพันธะเชิงกลจะมีร่องซึ่งเป็นอันเดอร์คัท ที่บริเวณขอบจะมีมุมประมาณ 90 องศา ยิ่งไปกว่านั้นการออกแบบให้มีลักษณะการตัดขวางของร่องเพื่อป้องกันแบรกกัดไม่ให้ไถลไปตามร่องจะทำให้เกิดมุมที่มีลักษณะแหลม ลักษณะเช่นนี้จะมีการสะสมของความเค้นรอบ ๆ มุมที่แหลมเหล่านี้ทำให้เกิดการเปราะของวัสดุยึด เมื่อให้แรงในการถอดแบรกกัดจึงมีวัสดุยึดส่วนหนึ่งติดที่ฟันและอีกส่วนหนึ่งติดที่ร่องของแบรกกัด แต่ในแบรกกัดเซรามิกที่มีกลไกการยึดแบบพันธะเคมีที่มีลักษณะของฐานเป็นผิวเรียบที่สะท้อนแสงจะให้การกระจายที่ดีของความเค้นบนวัสดุยึดทั้งหมดโดยปราศจากการเกิดความเค้นเฉพาะตำแหน่ง ดังนั้นในการถอดแบรกกัดจึงให้กำลังแรงยึดแบบเนียนที่มาก (Viazis et al. , 1990)

3. การยึดติดด้วยพันธะเคมีและพันธะเชิงกลร่วมกัน

Winchester (1991) ทำการศึกษากำลังแรงยึดแบบเนียนในแบรกดัดเซรามิก 4 ชนิด ได้แก่ Transcend, Starfire, Allure, Intrigue โดยใช้วัสดุยึดชนิดปมตัวด้วยแสง 2 ชนิด คือ Prismafil ซึ่งมีปริมาณวัสดุอุดแทรกร้อยละ 79 และ Heliosit ซึ่งมีปริมาณวัสดุอุดแทรกร้อยละ 15 แบรกดัดเซรามิกที่ใช้ในการศึกษานี้จะมีชั้นของไซเลนปกคลุมทุกชนิดแต่แบรกดัดเซรามิก Transcend และ Starfire จะมีลักษณะพื้นผิวของฐานที่เรียบและยึดติดแบบพันธะเคมีเพียงอย่างเดียว แตกต่างจากแบรกดัดเซรามิก Allure และ Intrigue ที่มีกลไกการยึดติดแบบพันธะเชิงกลร่วมด้วย โดย Intrigue จะมีลักษณะฐานเป็นผิวขรุขระและ Allure จะมีลักษณะเป็นร่อง 6 ร่อง ทำให้เพิ่มความหนาของวัสดุยึด ค่ากำลังแรงยึดจึงมีค่าน้อยลงด้วย โดยพบว่า Transcend & Starfire จะให้ค่ากำลังแรงยึดแบบเนียนสูงกว่า Allure และ Intrigue เนื่องจาก ไซเลนคัพลิงเอเจนท์จะเพิ่มกำลังแรงยึดแต่การยึดติดแบบพันธะเชิงกลร่วมด้วยจะทำให้กำลังแรงยึดแบบเนียนลดลง (Iwamoto et al. , 1987)

ในปัจจุบันได้มีการพัฒนาการออกแบบฐานแบรกดัดเซรามิก โดยให้มีกลไกการยึดติดเป็นแบบพันธะเคมีและพันธะเชิงกลร่วมกัน แต่มีฐานทำจากวัสดุโพลีคาร์บอเนตมีชื่อทางการค้าว่า Ceramaflex โดยพบว่า จะให้ค่ากำลังแรงยึดต่ำกว่าแบรกดัดเซรามิกชนิดที่มีการยึดติดแบบพันธะเชิงกล (Transcend series 6000) (Olsen, Bishara, and Jakobsen, 1997) แต่เมื่อเปรียบเทียบกับแบรกดัดเหล็กกล้าไร้สนิมพบว่าให้ค่ากำลังแรงยึดไม่แตกต่างกัน (Franklin et al. . 1993)

Willems และคณะ (1997) ได้ทำการเปรียบเทียบค่ากำลังแรงยึดแบบเนียน/ปกของแบรกดัดเหล็กกล้าไร้สนิม, แบรกดัดเซรามิก และแบรกดัดพลาสติกที่มีลักษณะของฐานแตกต่างกัน 17 ชนิดโดยใช้วัสดุยึดชนิดผสม (Concise) พบว่า Allure Accu Arch ซึ่งเป็นแบรกดัดเซรามิกที่มีลักษณะการยึดติดแบบพันธะเคมี, Minimaster และ Omni Arch ซึ่งเป็นแบรกดัดเหล็กกล้าไร้สนิมที่มีลักษณะฐานแบบตะแกรงโลหะที่มีความถี่มากร่วมกับการใช้ลวดที่มีความหนาในการสานกันเป็นตะแกรงโลหะ 2 ชั้นทำให้ค่ากำลังแรงยึดของแบรกดัดเหล่านี้มีค่าสูงกว่าแบรกดัดชนิดอื่น นอกจากนี้เมื่อทำการเปรียบเทียบแบรกดัดเซรามิกที่มีการยึดติดแบบพันธะเชิงกลซึ่งมีลักษณะของฐานแบบไมโครเมคานิคัลรีเทนชัน 2 ชนิด (Transcend series 6000 , 20/20 m) พบว่าไม่มีความแตกต่าง

ของค่ากำลังแรงยึดแบบเนียน/ปอกอย่างมีนัยสำคัญทางสถิติแต่มีค่าสูงกว่าแบรคเกต Dyna-lock ซึ่งเป็นแบรคเกตที่ให้ค่ากำลังแรงยึดต่ำที่สุดเมื่อเปรียบเทียบกับแบรคเกตเหล็กกล้าไร้สนิมชนิดอื่น อย่างไรก็ตามแบรคเกต Dyna-lock สามารถให้ค่ากำลังแรงยึดที่สูงขึ้นเมื่อผ่านการเป่าด้วยทรายที่ฐานแบรคเกต

การศึกษาลักษณะของฐานแบรคเกตเซรามิก

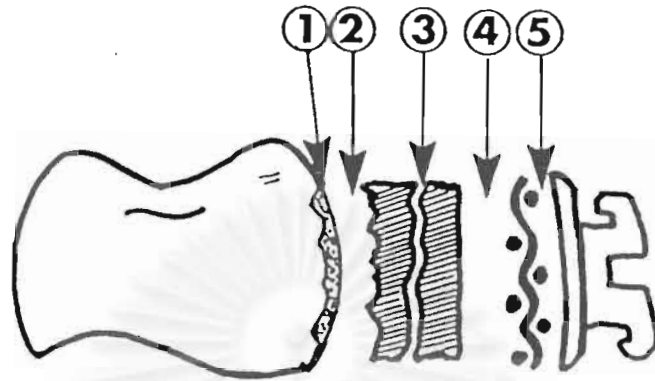
Eliades และคณะ (1991) พบว่าการออกแบบลักษณะของฐานแบรคเกตเซรามิกจะมีผลต่อกำลังแรงยึด เนื่องจากความหนาของวัสดุที่แตกต่างกัน รวมทั้งมีผลต่อบริเวณที่เกิดความล้มเหลวในการยึดติด ดังเช่นแบรคเกตเซรามิก Allure III เป็นแบรคเกตเซรามิกที่มีลักษณะฐานเป็นร่องลึก (recess) ที่สมมาตร ซึ่งทำให้เกิดกลไกการยึดติดเป็นแบบพันธะเชิงกลบริเวณระหว่างร่องลึกจะเรียงตรงถูกปกคลุมด้วยชั้นของไซเลนเป็นบริเวณต่อเนื่อง ทำให้แบรคเกตเซรามิกชนิดนี้มีกลไกการยึดติดเป็นแบบพันธะเชิงกลและเคมีร่วมกัน แต่การที่มีลักษณะของฐานเป็นร่องลึกจะทำให้เพิ่มความหนาของวัสดุยึด ซึ่งการเพิ่มความหนาจะทำให้เกิดการหดตัวขณะโพลีเมอร์ไรเซชัน และการขยายตัวเนื่องจากความร้อนของวัสดุยึดทำให้กำลังแรงยึดลดลง และจะพบบริเวณที่เกิดความล้มเหลวในการยึดติดที่บริเวณระหว่างแบรคเกตและวัสดุยึด และบริเวณระหว่างผิวเคลือบฟันและวัสดุยึด

จุฬาลงกรณ์มหาวิทยาลัย

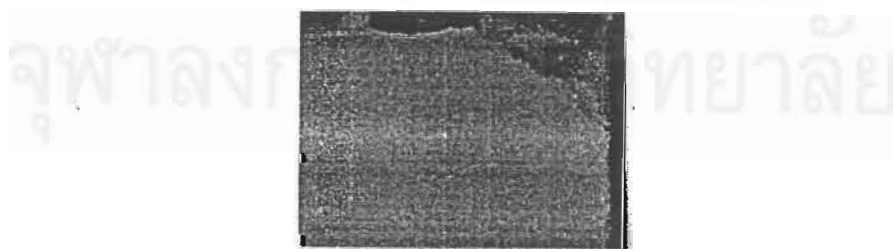
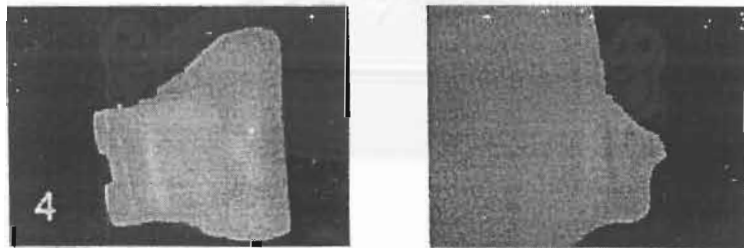
ความล้มเหลวในการยึดติดของแบร็กเกตเซรามิก

1. ความล้มเหลวที่เกิดภายในผิวเคลือบฟัน จะเกิดการหลุดลอกของผิวเคลือบฟันเนื่องจากแรงยึดระหว่างฟันกับวัสดุยึดน้อยกว่าแรงยึดระหว่างวัสดุยึดและแบร็กเกต (รูปที่ 13 (1))
2. ความล้มเหลวที่เกิดระหว่างผิวเคลือบฟันและวัสดุยึด (enamel-adhesive interface) การหลุดออกจะทำให้วัสดุยึดติดที่ฐานของแบร็กเกต (รูปที่ 13(2)) สาเหตุเกิดจากเทคนิคการติดเครื่องมือไม่ดีพอ ได้แก่ การควบคุมความชื้น หรือมีการรบกวนขณะแข็งตัว
3. ความล้มเหลวที่เกิดภายในวัสดุยึด (รูปที่ 13(3))
4. ความล้มเหลวที่เกิดระหว่างวัสดุยึดและแบร็กเกต (adhesive-bracket interface) จะมีวัสดุยึดติดที่ผิวเคลือบฟัน (รูปที่ 13(4)) สาเหตุเนื่องมาจากวัสดุยึดอ่อนแอ
5. ความล้มเหลวที่เกิดภายในแบร็กเกต (รูปที่ 13(5),14) เนื่องมาจากความเปราะของเซรามิก

ในทางคลินิกความล้มเหลวที่เกิดระหว่างวัสดุยึดและแบร็กเกตจะดีกว่าความล้มเหลวที่เกิดระหว่างวัสดุยึดและผิวเคลือบฟัน เพราะแบบหลังอาจทำให้ผิวเคลือบฟันแตก (Odegaard, and Segner, 1988; Forsberg, and Hagberg, 1992; Winchester, 1992; Eliades, Viazis, and Lekka, 1993; Viazis et al. , 1993; Bordeaux et al. , 1994; Bishara, Olsen, and Wald, 1997; Nkenke et al. , 1997) โดยอุทกมคติแล้วความแข็งแรงยึดระหว่างแบร็กเกตและวัสดุยึดต้องมีมากพอที่จะต้านทานต่อการเคลื่อนฟันทางทันตกรรมจัดฟันและแรงบดเคี้ยวในช่องปาก คือมากกว่า 5.88-7.85 MPa (Reynold 1975 cited in Weinberge. Mc Connell, and Wright, 1997) แต่ต้องไม่สูงเกินไปจนต้านทานต่อการถอดแบร็กเกต โดย Retief (1974) พบว่าแรงยึดของแบร็กเกตกับวัสดุยึดที่มากกว่า 13.74 MPa จะก่อให้เกิดอันตรายต่อผิวเคลือบฟันขณะถอดแบร็กเกต



รูปที่13 แสดงแผนภาพของบริเวณที่อาจจะเกิดความล้มเหลวขึ้นในการยึดแบริกเกตเข้ากับ
ผิวเคลือบพื้นด้วยวัสดุยึด (Alexander et al. , 1993; Jou et al. , 1995)



รูปที่14 แสดงบริเวณที่มีการแตกหักของแบริกเกตเซรามิก

ปัญหาที่เกิดจากการใช้แบร็กเกตเซรามิกในคลินิก (Ghafari, 1992)

1. การแตกหรือหลุดลอกของผิวเคลือบฟันขณะถอดแบร็กเกต

ปัญหานี้สัมพันธ์กับการมีค่าแรงยึดระหว่างแบร็กเกตเซรามิกกับวัสดุยึดที่สูง ทำให้เกิดแรงกระแทกอย่างทันทีขณะถอดแบร็กเกต ซึ่งการมีค่าแรงยึดที่สูงทำให้มีแนวโน้มในการได้รับแรงดังกล่าว ดังนั้นจึงควรหลีกเลี่ยงการให้แรงกระแทกอย่างทันทีต่อผิวเคลือบฟัน โดยใช้เทคนิคในการถอดแบร็กเกตที่เหมาะสมตามที่บริษัทผู้ผลิตแนะนำ หรือทำการลดค่ากำลังแรงยึดของแบร็กเกตลง โดยการเพิ่มการยึดแบบพันธะเชิงกล หรือลดการยึดแบบพันธะเคมีลง

นอกจากนี้การเลือกใช้วัสดุยึดที่ให้ค่าแรงยึดที่ต่ำ ร่วมกับการเพิ่มความหนาของวัสดุยึดก็จะเป็นการลดโอกาสที่จะทำให้เกิดอันตรายต่อผิวเคลือบฟันลง เนื่องจากค่ากำลังแรงยึดจะลดลงและไม่ควรใช้แบร็กเกตเซรามิกกับฟันที่มีรอยแตก, มีวัสดุอุดขนาดใหญ่หรือฟันซึ่งได้รับการรักษารากฟันและฟันที่มีผิวเคลือบฟันที่ผิดปกติ (enamel hypoplasia) เนื่องจากจะมีโอกาสการเกิดการแตกหักของผิวเคลือบฟันได้ง่าย

2. ปัญหาที่เกิดจากการถอดแบร็กเกตเซรามิกโดยการกรอ

เนื่องจากการถอดแบร็กเกตเซรามิกโดยการให้แรงกระทำต่อแบร็กเกตเพื่อให้หลุดออกจากตัวฟันอาจทำให้เกิดอันตรายต่อผิวเคลือบฟัน ดังนั้นการกรอแบร็กเกตเซรามิกโดยใช้หัวกรอความเร็วสูงจึงเป็นอีกทางเลือกหนึ่งในการถอดแบร็กเกตแต่อาจเกิดความร้อนซึ่งทำอันตรายต่อโพรงประสาทฟัน ทำให้ฟันตายได้ ดังนั้นจึงควรลดขนาดของแบร็กเกตเซรามิกที่จะต้องกรอลงโดยการตัดบริเวณปีกแบร็กเกตออกก่อน และหลีกเลี่ยงการเกิดความร้อนระหว่างการกรอโดยให้มีการใช้น้ำหล่อเลี้ยงตลอดเวลา (water coolant)

3. การสึกของด้านบดเคี้ยวหรือปลายฟันเมื่อสบกับแบร็กเกตเซรามิก

เนื่องจากแบร็กเกตเซรามิกมีความแข็งมากกว่าผิวเคลือบฟัน ดังนั้นเมื่อเกิดการสัมผัสระหว่างแบร็กเกตและฟันเป็นเวลานานจึงก่อให้เกิดการสึกของฟันขึ้น ดังนั้นจึงควรหลีกเลี่ยงการใช้

แบรกกเกตเซรามิกในผู้ป่วยที่มีการสบฟันลึก และควรตรวจดูตำแหน่งของแบรกกเกตภายหลังการติดแบรกกเกตว่าไม่มีฟันสบลงบนส่วนใด ๆ ของแบรกกเกตเซรามิก รวมทั้งควบคุมพาราฟังก์ชัน (parafuction habit) ในผู้ป่วยบางรายด้วย (Karamouzios et al. , 1997)

4. การมีแรงเสียดทานเพิ่มขึ้นทำให้การเคลื่อนฟันไปตามลวดช้าลง

เกิดเนื่องมาจากความขรุขระของผิวแบรกกเกต ในปัจจุบันมีการพัฒนา โดยทำให้ร่องของแบรกกเกตมีผิวที่เรียบยิ่งขึ้น หรือทำแบรกกเกตเซรามิกชนิดที่มีร่องเป็นโลหะ ทำให้แรงเสียดทานลดลง และทันตแพทย์ควรหลีกเลี่ยงการสูญเสียหลักยึดและการเพิ่มโอเวอร์ไบท์ (overbite)

5. การแตกของแบรกกเกตเซรามิก

เซรามิกมีคุณสมบัติที่แข็งแต่เปราะจึงเกิดการแตกหักได้ง่ายโดยเฉพาะบริเวณปีกของแบรกกเกต เนื่องจากการใช้ลวดผูกบริเวณปีกแบรกกเกตทำให้เกิดรอยขีดข่วน หรือการใช้ลวดที่มีขนาดใหญ่ หรือการใส่ทอร์คในลวดตั้งนั้นจึงควรหลีกเลี่ยงการผูกแบรกกเกตด้วยลวดและการทำทอร์ค โดยการใช้แบรกกเกตเซรามิกที่มีทอร์คภายในแบรกกเกตแทน

6. การเพิ่มความไม่สบายของผู้ป่วยขณะถอดแบรกกเกต

ปัญหานี้มีความสัมพันธ์กับค่ากำลังแรงยึดของแบรกกเกตเซรามิกที่มีค่าสูง ดังนั้นอาจหลีกเลี่ยงได้โดยเลือกใช้แบรกกเกตเซรามิก ที่ให้ค่ากำลังแรงยึดที่ไม่สูงเกินไป และให้ผู้ป่วยกัดบนสำลีหรือผ้าก๊อชขณะถอดแบรกกเกต

7. การใช้แบรกกเกตเซรามิกจะทำให้หมุนฟันได้จำกัด

ปัญหานี้มักเกิดขึ้นกับฟันหน้าล่าง เนื่องจากเป็นฟันซี่เล็ก ปีกทั้ง 4 ของแบรกกเกต ทำให้แบรกกเกตมีความอ่อนแอมากขึ้น ดังนั้นแบรกกเกตจะต้องมีขนาดใหญ่มากขึ้น เพื่อป้องกันการแตกหัก

8. ความเสี่ยงต่อการกลืนหรือหายใจเอาเศษของแบร็กเกตเข้าไปในหลอดลมหรือลำคอ

เนื่องจากแบร็กเกตเซรามิกมีความเปราะดังนั้นในขณะถอดแบร็กเกตจึงอาจเกิดการแตกหักของแบร็กเกตและมีเศษของแบร็กเกตตกลงสู่ลำคอผู้ป่วย ซึ่งจะทำการตรวจหาได้ยากเนื่องจากคุณสมบัติโปร่งแสงของเซรามิกให้ทำอาจก่อให้เกิดอันตรายต่อผู้ป่วยได้

ข้อแนะนำในการนำแบร็กเกตเซรามิกมาใช้งานในคลินิก

1. อายุของผู้ป่วย

ผู้ป่วยควรโตพอที่จะสามารถเข้าใจข้อจำกัดในการใช้และสามารถระมัดระวังได้โดยไม่ขาดความรับผิดชอบ กล่าวคือ ไม่ควรใช้ในผู้ป่วยเด็ก

2. บุคลิกภาพของผู้ป่วย

ผู้ป่วยมีความจำเป็นที่จะต้องใช้นี้เนื่องมาจากผู้ป่วยมีอาชีพที่ต้องปรากฏต่อสังคม

3. ลักษณะการสบฟันและตำแหน่งในช่องปาก

ห้ามใช้แบร็กเกตเซรามิกในผู้ป่วยที่มีการสบฟันลึกเพราะอาจทำให้เกิดการกระแทกหรือขัดถูกับฟันคู่สบเป็นเหตุให้เกิดการแตกและสึกของฟันคู่สบ นิยมใช้ในฟันหน้าบนซึ่งต้องการความสวยงาม และไม่มีการกระทบกระแทกของฟันคู่สบ

ในกรณีที่มีการสบฟันคร่อม (crossbite) ควรแก้ไขตำแหน่งที่ฟันสบคร่อมให้เรียบร้อยก่อนหรืออาจใช้วิธีใส่เครื่องมือจัดฟันแบบถอดได้ที่มีการยกไม่ให้ฟันสบกระแทก และทันตแพทย์ควรทำการตรวจอย่างสม่ำเสมอการลดระยะเวลาการรักษา เพื่อไม่ให้เกิดผลเสียดังกล่าว

4. ควรทำการอธิบายให้ผู้ป่วยทราบถึงผลดีและผลเสียที่อาจเกิดขึ้นได้เพื่อผู้ป่วยจะได้เพิ่มความระมัดระวังในการดูแลเครื่องมือจัดฟัน เป็นการลดโอกาสของความเสี่ยง

5. ทันตแพทย์ควรหลีกเลี่ยงการครูด หรือ การทำให้เกิดรอยขีดข่วนบนแบร็กเกต ขณะทำการรักษา การเปลี่ยนลวดโค้งทันตกรรมควรทำด้วยความระมัดระวัง หลีกเลี่ยงการเพิ่มทอร์คอย่างรวดเร็วในลวด หรือใช้แบร็กเกตที่มีทอร์คในตัว ควรใช้อย่างในการมัดลวดให้ติดกับแบร็กเกตแทนการผูกด้วยลวด และควรทำการถอดแบร็กเกตด้วยความนุ่มนวลและใช้วิธีที่ถูกต้อง

กล่าวคือ ทัศนแพทย์ต้องใช้ความรู้ความสามารถในการพิจารณาผลดีความจำเป็นในการใช้ของผู้ป่วยและข้อเสียที่อาจเกิดขึ้นด้วยความระมัดระวัง เพื่อให้สามารถตัดสินใจเลือกใช้แบรคเกตได้ถูกต้องตามความเหมาะสมและบรรลุผลสำเร็จตามวัตถุประสงค์



สถาบันวิทยบริการ
จุฬาลงกรณ์มหาวิทยาลัย

บทที่ 3

ระเบียบวิธีวิจัย

ประชากร

ประชากรของการวิจัยเป็นแบรกดัดของฟันกรามน้อยซึ่งมีบริษัทตัวแทนจำหน่ายในประเทศไทย ได้แก่

- 1.แบรกดัดเซรามิกของฟันกรามน้อยแบบมาตรฐานของบริษัท 3M Unitek ที่มีชื่อทางการค้าว่า Transcend series 6000
- 2.แบรกดัดเซรามิกของฟันกรามน้อยแบบมาตรฐานของบริษัท Tomy ที่มีชื่อทางการค้าว่า Crystalline
- 3.แบรกดัดเซรามิกของฟันกรามน้อยแบบมาตรฐานของบริษัท American Orthodontics ที่มีชื่อทางการค้าว่า 20/40m
- 4.แบรกดัดเหล็กกล้าไร้สนิมของฟันกรามน้อยแบบมาตรฐานของบริษัท 3M Unitek ที่มีชื่อทางการค้าว่า Dyna-lock

กลุ่มตัวอย่าง

กลุ่มตัวอย่างของการวิจัยเป็นแบรกดัดที่ใช้สำหรับฟันกรามน้อยจำนวน 120 ชิ้นซึ่งได้จากการสุ่มแบบเฉพาะเจาะจง (Purposive sampling) โดยเจาะจงบริษัทผู้ผลิตและเจาะจงใช้แบรกดัดสำหรับฟันกรามน้อยโดยแบ่งเป็นกลุ่มตัวอย่างละ 30 ตัว (Fox, McCabe, and Buckley, 1994) ประกอบด้วย

1. แบรกดัดเซรามิกของฟันกรามน้อยแบบมาตรฐานรุ่น Transcend series 6000 ของบริษัท 3M Unitek ซึ่งมีลักษณะของฐานเป็นอนุภาคคล้ายคริสตอลเชื่อมที่ฐาน
2. แบรกดัดเซรามิกของฟันกรามน้อยแบบมาตรฐานรุ่น Crystalline ของบริษัท Tomy ซึ่งมีลักษณะของฐานเป็นหลุมขนาดเล็ก
- 3.แบรกดัดเซรามิกของฟันกรามน้อยแบบมาตรฐานรุ่น 20/40m ของบริษัท American Orthodontics ซึ่งมีลักษณะของฐานเป็นร่องซึ่งแบรกดัดเซรามิกทุกชิ้นมีความกว้างของร่องแบรกดัดเท่ากับ 0.018×0.025 นิ้ว
4. แบรกดัดเหล็กกล้าไร้สนิมของฟันกรามน้อยแบบมาตรฐานรุ่น Dyna-lock ของบริษัท 3M Unitek ซึ่งมีลักษณะของฐานเป็นร่องในแนวนอนร่วมกับร่องรูปตัววี และแบรกดัดทุกชิ้นมีความกว้างของร่องแบรกดัด เท่ากับ 0.018×0.025 นิ้ว

การรวบรวมข้อมูล

1. หาค่ากำลังแรงยึดแบบเฉือน/ปอกของแบร็กเกตเซรามิกและแบร็กเกตเหล็กกล้าไร้สนิม ด้วยการวัดค่ากำลังแรงยึดแบบเฉือน/ปอกโดยใช้เครื่องทดสอบแรงทั่วไป
2. ตรวจสอบบริเวณที่มีความล้มเหลวของการยึดติดโดยใช้กล้องจุลทรรศน์สามมิติ

เครื่องมือที่ใช้ในการวิจัย

1. เครื่องทดสอบแรงทั่วไป (Instron universal testing machine ID 5566H1612 Instron Corp., U.S.A) เป็นเครื่องมือศึกษาคุณสมบัติเชิงกล (Mechanical properties) ของวัสดุโดยวัดค่าเป็นแรง ซึ่งมี 4 ลักษณะ คือ แรงดึง แรงอัด แรงตัดโค้ง และแรงบิดเพื่อใช้ทดสอบค่ากำลังแรงยึดของแบร็กเกต โดยมีหน่วยของค่ากำลังแรงยึดเป็นเมกะปาสคาล ส่วนประกอบของเครื่องมือดังนี้

1.1 Fixed head เป็นส่วนของเครื่องมือที่อยู่กับที่ เป็นส่วนที่ใช้ในการจับชิ้นงานในการทดลองซึ่งบรรจุอยู่ในท่อพีวีซี

1.2 Cross head เป็นส่วนหนึ่งของเครื่องมือซึ่งเคลื่อนที่ และทำให้เกิดแรงต่อวัสดุ มีตุ้มน้ำหนัก (Load cell) ให้เลือกได้หลายขนาดตามชิ้นงานที่ทดสอบ ในงานวิจัยนี้ใช้ตุ้มน้ำหนักขนาด 10 กิโลนิวตัน เลือกใช้ความเร็ว 0.5 มิลลิเมตรต่อนาที

1.3 Pneumatic grip คือส่วนที่ทำหน้าที่ในการจับชิ้นงานของ Fixed head และ Cross head ซึ่งทำงานโดยใช้แรงอัดของลม 20 กิโลกรัมต่อตารางเซนติเมตร

2. เครื่องมือช่วยในการจับชิ้นงานและช่วยในการดึงของเครื่องทดสอบแรงทั่วไป ประกอบด้วย

2.1 ส่วนที่ติดกับ Fixed head ของเครื่อง เป็นส่วนที่ใช้ในการจับตัวอย่างฟันที่ใช้ในการทดลองซึ่งบรรจุอยู่ในท่อพีวีซี

2.2 ส่วนที่ติดกับ Cross head ของเครื่องเป็นส่วนที่ใช้เป็นตัวกลางในการยึดระหว่างแผ่นเหล็กที่ใช้ในการดึงกับส่วน Cross head ของเครื่อง

2.3 แผ่นเหล็กที่ใช้ในการดึง มีลักษณะเป็นแผ่นเหล็ก ซึ่งได้เจาะช่องสี่เหลี่ยมไว้ตรงกลาง ส่วนบนมีช่องสำหรับสวมเข้ากับเดือยของส่วนที่ติดอยู่กับ Cross head เพื่อให้สามารถปรับระยะของแผ่นเหล็กนี้ให้สัมพันธ์กับตัวอย่างที่จะทำการทดลอง

การใช้เครื่องมือในการทดลองกระทำได้โดย

ก. นำตัวอย่างที่ได้เตรียมไว้ใส่ลงในช่องของเครื่องมือที่ติดกับ Fixed head

ข. เลื่อนส่วนของ Cross head ขึ้นไปจนกระทั่งขอบในของช่องสี่เหลี่ยมของแผ่นเหล็กที่ใช้ตั้งอยู่ได้ขบลงของตัวอย่าง

ค. ปรับแนวแกนพื้นจนกระทั่งแนวปีกของแบรกกेटด้านบดเคี้ยวขนานกับขอบด้านในของแผ่นเหล็กที่ใช้ในการตั้ง เพื่อให้ปีกของแบรกกेटสัมผัสกับแผ่นเหล็กที่ใช้ในการตั้งพร้อม ๆ กันในระหว่างการทดลอง จากนั้นจึงยึดชิ้นงานตัวอย่างด้วยการไขสกรูว์ที่ใช้ในการจับยึดให้แน่น

ง.เดินเครื่องให้ Cross head เคลื่อนที่ขึ้น เพื่อทำการวัดแรงเฉือน/ปอกที่เกิดขึ้นกับแบรกกेटเซรามิกบนพื้นตัวอย่าง

3. เครื่องมือที่สามารถกำหนดแรงที่ใช้ในการติดแบรกกेट เป็นเครื่องมือที่ประดิษฐ์ขึ้นเพื่อให้สามารถกำหนดแรงในการติดแบรกกेटทุกตัวที่ใช้ในการทดลองด้วยแรงขนาด 2 ออนซ์ (Piyathida Chittanandha, 1997)

4. ตู้อินคิวเบเตอร์ (Incubator : Memmert model 600 Gmbh Co., West Germany) ใช้ควบคุมอุณหภูมิของกลุ่มตัวอย่างที่ 37 องศาเซลเซียส

5. กล้องจุลทรรศน์สามมิติ (Stereomicroscope : Olympus SZH10, Japan) เป็นกล้องจุลทรรศน์ที่ใช้แสงส่องกระทบบนผิวของตัวอย่างที่ต้องการทดสอบเพื่อให้เห็นลักษณะพื้นผิวปรากฏเป็นภาพขยายที่สามารถมองเห็นด้วยตาเปล่าชัดเจนยิ่งขึ้น ใช้เพื่อตรวจดูบริเวณที่เกิดความล้มเหลวในการยึดติด

6. กล้องจุลทรรศน์อิเล็กตรอนชนิดส่องกราด (Scanning Electron Microscope : JEOL JSM-5410LV, Japan) เป็นกล้องจุลทรรศน์ ที่ใช้ลำแสงอิเล็กตรอนฉายหรือส่องกราดไปบนผิวของตัวอย่างที่ต้องการจะตรวจสอบให้ได้ ข้อมูลของลักษณะพื้นผิวปรากฏเป็นภาพขยายที่สามารถมองเห็นด้วยตาเปล่าชัดเจนในขณะเดียวกันก็สามารถบันทึกภาพดังกล่าวลงบนแผ่นฟิล์ม ในงานวิจัยนี้ใช้เพื่อตรวจดูลักษณะโดยละเอียดของฐานแบรกกेटที่มีลักษณะของฐานที่แตกต่างกัน

7. เครื่องฉาบผิวทอง (Fine coater : JOEL JFC-1200, Japan) เป็นเครื่องสำหรับฉาบทองบนชิ้นงานตัวอย่างก่อนนำไปส่องกล้องจุลทรรศน์อิเล็กตรอนชนิดส่องกราด

ขั้นตอนการทดลอง

1. นำแบร็กเกตเซรามิกและแบร็กเกตเหล็กกล้าไร้สนิมที่ใช้ในการทดลองทั้ง 4 กลุ่มไปตรวจดูลักษณะของฐานแบร็กเกตด้วยกล้องจุลทรรศน์อิเล็กตรอนชนิดส่องกราด
2. ทำความสะอาดฟันกรามน้อย ที่จะนำมาทดลองโดยทำการล้างคราบเลือด ขูดเศษเนื้อเยื่อรอบๆ ปลายรากฟันให้สะอาด ใช้หัวกรอความเร็วสูงตัดส่วนของรากฟันออก 2 ใน 3 ส่วน ให้เหลือส่วนของตัวฟันติดอยู่กับรากฟันเล็กน้อย แซ่ฟันที่ทำความสะอาดเรียบร้อยแล้วในน้ำกลั่นที่อุณหภูมิ 4 องศาเซลเซียส (Fox et al. , 1994)
3. ตรวจดูผิวเคลือบฟันด้านใกล้แก้มของฟันกรามน้อยว่าปราศจากรอยร้าว (crack), รอยขาวขุ่นและรอยโรคใดๆด้วยกล้องจุลทรรศน์สามมิติ
4. ขัดผิวเคลือบฟันด้านใกล้แก้มของฟันที่จะนำมาทดลองด้วยผงขัดชนิดละเอียดผสมน้ำด้วยเครื่องกรอช้าและหัวขัดยางประมาณ 10 วินาที (Gorelick et al., 1978) ล้างน้ำให้สะอาด เป่าให้แห้งด้วยอากาศแห้ง
5. นำตัวอย่างฟันมาติดกับพลาสติกหนา 3 มิลลิเมตร ขนาด 6x6 เซนติเมตร ด้วยกาวพลาสติก โดยให้ผิวฟันด้านใกล้แก้มหันขึ้นและขนานกับระนาบของแผ่นพลาสติก เพื่อความสะดวกในการจับชิ้นงานตัวอย่าง
6. ใช้กรดฟอสฟอริกความเข้มข้นร้อยละ 37 กัดผิวเคลือบฟันด้านใกล้แก้ม เป็นเวลา 60 วินาที แล้วจึงล้างออกด้วยสเปรย์น้ำ เป็นเวลา 15 วินาที เป่าให้แห้งด้วยอากาศแห้ง จะสังเกตเห็นผิวเคลือบฟันด้านใกล้แก้มมีสีขาวขุ่น
7. ผสมบอนด์เรซิน ในชุดของ Concise ของบริษัท 3M Corporation เป็นเวลา 5 วินาที ใช้ฟุ้งกันป้ายบอนด์เรซินที่บริเวณผิวเคลือบฟันด้านใกล้แก้มซึ่งจะติดแบร็กเกต
8. ผสม paste ของ Concise ในเวลา 20 วินาที ป้ายที่บริเวณส่วนฐานของแบร็กเกต ใช้เครื่องมือกำหนดแรงในการติดแบร็กเกตกดแบร็กเกตให้แนบกับบริเวณกึ่งกลางตัวฟันด้านใกล้แก้มให้มากที่สุดด้วยแรงประมาณ 2 ออนซ์เป็นเวลา 10 วินาที กำจัดวัสดุยึดส่วนเกินออกทิ้งไว้นาน 15 นาที (Yamada et al. , 1988)

9. ใส่ลวดเหล็กกล้าไร้สนิม ที่ใช้ทางทันตกรรมจัดฟันขนาด 0.018 นิ้วx0.025 นิ้ว ความยาว 5 เซนติเมตร ลงในร่องแบรคเกตแล้วยึดด้วยยางสำหรับยึดลวด เพื่อป้องกันการเคลื่อนตัวของปีกแบรคเกต และเพื่อจัดตำแหน่งฟันในท่อพีวีซี
10. เตรียมท่อพีวีซี เส้นผ่าศูนย์กลางภายนอก 4 เซนติเมตร ความหนา 1 มิลลิเมตร สูง 1.2 เซนติเมตรโดยความสูงของท่อจะเพิ่มขึ้นตามความหนาของแบรคเกต (Chung et al. , 1997) ยึดลวดทางทันตกรรมจัดฟันซึ่งติดอยู่กับแบรคเกตบนท่อพีวีซี
11. เตรียมท่อพีวีซีชั้นที่สอง เส้นผ่าศูนย์กลาง 2.5 เซนติเมตร สูง 1 เซนติเมตร หนา 1 มิลลิเมตร นำฟันซึ่งยึดไว้กับท่อพีวีซีชั้นที่หนึ่งมาฝังลงในท่อพีวีซีชั้นที่สองด้วยอะคริลิกเรซิน โดยวางท่อพีวีซีชั้นที่หนึ่งครอบท่อพีวีซีชั้นที่สอง เมื่อเสร็จสิ้นแล้วจะได้ชิ้นงานคือ ฟันซึ่งมีแบรคเกตยึดอยู่และฝังอยู่ในท่อพีวีซีด้วยอะคริลิกเรซิน โดยฐานแบรคเกตขนานกับพื้นที่หน้าตัดของท่อพีวีซี ผิวฟันด้านใกล้แก้มซึ่งยึดติดกับแบรคเกตอยู่เหนือระนาบของท่อพีวีซี 2 มิลลิเมตร
12. นำชิ้นงานตัวอย่างไปเก็บไว้ในน้ำ อุณหภูมิ 37 องศาเซลเซียส เป็นเวลา 24 ชั่วโมง ควบคุมอุณหภูมิโดยใช้ตู้ควบคุมอุณหภูมิ (International Standard Organization, 1994)
13. วัดค่ากำลังแรงยึดระหว่างแบรคเกตกับผิวฟันในแต่ละกลุ่มตัวอย่าง โดยใช้เครื่องทดสอบแรงทั่วไป
14. นำฟันและแบรคเกตในกลุ่มตัวอย่างซึ่งผ่านการทดสอบค่ากำลังแรงยึดแล้วมาตรวจสอบบริเวณที่เกิดความล้มเหลวของการยึดติดด้วยกล้องจุลทรรศน์สามมิติ และนับจำนวนซี่ฟันจำแนกตามบริเวณที่เกิดความล้มเหลวในการยึดติดซึ่งแบ่งออกเป็น 5 บริเวณ (Alexander et al., 1993; Jou et al. , 1995) โดยมีทันตแพทย์ 2 คน ที่มีความรู้ความสามารถใกล้เคียงกันเป็นผู้พิจารณา



รูปที่ 15 ลักษณะของฐานแบรกดกตที่ใช้ในการวิจัย

สถาบันวิทยบริการ
จุฬาลงกรณ์มหาวิทยาลัย



รูปที่ 16 แสดงเครื่องทดสอบแรงทั่วไป Instron ID 5566H1612



รูปที่ 17 แสดง Fixed head และ Cross head ของเครื่องทดสอบแรงทั่วไป

Instron ID 5566H1612



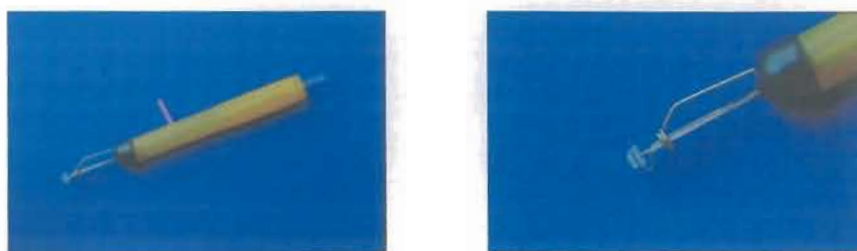
รูปที่ 18 แสดง Pneumatic grip ของเครื่องทดสอบแรงทั่วไป



รูปที่ 19 แสดงตุ้มน้ำหนักขนาด 10 กิโลนิวตัน



รูปที่ 20 แสดงเครื่องมือช่วยในการจับชิ้นงาน



รูปที่ 21 แสดงเครื่องมือที่สามารถกำหนดแรงที่ใช้ในการติดแบร็กเกด



รูปที่ 22 แสดงตู้อินคิวเบเตอร์ Memmert model 600GmbH



รูปที่ 23 แสดงกล้องจุลทรรศน์สามมิติ Olympus SZH10



รูปที่ 24 แสดงกล้องจุลทรรศน์อิเล็กตรอนชนิดส่องกราด JEOL JSM-5410LV



รูปที่ 25 แสดงเครื่องฉาบผิวทอง JOEL JFC-1200



รูปที่ 26 แสดงเครื่องกรอใส่หัวขัดยางรูปถ้วย และผงขัดชนิดละเอียด



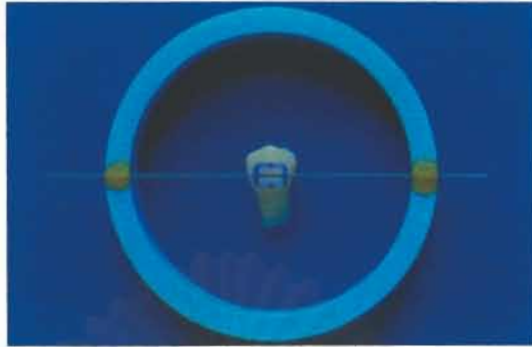
รูปที่ 27 แสดงกรดฟอสฟอริกความเข้มข้นร้อยละ 37 และวัสดุยึด Concise



รูปที่ 28 แสดงฟันกรามน้อยติดกับแผ่นพลาสติกโดยผิวพื้นด้านใกล้แก้มหันขึ้น และขนานกับระนาบของแผ่นพลาสติก



รูปที่ 29 แสดงการยึดลวดเหล็กกล้าไร้สนิมขนาด 0.018x0.025 นิ้ว ในร่องของแบรคเกตเพื่อจัดตำแหน่งฟันในท่อพีวีซี



รูปที่ 30 แสดงการยึดฟันที่ติดแบรคเกตแล้วกับท่อพีวีซีชั้นที่หนึ่ง



รูปที่ 31 แสดงการวางท่อพีวีซีชั้นที่หนึ่งซ้อนทับท่อพีวีซีชั้นที่สอง



รูปที่ 32 แสดงชิ้นงานตัวอย่างที่พร้อมสำหรับการทดสอบ



รูปที่ 33 แสดงชิ้นงานตัวอย่างที่ร่องของแบรกกเกตขนานกับแนวระนาบ



รูปที่ 34 แสดงการยึดเครื่องมือในการวิจัยด้วยเครื่องทดสอบแรงทั่วไป



รูปที่ 35 แสดงลักษณะของเครื่องมือที่ออกแรงกระทำต่อแบรกกเกต
ในการทดสอบด้วยเครื่อง Instron

ตัวแปรของการวิจัย

1. ตัวแปรอิสระ (independent variable)

ตัวแปรอิสระในการวิจัยครั้งนี้คือ ลักษณะของฐานแบรกดัดซึ่งมีลักษณะแตกต่างกัน ดังนี้

1.1 ลักษณะของฐานแบรกดัดเซรามิกแบบอนุภาคคล้ายคริสตัลเชื่อมที่ ได้แก่ แบรกดัดเซรามิกที่มีชื่อทางการค้าว่า Transcend series 6000 ของบริษัท 3M Unitek

1.2 ลักษณะของฐานแบรกดัดเซรามิกแบบหลุมขนาดเล็ก ได้แก่ แบรกดัดเซรามิกที่มีชื่อทางการค้าว่า Crystalline ของบริษัท Tomy

1.3 ลักษณะของฐานแบรกดัดเซรามิกแบบร่อง ได้แก่ แบรกดัดเซรามิกที่มีชื่อทางการค้าว่า 20/40m ของบริษัท American Orthodontics

1.4 ลักษณะของฐานแบรกดัดเหล็กกล้าไร้สนิมแบบร่องในแนวนอนร่วมกับร่องรูปตัววี ได้แก่ แบรกดัดเหล็กกล้าไร้สนิมที่มีชื่อทางการค้าว่า Dyna-lock ของบริษัท 3M Unitek

2. ตัวแปรตาม (dependent variable)

ตัวแปรตามของการวิจัยครั้งนี้ คือ

2.1 กำลังแรงยึดแบบเฉือน/ปอก ซึ่งได้จากการคำนวณขนาดของแรงต่อหนึ่งหน่วยพื้นที่ มีหน่วยเป็นเมกะปาสคาล

2.2 บริเวณที่มีความล้มเหลวของการยึดติด แบ่งเป็น 5 บริเวณดังนี้

2.2.1 บริเวณภายในผิวเคลือบฟัน

2.2.2 บริเวณระหว่างผิวเคลือบฟันและวัสดุยึด

2.2.3 บริเวณภายในวัสดุยึด

2.2.4 บริเวณระหว่างแบรกดัดและวัสดุยึด

2.2.5 บริเวณภายในแบรกดัด

สถาบันวิทยบริการ
จุฬาลงกรณ์มหาวิทยาลัย

การวิเคราะห์ข้อมูล

1. การทดสอบความแตกต่างของค่าเฉลี่ยกำลังแรงยึดแบบเนียน/ปอกของแบริกเกตเซรามิกที่มีลักษณะของฐานต่างกัน ใช้สถิติการวิเคราะห์ความแปรปรวนแบบทิศทางเดียวที่ระดับนัยสำคัญทางสถิติ 0.05 (Baumgardner, 1997) ถ้าผลของการวิเคราะห์มีความแตกต่างกัน ทดสอบความแตกต่างของแต่ละคู่ด้วยการทดสอบเชฟเฟ่

2. การทดสอบความแตกต่างของบริเวณที่มีการล้มเหลวของการยึดของแบริกเกตเซรามิกที่มีลักษณะของฐานต่างกัน ใช้สถิติการทดสอบของครัสคาล-วอลลิส (Kruskal-Wallis test) ที่ระดับนัยสำคัญทางสถิติ 0.05 (Baumgardner, 1997)



สถาบันวิทยบริการ
จุฬาลงกรณ์มหาวิทยาลัย

บทที่ 4

ผลการวิเคราะห์ข้อมูล

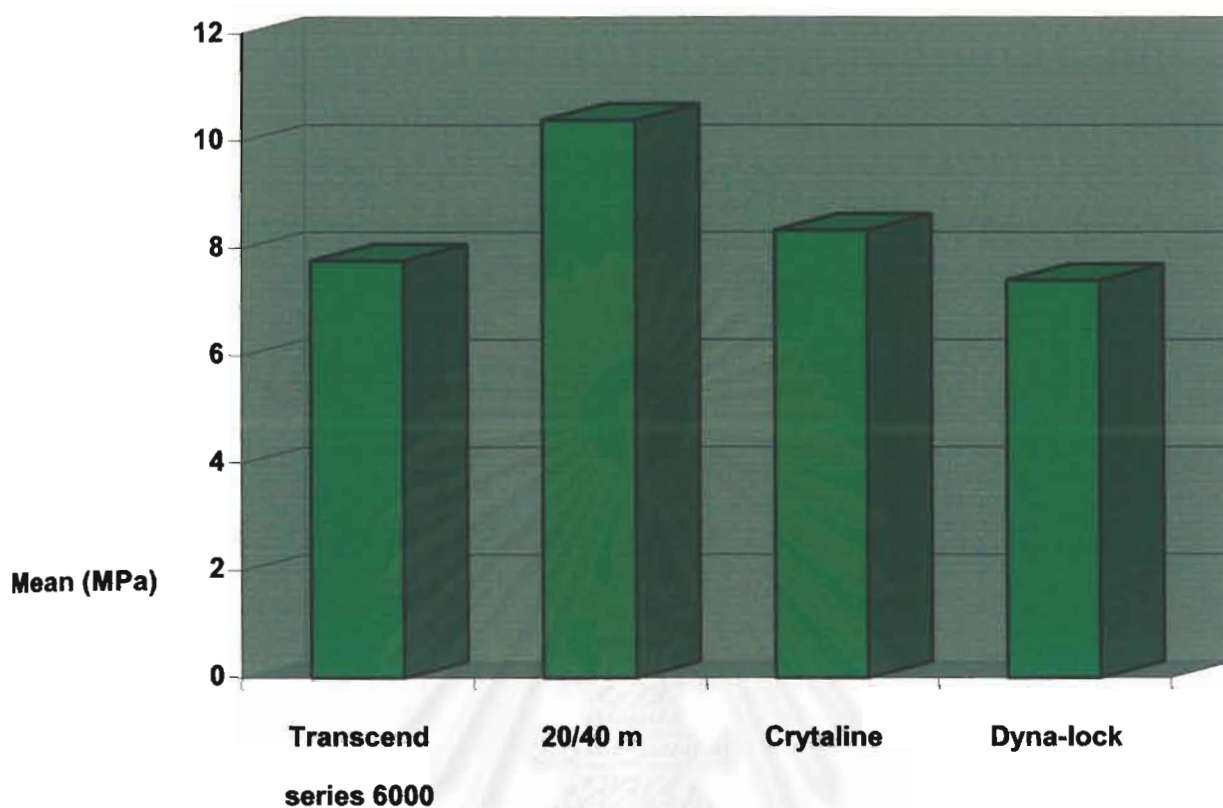
1. การศึกษากำลังแรงยึดแบบเนียน/ปอก ของแบร็กเกตเซรามิกชนิดโพลีคริสตอลไลน์อะลูมินา ซึ่งมีการยึดติดแบบพันธะเชิงกลแตกต่างกัน 3 ชนิด ได้แก่ แบร็กเกตเซรามิกที่มีลักษณะฐานแบร็กเกตเป็นอนุภาคคล้ายคริสตอลเชื่อมที่ฐาน, แบร็กเกตเซรามิกที่มีลักษณะฐานแบร็กเกตเป็นร่อง และแบร็กเกตเซรามิกที่มีลักษณะฐานแบร็กเกตเป็นหลุมขนาดเล็ก เปรียบเทียบกับกลุ่มควบคุมซึ่งเป็นแบร็กเกตเหล็กกล้าไร้สนิมซึ่งมีการยึดติดแบบพันธะเชิงกลที่มีลักษณะฐานแบร็กเกตเป็นร่องในแนวนอนร่วมกับร่องรูปตัววี โดยกรตที่ใช้คือ กรดฟอสฟอริกความเข้มข้นร้อยละ 37 และวัสดุยึดที่ใช้คือ Concise

ผลการทดลองได้ค่าเฉลี่ย (mean) และส่วนเบี่ยงเบนมาตรฐาน (standard deviation) ของค่ากำลังแรงยึดแบบเนียน/ปอก ดังตารางที่ 4 และ แสดงเป็นแผนภูมิแท่งดังรูปที่ 36 ซึ่งมีรายละเอียดดังต่อไปนี้

- 1.1 แบร็กเกตเซรามิกชนิดโพลีคริสตอลไลน์อะลูมินา ของบริษัท 3M Unitek ซึ่งมีชื่อทางการค้าว่า Transcend series 6000 มีลักษณะฐานแบร็กเกตเป็นอนุภาคคล้ายคริสตอลเชื่อมที่ฐาน มีค่าเฉลี่ยกำลังแรงยึดแบบเนียน/ปอก 7.77 MPa และส่วนเบี่ยงเบนมาตรฐาน 0.98
- 1.2 แบร็กเกตเซรามิกชนิดโพลีคริสตอลไลน์อะลูมินา ของบริษัท Tomy ซึ่งมีชื่อทางการค้าว่า Crystalline มีลักษณะฐานแบร็กเกตเป็นหลุมขนาดเล็ก มีค่าเฉลี่ยกำลังแรงยึดแบบเนียน/ปอก 8.34 MPa และส่วนเบี่ยงเบนมาตรฐาน 1.32
- 1.3 แบร็กเกตเซรามิกชนิดโพลีคริสตอลไลน์อะลูมินา ของบริษัท American Orthodontics ซึ่งมีชื่อทางการค้าว่า 20/40m มีลักษณะฐานแบร็กเกตเป็นร่อง มีค่าเฉลี่ยกำลังแรงยึดแบบเนียน/ปอก 10.39 MPa และส่วนเบี่ยงเบนมาตรฐาน 1.43
- 1.4 แบร็กเกตเหล็กกล้าไร้สนิม ของบริษัท 3M Unitek ซึ่งมีชื่อทางการค้าว่า Dyna-lock มีลักษณะฐานแบร็กเกตเป็นร่องในแนวนอนร่วมกับร่องรูปตัววี มีค่าเฉลี่ยกำลังแรงยึดแบบเนียน/ปอก 7.41 MPa และส่วนเบี่ยงเบนมาตรฐาน 0.99

การวิเคราะห์ทางสถิติทดสอบความแตกต่างของค่าเฉลี่ยกำลังแรงยึดแบบเนียน/ปอกของแบร็กเกตเซรามิกทั้ง 3 ชนิด และแบร็กเกตเหล็กกล้าไร้สนิม 1 ชนิด โดยการใช้สถิติวิเคราะห์ความแปรปรวนแบบทิศทางเดียวที่ระดับนัยสำคัญทางสถิติ 0.05 มีรายละเอียดดังตารางที่ 9 (ภาคผนวก) ซึ่งผลการวิเคราะห์เป็นดังนี้

SHEAR/PEEL BOND STRENGTH



BRACKET TYPES

รูปที่ 36 แผนภูมิแท่งแสดงค่าเฉลี่ยกำลังแรงยึดแบบเฉือน/ลอกของแบริกเกตเซรามิก 3 ชนิด และแบริกเกตเหล็กกล้าไร้สนิม

1. มีความแตกต่างอย่างมีนัยสำคัญทางสถิติของค่าเฉลี่ยกำลังแรงยึดแบบเฉือน/ลอกของแบริกเกตเซรามิกทั้ง 3 ชนิด และแบริกเกตเหล็กกล้าไร้สนิม

2. การวิเคราะห์ความแตกต่างของค่าเฉลี่ยกำลังแรงยึดแบบเฉือน/ลอกของแบริกเกตเซรามิก 3 ชนิดที่มีลักษณะของฐานแตกต่างกันและแบริกเกตเหล็กกล้าไร้สนิม ภายหลังจากการปฏิเสหสมมติฐานคือ ผลของการวิเคราะห์มีความแตกต่างกัน ใช้วิธีการทดสอบความแตกต่างของแต่ละคู่ด้วยการทดสอบเซฟเฟ้ ที่ระดับนัยสำคัญทางสถิติ 0.05 ดังรายละเอียดในตารางที่ 10 และ 11 (ภาคผนวก) กล่าวคือ มีความแตกต่างอย่างมีนัยสำคัญทางสถิติระดับ 0.05 ระหว่างแบริกเกตเหล็กกล้าไร้สนิม Dyna-lock และแบริกเกตเซรามิก 20/40m และCrystalline และพบว่า มีความแตกต่างระหว่างแบริกเกตเซรามิก 20/40 m และแบริกเกตเซรามิก Transcend series 6000 และ Crystalline อย่างมีนัยสำคัญทางสถิติที่

ระดับ 0.05 แต่ไม่มีความแตกต่างอย่างมีนัยสำคัญทางสถิติระหว่างแบร็กเกตเหล็กกล้าไร้สนิม Dyna-lock และแบร็กเกตเซรามิก Transcend series 6000 และระหว่างแบร็กเกตเซรามิก Crytaline และแบร็กเกตเซรามิก Transcend series 6000

3.เมื่อเปรียบเทียบผลการศึกษาค่าเฉลี่ยกำลังแรงยึดแบบเนียน/ปอกของแบร็กเกตเหล็กกล้าไร้สนิม และแบร็กเกตเซรามิกทั้ง 3 ชนิด พบว่า แบร็กเกตเซรามิกทั้ง 3 ชนิดให้ค่ากำลังแรงยึดที่เพียงพอที่จะรับแรงในทางทันตกรรมจัดฟัน โดยทุกกลุ่มมีค่ากำลังแรงยึดแบบเนียน/ปอกมากกว่าค่ากำลังแรงยึดแบบเนียน/ปอกในกลุ่มแบร็กเกตเหล็กกล้าไร้สนิมซึ่งเป็นกลุ่มควบคุม

ตารางที่ 4 แสดงค่าเฉลี่ย (Mean) กำลังแรงยึดแบบเนียน/ปอก (MPa) และส่วนเบี่ยงเบนมาตรฐาน (S.D.)

ชนิดแบร็กเกต	ค่าเฉลี่ยกำลังแรงยึดแบบเนียน/ปอก (MPa)	ส่วนเบี่ยงเบนมาตรฐาน (S.D.)
Transcend series 6000	7.77 ^{ad}	0.98
20/40m	10.39 ^b	1.43
Crytaline	8.34 ^{ac}	1.32
Dyna-lock	7.41 ^d	0.99

ตัวอักษรภาษาอังกฤษ หมายถึง ไม่มีความแตกต่างอย่างมีนัยสำคัญทางสถิติ ($p < 0.05$) ; a= transcend series 6000; b= 20/40m; c= crytaline; d= dyna-lock

4.ผลการตรวจฟันและแบร็กเกตเพื่อพิจารณาบริเวณที่เกิดความล้มเหลวของการยึดติดด้วยกล้องจุลทรรศน์สามมิติ กำลังขยาย 30 เท่าภายหลังจากการทดสอบหาค่ากำลังแรงยึดด้วยเครื่องมือทดสอบแรงทั่วไป โดยใช้ค่าดัชนีการเหลืออยู่ของวัสดุยึด (Adhesive Remnant Index = ARI) ได้ผลดังแสดงในตารางที่ 5 และแสดงเป็นแผนภูมิแท่งดังรูปที่ 37 ซึ่งมีรายละเอียดดังต่อไปนี้

4.1 แบร็กเกตเซรามิก Transcend series 6000 ของบริษัท 3M Unitek ซึ่งมีลักษณะฐานแบร็กเกตเป็นอนุภาคคล้ายคริสตอลเชื่อมที่ฐาน จะให้ค่าดัชนีการเหลืออยู่ของวัสดุยึดเรียงตามลำดับจากมากไปน้อยดังต่อไปนี้

บริเวณระหว่างแบร็กเกตและวัสดุยึด	21	ซี่
บริเวณภายในวัสดุยึด	8	ซี่
บริเวณระหว่างผิวเคลือบฟันและวัสดุยึด	1	ซี่

โดยไม่พบบริเวณที่เกิดความล้มเหลวในการยึดติดภายในแบร็กเกตและภายในผิวเคลือบฟัน

4.2 แบริกเกตเซรามิก 20/40 m ของบริษัท American Orthodontics ซึ่งมีลักษณะฐาน
 แบริกเกตเป็นร่อง จะให้ค่าดัชนีการเหลืออยู่ของวัสดุยึด เรียงตามลำดับจากมากไป
 น้อยดังต่อไปนี้

บริเวณระหว่างแบริกเกตและวัสดุยึด	16	ซี่
บริเวณระหว่างผิวเคลือบฟันและวัสดุยึด	10	ซี่
บริเวณภายในวัสดุยึด	4	ซี่

โดยไม่พบบริเวณที่เกิดความล้มเหลวในการยึดติดภายในแบริกเกตและภายในผิว
 เคลือบฟัน

4.3 แบริกเกตเซรามิก Crystalline ของบริษัท Tomy ซึ่งมีลักษณะฐานแบริกเกตเป็นหลุม
 ขนาดเล็ก จะให้ค่าดัชนีการเหลืออยู่ของวัสดุยึด เรียงตามลำดับจากมากไปน้อยดังต่อ
 ไปนี้

บริเวณระหว่างแบริกเกตและวัสดุยึด	19	ซี่
บริเวณภายในวัสดุยึด	6	ซี่
บริเวณระหว่างผิวเคลือบฟันและวัสดุยึด	5	ซี่

โดยไม่พบบริเวณที่เกิดความล้มเหลวในการยึดติดภายในแบริกเกตและภายในผิว
 เคลือบฟัน

4.4 แบริกเกตเหล็กกล้าไร้สนิม Dyna-lock ของบริษัท 3M Unitek ซึ่งมีลักษณะฐาน
 แบริกเกตเป็นร่องในแนวนอนและร่องรูปตัววี จะให้ค่าดัชนีการเหลืออยู่ของวัสดุยึด เรียง
 ตามลำดับจากมากไปน้อยดังต่อไปนี้

บริเวณระหว่างแบริกเกตและวัสดุยึด	20	ซี่
บริเวณระหว่างผิวเคลือบฟันและวัสดุยึด	7	ซี่
บริเวณภายในวัสดุยึด	3	ซี่

โดยไม่พบบริเวณที่เกิดความล้มเหลวในการยึดติดภายในแบริกเกตและภายในผิว
 เคลือบฟัน

จุฬาลงกรณ์มหาวิทยาลัย

ตารางที่ 5 แสดงบริเวณที่เกิดความล้มเหลวในการยึดติดภายหลังจากการหลุดของแบรacketเซรามิกที่มีลักษณะของฐานแตกต่างกัน 3 ชนิด และแบรacketเหล็กกล้าไร้สนิม

Adhesive Remnant Index (ARI)					
Type of Bracket	EF (%)	EA (%)	CO (%)	BA (%)	BF (%)
Transcend series 6000	0 (0 %)	1 (3.3 %)	8 (26.7 %)	21 (70 %)	0 (0 %)
20/40 m	0 (0 %)	10 (33.3 %)	4 (13.3 %)	16 (53.3 %)	0 (0 %)
Crytaline	0 (0 %)	5 (16.7 %)	6 (20 %)	19 (63.3 %)	0 (0 %)
Dyna-lock	0 (0 %)	7 (23.3 %)	3 (10 %)	20 (66.7 %)	0 (0 %)

EF = บริเวณภายในผิวเคลือบฟัน

EA = บริเวณระหว่างผิวเคลือบฟันและวัสดุยึด

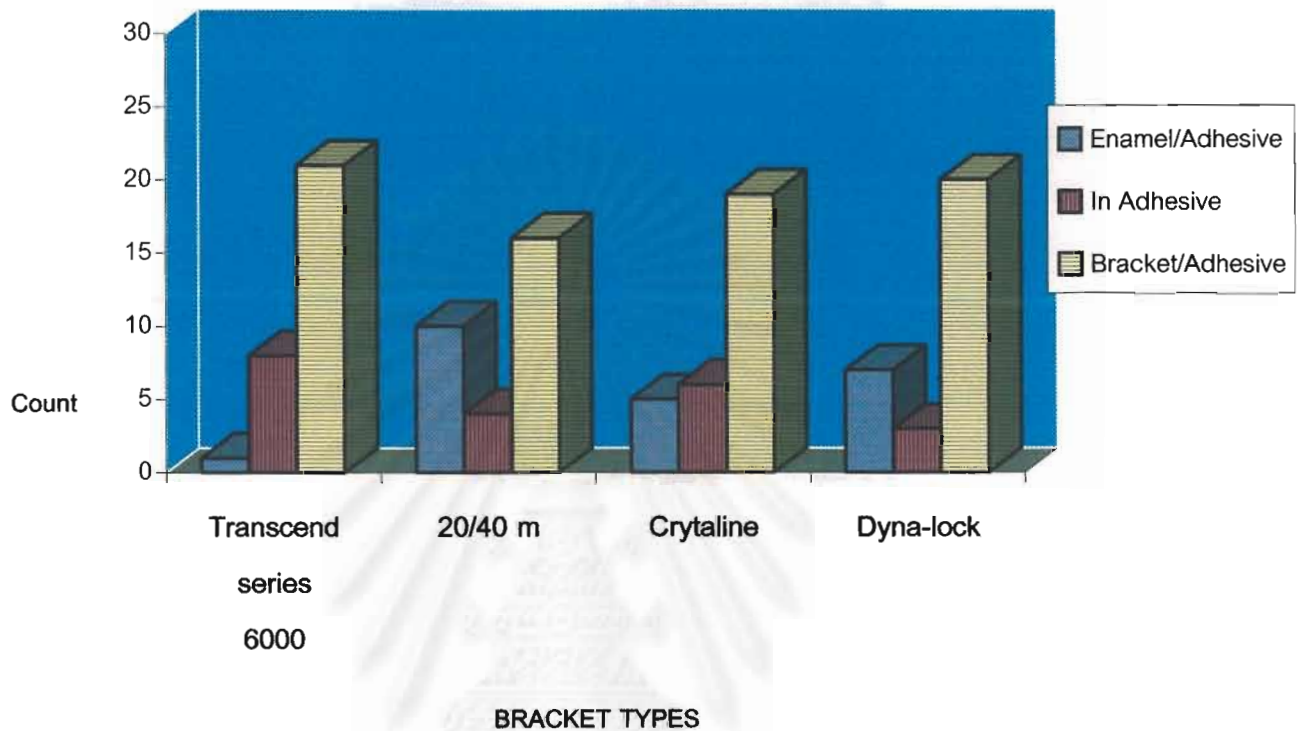
CO = บริเวณภายในวัสดุยึด

BA = บริเวณระหว่างแบรacketและวัสดุยึด

BF = บริเวณภายในแบรacket

การวิเคราะห์ทางสถิติทดสอบความแตกต่างของบริเวณที่เกิดความล้มเหลวในการยึดติดภายหลังจากการหลุดของแบรacketเซรามิก 3 ชนิดและแบรacketเหล็กกล้าไร้สนิมที่มีลักษณะของฐานแตกต่างกัน โดยใช้สถิติการทดสอบของครัสคาล - วอลลิส ที่ระดับนัยสำคัญทางสถิติ 0.05 มีรายละเอียดดังตารางที่ 12 (ภาคผนวก) ซึ่งผลการวิเคราะห์พบว่า ไม่มีความแตกต่างอย่างมีนัยสำคัญทางสถิติของบริเวณที่เกิดความล้มเหลวในการยึดติดของแบรacketเซรามิกที่มีการยึดติดแบบพันธะเชิงกลที่แตกต่างกัน

ADHESIVE REMNANT INDEX



รูปที่ 36 แผนภูมิแท่งแสดงบริเวณที่เกิดความล้มเหลวในการยึดติดของแบรacketเซรามิก 3 ชนิด และแบรacketเหล็กกล้าไร้สนิม

บริเวณที่เกิดความล้มเหลวในการยึดติดภายหลังการหลุดของแบรacketทั้ง 4 กลุ่มจะเกิดที่บริเวณระหว่างแบรacketและวัสดุยึดเป็นส่วนใหญ่ (ดังรูปที่38) โดยในแบรacketเซรามิกชนิด 20/40m จะมีร้อยละการเกิดความล้มเหลวในการยึดติดภายในวัสดุยึด(รูปที่ 39) และบริเวณระหว่างผิวเคลือบฟันและวัสดุยึด (รูปที่ 40) มากกว่าในกลุ่มอื่นๆ ทั้งนี้ไม่พบการแตกของผิวเคลือบฟันเกิดขึ้น



รูปที่ 38 ภาพแสดงบริเวณที่เกิดความล้มเหลวในการยึดติดระหว่างแบร็กเกต และวัสดุยึด

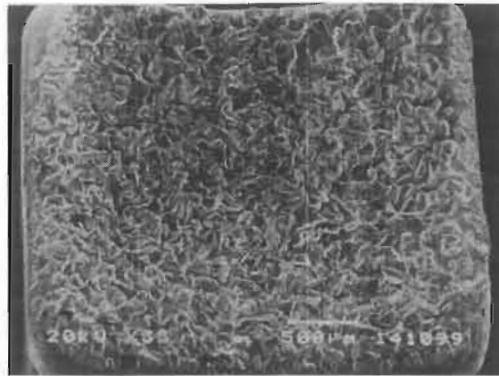


รูปที่ 39 ภาพแสดงบริเวณที่เกิดความล้มเหลวในการยึดติดภายในวัสดุยึด



รูปที่ 40 ภาพแสดงบริเวณที่เกิดความล้มเหลวในการยึดติดระหว่างผิวเคลือบฟัน และวัสดุยึด

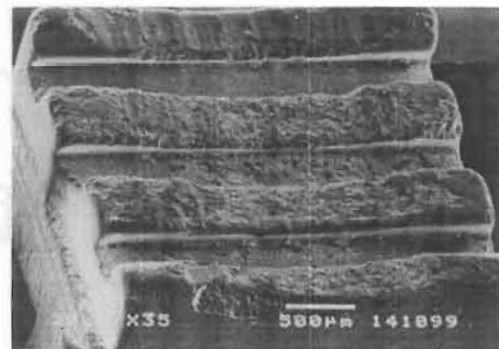
5. ผลการตรวจลักษณะฐานแบรคเกตทั้ง 4 กลุ่ม ด้วยกล้องจุลทรรศน์อิเล็กตรอนชนิดส่องกราด



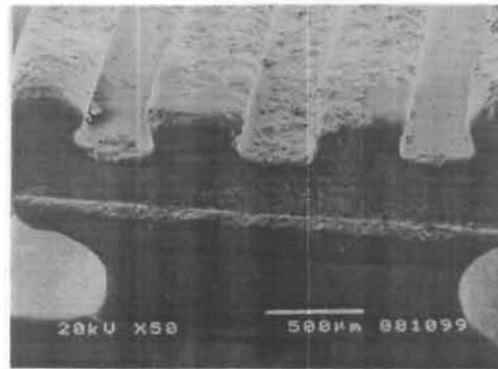
รูปที่ 41 แสดงลักษณะฐานแบรคเกตเซรามิก Transcend series 6000 ซึ่งมีลักษณะเป็นผลึก จำนวนมากกระจายอยู่ทั่วไปบนฐานแบรคเกต



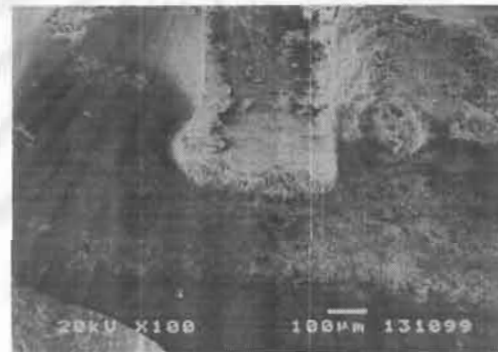
รูปที่ 42 แสดงลักษณะพื้นผิวของฐานแบรคเกตเซรามิก Transcend series 6000 (กำลังขยาย 100 เท่า) ซึ่งประกอบด้วยผลึกรูปร่างไม่แน่นอนกระจายอยู่ทั่วไปบนพื้นผิว



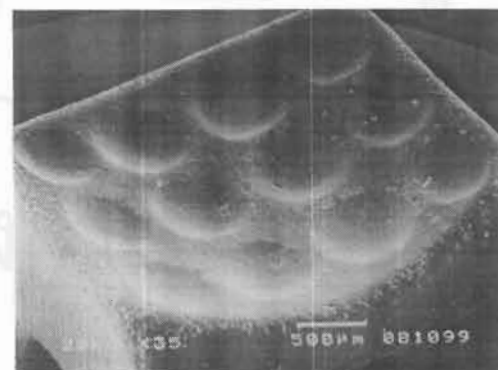
รูปที่ 43 แสดงลักษณะฐานแบรคเกตเซรามิก 20/40 m ซึ่งมีลักษณะเป็นร่องในแนวนอน 3 ร่อง และผิวของฐานแบรคเกตมีลักษณะขรุขระและเป็นคลื่นๆ ซึ่งไม่สามารถมองเห็นได้ด้วยตาเปล่า



รูปที่ 44 แสดงลักษณะของร่องในแนวนอนของแบรคเกต 20/40 m ในแนวด้านข้างพบลักษณะร่องมีอันเตอร์คัท และร่องทั้ง 3 มีความลึกใกล้เคียง



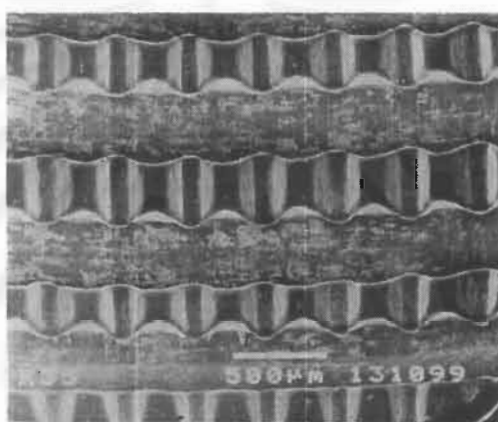
รูปที่ 45 แสดงลักษณะร่องแบรคเกต 20/40 m มีลักษณะเป็นอันเตอร์คัทที่โค้งมน และผิวของฐานแบรคเกตมีความขรุขระมาก



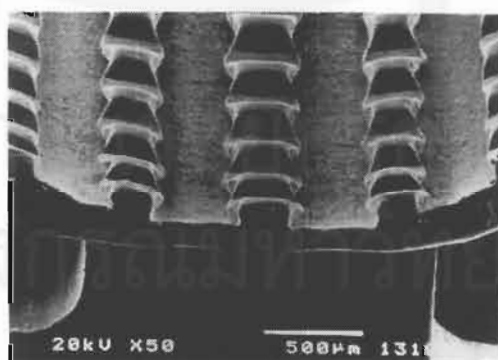
รูปที่ 46 แสดงลักษณะฐานแบรคเกตเซรามิก Crystalline ซึ่งมีลักษณะเป็นหลุมจำนวน 12 หลุม และแบรคเกตมีความโค้งในแนวใกล้กลาง-ไกลกลาง



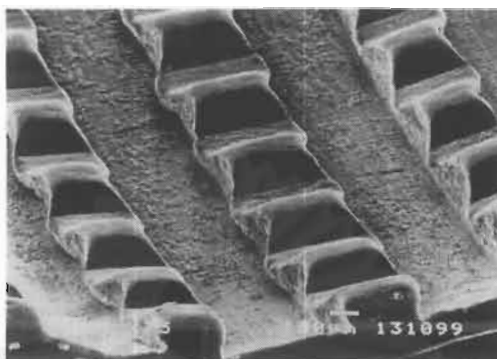
รูปที่ 47 แสดงลักษณะหลุมของแบรคเกตเซรามิก Crystalline ซึ่งเป็นแอ่งรูปกะทะหงายลักษณะโค้งมน



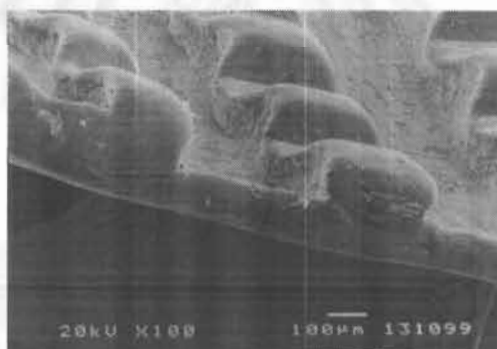
รูปที่ 48 แสดงลักษณะฐานแบรคเกตเหล็กกล้าไร้สนิม Dyna-lock ซึ่งมีลักษณะเป็นร่องในแนวนอน 4 ร่องเรียงตัวสลับกับร่องรูปตัววี



รูปที่ 49 แสดงลักษณะร่องในแนวนอนของแบรคเกต Dyna-lock เมื่อมองจากด้านข้าง



รูปที่ 50 แสดงลักษณะของร่องรูปตัววีและร่องในแนวนอนของแบริกเกต Dyna-lock ซึ่งมีส่วนฐานของร่องที่มีผิวขรุขระและมีลักษณะเป็นมุมแหลม



รูปที่ 51 แสดงลักษณะด้านข้างของร่องในแนวนอนรูปสี่เหลี่ยมคางหมูของแบริกเกต Dyna-lock

สถาบันวิทยบริการ
จุฬาลงกรณ์มหาวิทยาลัย

บทที่ 5

สรุปผลการวิจัยและข้อเสนอแนะ

วัตถุประสงค์ของการวิจัยนี้เพื่อศึกษาความแตกต่างของค่าเฉลี่ยกำลังแรงยึดแบบเนียน/ปอกกับผิวเคลือบพื้นของแบริกเกตเซรามิกที่มีการออกแบบฐานเป็นการยึดติดแบบพันธะเชิงกลต่าง ๆ กัน ได้แก่ แบริกเกตเซรามิกรุ่น Transcend series 6000 ซึ่งมีลักษณะของฐานแบริกเกตเป็นอนุภาคคล้ายคริสตอลเชื่อมที่ฐาน, แบริกเกตเซรามิกรุ่น 20/40m ซึ่งมีลักษณะของฐานแบริกเกตเป็นร่อง และแบริกเกตเซรามิกรุ่น Crystalline ซึ่งมีลักษณะของฐานแบริกเกตเป็นหลุมขนาดเล็กเทียบกับแบริกเกตเหล็กกล้าไร้สนิมรุ่น Dyna-lock ซึ่งมีลักษณะของฐานแบริกเกตเป็นร่องในแนวนอนร่วมกับร่องรูปตัววี และเพื่อศึกษาความแตกต่างของบริเวณที่เกิดความล้มเหลวในการยึดติดภายหลังการหลุดแบริกเกต โดยกรดที่ใช้คือ กรดฟอสฟอริกความเข้มข้นร้อยละ 37 วัสดุยึดที่ใช้คือ Concise การทดสอบความแตกต่างของค่าเฉลี่ยกำลังแรงยึดแบบเนียน/ปอกของแบริกเกตเซรามิกที่มีลักษณะของฐานแตกต่างกัน ใช้สถิติวิเคราะห์ความแปรปรวนแบบทิศทางเดียวที่ระดับนัยสำคัญทางสถิติ 0.05 ถ้าผลของการวิเคราะห์มีความแตกต่างกันทดสอบความแตกต่างของแต่ละคู่ด้วยการทดสอบเชฟเฟ่ การทดสอบความแตกต่างของบริเวณที่เกิดความล้มเหลวในการยึดติดของแบริกเกตที่มีลักษณะการออกแบบฐานที่ต่างกันใช้สถิติการทดสอบของครัสคาล-วอลลิสที่ระดับนัยสำคัญทางสถิติ 0.05

สรุปผลของการวิจัย

ค่ากำลังแรงยึดแบบเนียน/ปอกของแบริกเกตเซรามิกและแบริกเกตเหล็กกล้าไร้สนิมที่มีลักษณะการออกแบบฐานแตกต่างกัน มีความแตกต่างกันอย่างมีนัยสำคัญทางสถิติระดับ 0.05 และไม่มี ความแตกต่างของบริเวณที่เกิดความล้มเหลวในการยึดติดภายหลังการหลุดของแบริกเกตที่ระดับนัยสำคัญทางสถิติ 0.05 กล่าวคือ

1. การออกแบบฐานแบริกเกตที่มีลักษณะการยึดติดแบบพันธะเชิงกลต่าง ๆ กันมีผลต่อค่าเฉลี่ยกำลังแรงยึดแบบเนียน/ปอกของแบริกเกต โดยแบริกเกตเซรามิกรุ่น 20/40 m ให้ค่าเฉลี่ยกำลังแรงยึดแบบเนียน/ปอกสูงที่สุดอย่างมีนัยสำคัญทางสถิติ
2. ค่าเฉลี่ยกำลังแรงยึดแบบเนียน/ปอกของแบริกเกตเซรามิกรุ่น Crystalline มีค่าสูงกว่าค่าเฉลี่ยกำลังแรงยึดแบบเนียน/ปอกของแบริกเกตเซรามิกรุ่น Transcend series 6000 แต่ไม่มีความแตกต่างกันอย่างมีนัยสำคัญทางสถิติ

3. มีความแตกต่างของค่าเฉลี่ยกำลังแรงยึดแบบเฉือน/ปอกของแบริกเกตเซรามิกกรุ้ 20/40m และ แบริกเกตเซรามิกกรุ้ Crystalline กับแบริกเกตเหล็กกล้าไร้สนิมกรุ้ Dyna-lock อย่างมีนัยสำคัญทางสถิติ
4. ค่าเฉลี่ยกำลังแรงยึดแบบเฉือน/ปอกของแบริกเกตเซรามิกทุกกลุ่มเพียงพอสำหรับการใช้งานในคลินิก
5. แบริกเกตทุกกลุ่มพบบริเวณที่เกิดความล้มเหลวในการยึดติดที่บริเวณระหว่างแบริกเกตและวัสดุยึดติดเป็นร้อยละสูงที่สุด โดยไม่พบการแตกหักของผิวเคลือบฟันภายหลังการหลุดของแบริกเกต

การอภิปรายผลการวิจัย

ความสำเร็จในการยึดแบริกเกตบนผิวเคลือบฟันเพื่อการรักษาทางทันตกรรมจัดฟันขึ้นกับหลายปัจจัยได้แก่

1. ธรรมชาติของผิวฟัน
2. ขบวนการเตรียมผิวฟัน
3. ชนิดของวัสดุยึด
4. ลักษณะการออกแบบฐานแบริกเกต
5. ประสิทธิภาพของทันตแพทย์

ในการวิจัยครั้งนี้ได้ควบคุมปัจจัยที่มีผลต่อค่ากำลังแรงยึดที่ไม่เกี่ยวข้องกับการทดลอง โดยควบคุมกรดที่ใช้ในการกัดผิวเคลือบฟัน, เวลาที่ใช้กรดกัด, วัสดุยึด, วิธีการทดลอง และผู้ทดลองให้เหมือนกันทุกกลุ่มตัวอย่าง แต่การใช้วิธีการเตรียมผิวเคลือบฟันด้วยวิธีเดียวกันสามารถพบความแตกต่างของลักษณะผิวเคลือบฟันภายหลังถูกกรดกัด (etching pattern) ได้ในฟันต่างซี่กัน หรือแม้แต่ในฟันซี่เดียวกัน (Diedrich, 1981) โดยการที่กรดละลายผิวเคลือบฟันได้ไม่เท่ากันเนื่องจาก มีความแตกต่างของโครงสร้างในชั้นผิวหน้าของผิวเคลือบฟัน ได้แก่ ความแตกต่างของลักษณะปริซึม, การเรียงตัวของผลึก, ส่วนประกอบทางเคมีของผลึก, ส่วนประกอบอินทรีย์หรืออนินทรีย์ของปริซึม ซึ่ง Willems และคณะ(1997) กล่าวว่า ลักษณะความแตกต่างของคุณสมบัติของฟันที่นำมาใช้ในการทดลองจะก่อให้เกิดค่าส่วนเบี่ยงเบนมาตรฐานภายหลังการหาค่ากำลังแรงยึดที่สูง แต่จากการศึกษาครั้งนี้พบว่า ภายหลังการทดสอบค่ากำลังแรงยึดของแบริกเกตชนิดต่าง ๆ จะได้ค่าส่วนเบี่ยงเบนมาตรฐานที่มีค่าปานกลางและสามารถยอมรับได้ในทางสถิติ

ฟันกรามน้อยถูกเลือกให้นำมาใช้ในการทดลองเนื่องจากเป็นฟันที่เกิดอุบัติเหตุการหลุดของแบริกเกตมากที่สุดในคลินิก (Zachisson, 1977; Newman, 1978; Loviquis, and Sonis, 1988; O'Brien, 1989; Sunna, and Rock ,1998) เนื่องจากบริเวณฟันหลังจะได้รับแรงบดเคี้ยวมากกว่า,

การควบคุมความชื้นทำได้ยาก และผิวเคลือบฟันประกอบด้วยบริเวณที่มีปริซึมน้อยซึ่งมีผลทำให้ค่ากำลังแรงยึดต่ำลง (Whittaker, 1982; Knoll, Gwinnett, and Wolff, 1986)

ความโค้งของผิวเคลือบฟันโดยเฉพาะฟันกรามน้อยทำให้ฐานแบรกกเกตไม่แนบสนิทกับผิวฟัน วัสดุยึดใต้ฐานแบรกกเกตจะมีความหนาแตกต่างกันในแต่ละบริเวณ เมื่อได้รับแรงในการถอดแบรกกเกตจะเกิดความเค้นสะสมที่แตกต่างกันทำให้ค่ากำลังแรงยึดต่ำลง (Pornchai Charuschareonwttiya, 1993) ดังนั้นผลการวิจัยครั้งนี้อาจให้ค่ากำลังแรงยึดแบบเฉือน/ปอกที่ต่ำกว่าบางท่านที่ศึกษา แสดงให้เห็นว่า ความโค้งของผิวฟันด้านใกล้แก้มมีผลต่อค่ากำลังแรงยึด

ผิวเคลือบฟันที่ใช้ในการทดลองครั้งนี้ไม่มีการกรอตัดให้เรียบเนื่องจากต้องการให้ผิวเคลือบฟันมีลักษณะคล้ายกับการใช้งานทางคลินิกและไม่ต้องการรบกวนต่อองค์ประกอบของแร่ธาตุต่างๆที่อยู่บนผิวเคลือบฟันตามธรรมชาติ นอกจากนี้ส่วนประกอบทางเคมีของผิวเคลือบฟันในชั้นลึกลงไปจะแตกต่างจากชั้นผิวหน้า (Jenkin, 1978) โดยเฉพาะปริมาณของฟลูออไรด์ไอออนซึ่งมีผลต่อรูปแบบของผิวเคลือบฟันที่ถูกกรดกัดและค่ากำลังแรงยึด

การวิจัยนี้เลือกทดสอบค่ากำลังแรงยึดแบบเฉือน/ปอกเนื่องจาก แรงดังกล่าวเป็นแรงหลักแรงหนึ่งซึ่งกระทำต่อแบรกกเกตในขณะที่ผู้ป่วยทำการบดเคี้ยว ซึ่งเป็นการเลียนแบบแรงที่เกิดขึ้นจริงในคลินิก (Tavas, and Watts, 1979; Alexander, et al. , 1993) การทำให้แบรกกเกตหลุดด้วยแรงเฉือนอย่างเดียวเป็นการยาก เนื่องจากแรงดังกล่าวต้องกระทำบริเวณรอยต่อระหว่างแบรกกเกตและผิวเคลือบฟันซึ่งแทบจะเป็นไปไม่ได้ (Alexander et al., 1981; Beech, and Jalaly, 1981) ดังนั้นแรงที่เหมาะสมในการทดลองคือ แรงเฉือน/ปอก (Ferguson et al., 1984) กล่าวคือ แรงดังกล่าวจะกระทำในทิศทางที่ขนานกับผิวสัมผัสระหว่างแบรกกเกต และผิวเคลือบฟันแต่ตำแหน่งของแรงจะอยู่ห่างจากรอยต่อของแบรกกเกตกับผิวเคลือบฟัน โดยขณะทำการทดลองตำแหน่งของเครื่องมือที่ให้แรงกระทำแก่แบรกกเกตควรห่างจากบริเวณรอยต่อของแบรกกเกตและผิวเคลือบฟันเท่าๆกันในทุกชิ้นงานเพื่อให้เกิดการทดสอบที่สามารถทำซ้ำได้ (Fox et al., 1994) ในการศึกษาครั้งนี้ตำแหน่งดังกล่าวจะอยู่ที่ปีกด้านใกล้เหงือกของแบรกกเกต

ค่าความเค้นของแรงเฉือน/ปอกขึ้นอยู่กับวิธีการให้แรง, ลักษณะเครื่องมือในการให้แรง และลักษณะของฐานแบรกกเกต ซึ่งอธิบายได้โดยมีความแตกต่างของค่ากำลังแรงยึดเมื่อปัจจัยแต่ละตัวมีการเปลี่ยนแปลง (Regan, and van Noort, 1989)

Pornchai Charuschareonwittaya (1993) รายงานว่าค่าเฉลี่ยกำลังแรงยึดแบบเฉือน/ปอกของวัสดุยึดไม่มีความแตกต่างอย่างมีนัยสำคัญทางสถิติ เมื่อใช้แรงกดขณะติดแบรกกเกตขนาดต่างๆกันแต่ค่ากำลังแรงยึดจะมีค่าเพิ่มขึ้นเมื่อใช้แรงกดที่มากขึ้นจนกระทั่งแรงกดที่มากกว่า 30 กรัม ค่าเฉลี่ยกำลังแรงยึดจะค่อนข้างคงที่ดังนั้นในการศึกษาครั้งนี้จึงเลือกใช้แรงกดขนาด 2 ออนซ์

(80 กรัม) โดยใช้เครื่องมือที่กำหนดแรงในการติดแบรคเกต (Piyathida Chittanandha, 1997) เพื่อควบคุมความหนาของวัสดุยึดและให้การทดลองสามารถทำซ้ำได้

วัสดุยึดที่ใช้ในการวิจัยคือ Concise ซึ่งเป็นวัสดุยึดชนิดผสมประกอบด้วยวัสดุอัดแทรกขนาดใหญ่ในปริมาณร้อยละ 75 ตามน้ำหนัก การเติมวัสดุอัดแทรกเข้าไปในวัสดุยึดจะช่วยปรับปรุงคุณสมบัติเชิงกลได้แก่ กำลังแรงอัด, โมดูลัสยืดหยุ่น (modulus of elasticity), ความแข็ง และช่วยลดสัมประสิทธิ์การขยายตัวเมื่ออุณหภูมิเปลี่ยนแปลง แต่วัสดุยึดจะมีความหนืดเพิ่มขึ้น และสามารถผสมได้อย่างสมบูรณ์โดยมีบริเวณที่แข็งตัวไม่สมบูรณ์น้อย (Buzzita et al., 1982) เมื่อเปรียบเทียบกับวัสดุยึดชนิดไม่ต้องผสม ทำให้ค่ากำลังแรงยึดที่ได้มีค่าสูงกว่าวัสดุยึดชนิดไม่ต้องผสม (Ferguson et al., 1984; Regan, and van Noort, 1989)

Yamada และคณะ (1988) รายงานว่าวัสดุยึด Concise ให้ค่ากำลังแรงยึดที่คงที่เมื่อเวลาเปลี่ยนแปลงไป และเป็นวัสดุยึดที่ใช้กันอย่างกว้างขวางจึงเหมาะสมที่จะใช้เป็นวัสดุมาตรฐานในการทดลองซึ่งสอดคล้องกับ Willems และคณะ (1997) ที่แนะนำให้ใช้ Concise เป็นวัสดุยึดในการติดแบรคเกตเซรามิก (Ballock, and Power, 1995)

ข้อเสียของวัสดุยึดชนิดผสมคือ การเสียเวลาในการผสมและเมื่อวัสดุยึดผสมกันจะมีความหนืดเพิ่มมากขึ้นตามเวลา ทำให้การแทรกซึมของวัสดุยึดเข้าไปในบริเวณอันเดอร์คัทของฐานแบรคเกตลดลง และการผสมจะทำให้มีฟองอากาศภายในวัสดุยึดเกิดขึ้นได้ จึงอาจเกิดการสะสมของความเค้นรอบๆ ฟองอากาศ ทำให้ค่ากำลังแรงยึดลดลง และเหลือวัสดุยึดบนตัวฟันเพิ่มขึ้น (Mittchell, 1994)

ค่ากำลังแรงยึดแบบเนียน/ปอกกับการออกแบบฐานแบรคเกต

แบรคเกตซึ่งยึดติดอยู่บนผิวเคลือบฟันจะต้องต้านทานต่อแรงต่างๆที่เกิดขึ้นระหว่างการรักษาทางทันตกรรมจัดฟันได้ (Proffit, 1986) กำลังแรงยึดของแบรคเกตที่เหมาะสมสำหรับการใช้งานทางคลินิกมีผู้รายงานไว้แตกต่างกันซึ่งไม่สามารถนำมาเปรียบเทียบกันได้โดยตรงเนื่องจากในแต่ละการศึกษาจะใช้วัสดุยึด, แบรคเกต, ฟัน และวิธีการทดลองที่แตกต่างกัน Reynold (1975) รายงานว่า ค่ากำลังแรงยึดแบบเนียนที่เพียงพอสำหรับการใช้งานทางคลินิกจะมีค่ามากกว่า 5.88-7.85 MPa จากผลการทดลองครั้งนี้ค่าเฉลี่ยกำลังแรงยึดแบบเนียน/ปอกของแบรคเกตทุกกลุ่มมีค่ามากกว่าค่าดังกล่าว และเมื่อทำการเปรียบเทียบค่าเฉลี่ยกำลังแรงยึดแบบเนียน/ปอกของแบรคเกตเซรามิกกับแบรคเกตเหล็กกล้าไร้สนิม (Dyna-lock) ซึ่งเป็นที่ยอมรับกันทั่วไปในการใช้งานทางคลินิกพบว่า แบรคเกตเซรามิกทุกกลุ่มจะให้ค่าเฉลี่ยกำลังแรงยึดแบบเนียน/ปอกที่เพียงพอสำหรับการใช้งานทางคลินิก

Karamouz (1997) กล่าวว่า ขบวนการผลิตแบร็กเกตมีบทบาทสำคัญต่อรูปร่างลักษณะของแบร็กเกตเซรามิกไม่ว่าจะเป็นรูปทรงในผิวแบร็กเกต, ความบกพร่องของการตัดแต่ง หรือการเกิดรอยขีดข่วนบนผิวแบร็กเกต จะทำให้แบร็กเกตสูญเสียคุณสมบัติที่ดีสำหรับการใช้งาน นอกจากนี้เขายังพบว่า แบร็กเกตเซรามิกที่มีลักษณะการยึดติดแบบพันธะเชิงกลจะให้ค่ากำลังแรงยึดที่แตกต่างกันกับแบร็กเกตเซรามิกที่มีลักษณะการยึดติดแบบพันธะเคมี เนื่องจากจำนวนของความเค้นที่กระจายไปบนพื้นผิวของการยึดติดแบร็กเกตเซรามิกที่มีการยึดติดแบบพันธะเชิงกลกับวัสดุยึดโดยการทำร่องที่มีมุมน้อยกว่า 90 องศา จะทำให้เกิดความเค้นสะสมรอบๆมุมแหลมเหล่านี้ จึงทำให้เกิดการเปราะของวัสดุยึด ซึ่งสอดคล้องกับการศึกษาของ Odegaard และ Segner (1988) พบว่า ปัจจัยของความเค้นเป็นสิ่งสำคัญในการลดค่ากำลังแรงยึดของแบร็กเกตที่มีลักษณะฐานเป็นร่อง เนื่องจากขณะที่วัสดุยึดแข็งตัวจะมีการหดตัวโดยรอบมุมที่แหลมและการมีร่องในแนวตัดขวางจะก่อให้เกิดความเค้นภายในเพิ่มขึ้นจึงเกิดความล้มเหลวของการยึดติดขึ้นระหว่างแบร็กเกตและวัสดุยึด

จากการทดลองครั้งนี้แบร็กเกตเซรามิกชนิด 20/40 m ซึ่งมีลักษณะของร่องในแนวนอน 3 ร่องให้ค่ากำลังแรงยึดแบบเฉือน/ปอกสูงสุดและสูงกว่าแบร็กเกตเหล็กกล้าไร้สนิมชนิด Dyna-lock ซึ่งมีลักษณะของฐานแบร็กเกตที่มีร่องในแนวนอน 4 ร่อง ร่วมกับร่องรูปตัววีในแนวตัดขวางซึ่งให้พื้นที่ผิวในการยึดติดเพิ่มขึ้น แต่กลับให้ค่ากำลังแรงยึดที่ต่ำกว่าเมื่อพิจารณาจากภาพถ่ายจากกล้องจุลทรรศน์อิเล็กตรอนชนิดส่องกราด (รูปที่ 44 และ 45) พบว่า ลักษณะฐาน แบร็กเกต 20/40 m จะมีร่องในแนวนอนที่ลึกและพื้นผิวของแบร็กเกตมีลักษณะผิวขรุขระซึ่งจะเพิ่มไมโครเมคานิคาลรีเทนชันทำให้ค่ากำลังแรงยึดเพิ่มสูงขึ้น (Regan, and van Noort, 1989) และเมื่อพิจารณาลักษณะทางด้านข้างของร่องแนวนอนพบว่า มีลักษณะเป็นอันเดอรัคท์ที่ทำให้เกิดการยึดติดของวัสดุยึดภายในร่องเหล่านี้ และบริเวณมุมของอันเดอรัคท์จะเป็นมุมมนทำให้ไม่มีการสะสมของความเค้นภายในร่องเหล่านี้ ค่าเฉลี่ยกำลังแรงยึดจึงมีค่าสูงเมื่อเปรียบเทียบกับแบร็กเกต Dyna-lock ซึ่งมีร่องในแนวนอนที่ตื้น แม้จะมีลักษณะขรุขระของพื้นผิวในร่องแต่มีความหยาบมากกว่าแบร็กเกต 20/40 m นอกจากนี้บริเวณมุมต่างๆของร่องในแนวนอนและร่องรูปตัววีของแบร็กเกต Dyna-lock จะมีลักษณะเป็นมุมแหลมทำให้เกิดการสะสมของความเค้นรอบๆมุมดังกล่าว ค่ากำลังแรงยึดจึงลดต่ำลง และเมื่อพิจารณาร่องรูปตัววี จะมีลักษณะที่ไม่มีอันเดอรัคท์ทำให้ไม่สามารถยึดวัสดุยึดไว้ได้เพียงแต่ช่วยเพิ่มพื้นที่ผิวในการยึดติดจึงพบวัสดุยึดหลงเหลืออยู่ในร่องแนวนอนเท่านั้นภายหลังการถอดแบร็กเกต

Ferguson และคณะ (1984) และ O'Brien และคณะ (1988) พบว่า ลักษณะฐานแบร็กเกต Dyna-lock จะลดโอกาสของการเกิดฟองอากาศภายในวัสดุยึดเนื่องจากวัสดุยึดส่วนเกินจะสามารถออกมาตามร่องได้ แต่ Diedrich และ Dickmeiss (1983) กลับพบฟองอากาศในวัสดุยึดเมื่อใช้ร่วมกับ Dyna-lock ซึ่งสอดคล้องกับการทดลองที่พบฟองอากาศจำนวนเล็กน้อยในกลุ่มนี้

เป็นสิ่งที่อธิบายได้ยากกว่าวัสดุที่ใช้ในการผลิตแบร็กเกตจะมีผลต่อค่ากำลังแรงยึดแต่อาจเป็นไปได้ว่าแบร็กเกตที่ทำจากวัสดุที่เป็นโลหะเมื่อได้รับแรงจะมีความสามารถในการยึดหยุ่นของฐาน

แบรกกแตกทำให้เกิดรอยแยก (crack) เล็กๆระหว่างแบรกกแตกและวัสดุยึดก่อนที่จะเกิดความล้มเหลวในการยึดติดทำให้ค่ากำลังแรงยึดต่ำลง แต่แบรกกแตกเซรามิกซึ่งมีคุณสมบัติแข็งแต่เปราะเช่นเดียวกับผิวเคลือบพื้นจะไม่สามารถยึดหยุ่นได้ เมื่อได้รับแรงกระแทกจะเกิดความล้มเหลวของการยึดติดทันที (Swartz, 1988)

Bordeaux และคณะ (1994) ศึกษาเปรียบเทียบค่าเฉลี่ยกำลังแรงยึดของแบรกกแตกเซรามิกชนิดต่างๆพบว่า แบรกกแตก Transcend 2000 ซึ่งมีลักษณะฐานแบรกกแตกเหมือนกับ Transcend series 6000 จะให้ค่าเฉลี่ยกำลังแรงยึดที่ลดลงเมื่อเปรียบเทียบกับแบรกกแตกที่มีการยึดติดแบบพันธะเคมี และเกิดความล้มเหลวของการยึดติดที่ระหว่างแบรกกแตกและวัสดุยึด ซึ่งสอดคล้องกับการทดลองครั้งนี้ที่พบว่า แบรกกแตก Transcend series 6000 ให้ค่าเฉลี่ยกำลังแรงยึดแบบเฉือน/ปอกใกล้เคียงกับแบรกกแตก Dyna-lock และสนับสนุนว่า การเพิ่มลักษณะการยึดติดแบบพันธะเชิงกลบนฐานแบรกกแตกจะลดการเกิดอันตรายต่อผิวเคลือบพื้น และยังคงให้ค่ากำลังแรงยึดที่เพียงพอ

เมื่อพิจารณาลักษณะฐานแบรกกแตก Transcend series 6000 ภาพจากกล้องจุลทรรศน์อิเล็กตรอนชนิดส่องกราด (รูปที่ 42) พบว่า ฐานแบรกกแตกจะมีผลึกรูปร่างไม่แน่นอนเชื่อมที่ฐาน โดยผลึกเหล่านี้จะมีลักษณะที่มีมุมแหลมและมีอันเดอรัคท์ที่ตื้นๆ ทำให้เกิดการสะสมของความเค้นรอบๆผลึกเหล่านี้ นอกจากนี้วัสดุยึด Concise ซึ่งมีความหนืดจะแทรกซึมเข้าไปในอันเดอรัคท์ได้ยาก (Cook, and Youngson, 1988) ทำให้กำลังแรงยึดมีค่าต่ำเมื่อเปรียบเทียบกับแบรกกแตก 20/40 m

แบรกกแตกเซรามิก Crystalline ให้ค่ากำลังแรงยึดแบบเฉือน/ปอกที่ไม่แตกต่างจากแบรกกแตกเซรามิก Transcend series 6000 แต่ให้ค่ากำลังแรงยึดที่น้อยกว่าแบรกกแตกเซรามิก 20/40 m เนื่องจากแบรกกแตก Crystalline มีลักษณะฐานแบรกกแตกเป็นหลุมขนาดเล็ก 12 หลุม โดยหลุมมีลักษณะคล้ายกะทะหงายขึ้น ทำให้ไม่มีลักษณะเป็นอันเดอรัคท์ที่ดีในการยึดวัสดุยึด นอกจากนี้บริเวณพื้นผิวของแบรกกแตกยังมีความเรียบมากกว่าแบรกกแตกในกลุ่มอื่นๆ (รูปที่ 47) ทำให้ค่ากำลังแรงยึดที่ได้มีค่าต่ำ และหลุมต่างๆเหล่านี้ยังก่อให้เกิดการสะสมของฟองอากาศขึ้นระหว่างวัสดุยึดและฐานแบรกกแตกทำให้มีออกซิเจนซึ่งจะยับยั้งการแข็งตัวของวัสดุยึดทำให้ค่ากำลังแรงยึดต่ำลง (Maijer, and Smith, 1981)

บริเวณที่เกิดความล้มเหลวในการยึดติดกับลักษณะการออกแบบฐานแบรกกแตก

Swartz (1988) กล่าวว่า ในทางอุดมคติแล้วบริเวณที่เกิดความล้มเหลวในการยึดติดควรเกิดที่บริเวณระหว่างแบรกกแตกและวัสดุยึด โดยปล่อยให้วัสดุยึดติดอยู่บนพื้นและกำจัดออกอย่างระมัดระวัง ตำแหน่งของการเกิดความล้มเหลวในการยึดติดขึ้นกับความแข็งแรงของไมโครเมคานิคาลรีเทนชันจากการใช้กรดเตรียมผิวพื้น ในกรณีที่เรซินแทรกซึ้นจะเกิดความล้มเหลวในการยึดติด

ที่ระหว่างวัสดุยึดและผิวเคลือบฟัน ถ้าหากเมคานิคัลอินเตอร์ลอค (mechanical interlock) มีความแข็งแรงจะเกิดความล้มเหลวของการยึดติดที่ภายในวัสดุยึดหรือในผิวเคลือบฟัน(Diedrich, 1981)

Bordeaux และคณะ (1994) พบว่า ค่ากำลังแรงยึดที่สูงของแบร็กเกตเซรามิกสัมพันธ์กับการเพิ่มความแข็งแรง และการลดลงของการบิดเบือนรูปร่างของแบร็กเกตขณะถอดแบร็กเกต เนื่องจากคุณสมบัติทางธรรมชาติของแบร็กเกตเซรามิกและผิวเคลือบฟันที่แข็งแต่เปราะจะไม่สามารถดูดซับแรงเค้นขณะถอดแบร็กเกต หากแรงยึดระหว่างวัสดุยึดและผิวเคลือบฟันมีค่าสูงกว่าภายในผิวเคลือบฟันจะทำให้เกิดการแตกของผิวเคลือบฟันได้ นอกจากนี้คุณสมบัติของวัสดุยึดยังมีผลต่อบริเวณที่เกิดความล้มเหลวในการยึดติด การเพิ่มปริมาณของวัสดุอัดแทรกจะทำให้วัสดุยึดมีความแข็งแรง และเกิดความล้มเหลวในวัสดุยึดน้อยลง ขนาดของวัสดุอัดแทรกมีผลต่อบริเวณที่เกิดความล้มเหลวในการยึดติดเช่นกัน โดยอนุภาคของวัสดุอัดแทรกที่เล็กจะทำให้วัสดุยึดไหลเข้าสู่รูพรุนภายในผิวเคลือบฟันได้มากกว่า ทำให้เพิ่มกำลังแรงยึดระหว่างวัสดุยึดและผิวเคลือบฟัน

Merrill และคณะ (1994) รายงานว่า เมื่อใช้แบร็กเกตเซรามิกที่มีการยึดติดแบบพันธะเชิงกลร่วมกับวัสดุยึด Concise จะเกิดบริเวณที่เกิดความล้มเหลวในการยึดติดระหว่างแบร็กเกตและวัสดุยึดเป็นส่วนใหญ่ โดยในแบร็กเกต Transcend 2000 จะมีส่วนของคริสตอลหลุดจากฐานแบร็กเกตไปติดอยู่บนวัสดุยึดซึ่งหลงเหลืออยู่บนผิวฟัน ซึ่งสอดคล้องกับการศึกษาของ Gwinnett (1988), Odegard และ Segner (1988), Nkenke และคณะ (1991) และ Sam และ Chao (1993) โดยสรุปว่าในรูปแบบของแรงเฉือน แรงยึดระหว่างผิวเคลือบฟันและวัสดุยึดจะมีความแข็งแรงกว่าแรงยึดระหว่างแบร็กเกตและวัสดุยึด แต่หากมีการเพิ่มความแข็งแรงของการยึดระหว่างแบร็กเกตและวัสดุยึดจะทำให้เกิดความล้มเหลวของการยึดติดระหว่างผิวเคลือบฟันและวัสดุยึดเพิ่มขึ้นได้ ซึ่งสอดคล้องกับการวิจัยในครั้งนี้ พบบริเวณที่เกิดความล้มเหลวในการยึดติดระหว่างแบร็กเกตและวัสดุยึดเป็นส่วนใหญ่ในแบร็กเกตทุกกลุ่ม และในกลุ่มที่มีค่ากำลังแรงยึดสูงสุด (20/40 m) จะพบบริเวณที่เกิดความล้มเหลวในการยึดติดระหว่างผิวเคลือบฟันและวัสดุยึดเพิ่มขึ้น

การที่วัสดุยึด Concise ทำให้เกิดความล้มเหลวของการยึดติดระหว่างแบร็กเกตและวัสดุยึดเป็นส่วนใหญ่อาจเนื่องมาจาก การยึดติดระหว่างวัสดุยึดและผิวเคลือบฟันจะมีพื้นที่ผิวที่มากกว่า (microscale) จากการที่ผิวเคลือบฟันมีลักษณะเป็นรูพรุนจำนวนมากหลังจากการใช้กรดกัด และเมื่อใช้บอนด์เรซินที่ไม่มีวัสดุอัดแทรกทาบนผิวเคลือบฟันก่อนการยึดติด บอนด์เรซินจะสามารถแทรกซึมเข้าสู่รูพรุนภายในผิวเคลือบฟันได้ดี และเพิ่มแรงยึดระหว่างผิวเคลือบฟันและวัสดุยึด (Zidan, 1986) ส่วนการยึดระหว่างวัสดุยึดและฐานแบร็กเกตจะมีพื้นที่ผิวสัมผัสน้อยกว่า (macroscale) รวมกับความหนืดของ Concise ทำให้การแทรกซึมของวัสดุยึดเข้าสู่อินเตอร์คัทของฐานแบร็กเกตน้อย แรงยึดระหว่างวัสดุยึดและฐานแบร็กเกตจึงต่ำกว่า นอกจากนี้ Concise ซึ่งมีปริมาณวัสดุอัดแทรกมาก จะมีความแข็งแรงทำให้พบความล้มเหลวในการยึดติดภายในวัสดุยึดน้อย

O'Brien, Watt และ Read (1988) พบว่าไม่มีความแตกต่างอย่างมีนัยสำคัญของกำลังแรงยึดแบบเนียนในการเกิดบริเวณที่เกิดความล้มเหลวในการยึดติดระหว่างแบรคเกตกับวัสดุยึดกับระหว่างผิวเคลือบฟันและวัสดุยึด ดังนั้นบริเวณที่เกิดความล้มเหลวในการยึดติดจึงไม่มีความสัมพันธ์กับค่ากำลังแรงยึดแต่ขึ้นกับการออกแบบฐานแบรคเกตและชนิดของวัสดุยึดที่ใช้ ซึ่งสอดคล้องกับ Osorio และคณะ (1999) และ Urabe (1999) ที่กล่าวว่า บริเวณที่เกิดความล้มเหลวในการยึดติดไม่มีความสัมพันธ์กับกำลังแรงยึดแบบเนียน

Oliver (1988) รายงานว่า บริเวณที่เกิดความล้มเหลวในการยึดติดไม่สัมพันธ์กับการออกแบบฐานแบรคเกต แต่ขึ้นกับวิธีการผสมวัสดุยึด, ตำแหน่งของฟันในช่องปาก และวิธีการถอดแบรคเกต (Bennett, Shen, and Wadron, 1988)

ผลการวิจัยไม่พบการแตกของแบรคเกตในทุกกลุ่มตัวอย่างเนื่องจากแบรคเกตที่ใช้เป็นชนิดโพลีคริสตอลไลน์อะลูมินาที่มีความต้านทานต่อการแตกหักสูงกว่าผิวเคลือบฟันและวัสดุยึด ดังนั้นหากค่ากำลังแรงยึดมีค่าสูง ผิวเคลือบฟันและวัสดุยึดจะเกิดการแตกหักขึ้นก่อนแบรคเกตเซรามิก

จากผลการวิจัยในครั้งนี้จะเป็แนวทางของทันตแพทย์จัดฟันในการพิจารณาเลือกใช้แบรคเกตเซรามิกที่เหมาะสม แม้ว่าการเปรียบเทียบผลการทดลองในห้องปฏิบัติการและในคลินิกไม่สามารถทำได้โดยตรงเนื่องจากมีตัวแปรที่ต้องคำนึงถึงหลายตัวแปรด้วยกันเช่นรูปร่างของฟัน, ความหนาของวัสดุยึด, ความแตกต่างของผู้ป่วยและผู้ทดลอง ดังนั้นควรมีการศึกษาเพิ่มเติมในคลินิกต่อไป

ข้อเสนอแนะ

1. ค่ากำลังแรงยึดที่ได้จากห้องปฏิบัติการจะมีค่าสูงกว่าที่พบในคลินิกเนื่องจากการทดลองในห้องปฏิบัติการสามารถกำจัดปัจจัยต่างๆที่มีผลทำให้ค่ากำลังแรงยึดต่ำลงซึ่งพบในคลินิกได้แก่การปนเปื้อนในช่องปาก, ความชื้น, อุณหภูมิ, แรงบิดเคี้ยว และเทคนิคต่างๆในการเคลื่อนฟัน ดังนั้นการศึกษาในห้องปฏิบัติการจึงมีข้อจำกัดซึ่งไม่สามารถเลียนแบบสิ่งที่เกิดขึ้นจริงในคลินิกจึงควรมีการศึกษาในคลินิกเพิ่มเติม
2. งานวิจัยนี้เป็นการทดสอบกำลังแรงยึดแบบเฉือน/ปอกระหว่างแบรคเกตเซรามิกกับผิวเคลือบฟันเนื่องจากเป็นแรงที่มีโอกาสทำให้เกิดการหลุดของแบรคเกตได้มาก แต่อย่างไรก็ตามในทางคลินิกยังมีแรงอื่นที่ทำให้เกิดการหลุดของแบรคเกตได้ เช่น แรงดึง และแรงบิด เป็นต้นควรมีการศึกษาถึงความต้านทานต่อแรงเหล่านี้ต่อไป
3. ในการทดลองใช้วัสดุยึดเพียงชนิดเดียวคือ Concise ซึ่งเป็นวัสดุยึดชนิดผสมที่ปริมาณวัสดุอัดแทรกสูง จึงควรมีการศึกษาเปรียบเทียบการใช้วัสดุยึดชนิดอื่นในการติดแบรคเกตเซรามิกกับผิวเคลือบฟันต่อไป
4. ควรมีการศึกษาว่าวัสดุที่ใช้ในการทำแบรคเกตมีผลต่อกำลังยึดติดระหว่างแบรคเกตกับผิวเคลือบฟันหรือไม่ เนื่องจากในการทดลองครั้งนี้พบว่าค่ากำลังแรงยึดแบบเฉือน/ปอกของแบรคเกตที่มีลักษณะของฐานคล้ายคลึงกัน แต่ทำจากวัสดุต่างชนิดกันให้ค่ากำลังแรงยึดที่แตกต่างกัน
5. การพิจารณาเลือกใช้แบรคเกตที่เหมาะสมในการรักษาผู้ป่วย นอกจากพิจารณาจากค่ากำลังแรงยึดที่มากเพียงพอที่จะต้านทานต่อแรงที่ใช้ในการจัดฟันและแรงบิดเคี้ยวแล้ว ควรพิจารณาถึงรูปร่างลักษณะของแบรคเกตด้วย แบรคเกต 20/40 m แม้จะให้ค่ากำลังแรงยึดที่สูงแต่มีขนาดเล็กและปีกของแบรคเกตสั้นทำให้การใส่ยางรัดฟันทำได้ยากและหลุดออกง่ายอีกทั้งอาจทำให้การควบคุมทิศทางการเคลื่อนของฟันเป็นไปได้ยากในฟันซี่ใหญ่ จึงอาจพิจารณาใช้แบรคเกตเซรามิกที่มีขนาดใหญ่ขึ้นและมีปีกกว้าง ที่ให้ค่ากำลังแรงยึดที่เพียงพอสำหรับการใช้งานในคลินิกเป็นการทดแทน

รายการอ้างอิง

- Aird, J.C., and Durning, P. 1987. Fracture of polycarbonate edgewise brackets : a clinical and SEM study. Br.J.Orthod. 14 : 191-195.
- Alexander, J.C. , Viazis, A.D. , and Nakajima, H. 1993. Bond strengths and fracture modes of three orthodontic adhesives. J. Clin. Orthod. 27 : 207-209.
- Barkmeier, W.W., Gwinnett, A.J., Shaffer, S.E. 1987. Effects of reduced acid concentration and etching time on bond strength and enamel morphology. J.Clin.Orthod. 21 : 395-398.
- Baumgardner, K.R. 1997. A review of key research design and statistical analysis issues. Oral Surg.Oral Med.Oral Pathol.Oral Radio.Endod. 84 : 550-556.
- Bearn, D.R., Aird, J.C., McCabe, J.F. 1995. Ex vivo bond strength of adhesive precoated metallic and ceramic brackets. Br.J.Orthod. 22 : 233-236.
- Birnie, D. 1990. Orthodontic material update. Br.J.Orthod. 17 : 71-75.
- Bishara, S.E.,Olsen, M.E.Wald,L.V. 1997. Evaluation of debonding Characteristics of a new collapsible ceramic bracket. Am.J.Orthod.Dentofac.Orthop. 112 : 552-559.
- Bishara, S.E., Olsen.M.E., Wald, L.V. 1997. Comparisons of shear bond strength of precoated and uncoated brackets. Am.J.Orthod.Dentofac.Orthop. 112 : 617-621.
- Bishara, S.E., Fehr, D.E., Jakobson, J.R. 1993. A comparative study of the debonding strengths of different ceramic brackets, enamel conditioners, and adhesives. Am.J.Orthod.Dentofac.Orthop. 104 : 170-179.
- Blalock, K.A.Powers, J.M. 1995. Retention capacity of the bracket bases of new esthetic orthodontic brackets. Am.J.Orthod.Dentofac.Orthop. 107 : 596-603.
- Blight, S.J., Lynch, E. 1995. Bond strengths of ceramic brackets using different bonding techniques. Br.J.Orthod. 22 : 35-40.
- Bordeaux, J.M.,Moore, R.N., Bagby, M.D. 1994. Comparative evaluation of ceramic bracket base designs. Am.J.Orthod.Dentofac.Orthop. 105 : 552-560.

- Buzzita, V.A., Hallgren, S.E., and Powers, J.M. 1982. Bond strength of orthodontic direct-bonding cement-bracket systems as studied in vitro. Am.J.Orthod. 81 : 87-92.
- Charuscharoenwittaya, P. 1993. Comparison in shear/peel bond strength of three orthodontic bonding systems related to different loading pressures in direct bonding technique : An in vitro study. Master 's Thesis , Department of Orthodontics, Graduate School , Mahidol University.
- Chittanandha, P. 1997. Comparison in shear/peel bond strength of metal bracket bonded to porcelain. Master 's Thesis , Department of Orthodontics, Graduate School , Chulalongkorn University.
- Chumak, L., Galil, K.A., Way, D.C., Johnson, L.N., and Hunter, W.S. 1989. An in vitro investigation of lingual bonding. Am.J.Orthod.Dentofac.Orthop. 100 : 20-28.
- Chung, S.M. , Tsai, K.T. , Thean, H.P.Y. , Chew, C.L. , and Teoh, S.H. 1997. An assessment of orthodontic bracket bond strength. International Conference on Biomedical Engineering. 9 : 546-548.
- DeWald, J.P. 1997. The use of extracted teeth for in vitro bonding studies : A review of infection control considerations. Dent. Mater. 13 : 74-81.
- Dickinson, P.T., and Powers, J.M. 1980. Evaluation of fourteen direct-bonding orthodontic bases. Am.J.Orthod. 78 : 630-639.
- Diedrich, P. 1981. Enamel alterations from bracket bonding and debonding: A study with scanning electron microscope. Am.J.Orthod.Dentofac.Orthop. 92 : 500-522.
- Eliades, T.,Viazis, A.D., Lekka, M. 1993. Failure mode analysis of ceramic brackets bonded to enamel. Am.J.Orthod.Dentofac.Orthop. 104 : 21-26.
- Eliades, T. Lekka, M.,Eliades, G.,Brantley, W.A. 1994. Surface characterization of ceramic brackets : A multitechnique approach. Am.J.Orthod.Dentofac.Orthop. 105 : 10-18.

- Evans, L.B., Powers, J.M. 1985. Factors affecting in vitro bond strength of no-mix orthodontic cements. Am.J.Orthod. 87 : 508-512.
- Ferguson, J.W., Read, J.F., and Watts, D.C. 1984. Bond strength of an integral bracket-base combination : an in vitro study. Eur.J.Orthod. 6 : 267-276.
- Flores, D.A., Caruso, J.M., Scott, G.E., and Jeiroudi, M.T. 1990. The fracture strength of ceramic brackets : a comparative study. Angle Orthod. 60 : 269-276.
- Forsberg, C.M., Hagberg, C. 1992. Shear bond strength of ceramic brackets with chemical or mechanical retention. Br.J.Orthod. 19 (1992) : 183-189.
- Fox, N.A., McCabe, J.F., Buckley, J.G. 1994. A critique of bond strength testing in Orthodontics. Br. J.Orthod. 21 : 33-43.
- Franklin, S., and Garcia-Godoy, F. 1993. Shear bond strengths of ceramic brackets and enamel morphology after debonding. J.Clin.Orthod. 27 : 83-88.
- Fujita, K. 1979. New orthodontic treatment with lingual bracket mushroom archwire appliance. Am. J. Orthod. 76 : 657-675.
- Gaffey, P.G., Glover, K., Koehler, J.R. 1995. Shear/peel bond strength of repositioned ceramic brackets. Angle Orthod. 65 : 351-358.
- Garcia-Godoy, F., and Martin, S. 1995. Shear strength of ceramic brackets bonded to etched or unetched enamel. J.Clin.Ped.Dent. 19 : 181-183.
- Ghafari, J. 1992. Problems associated with ceramic bracket suggest limiting use to selected teeth. Angle Orthod. 62 : 145-152.
- Ghafari, J. , and Chen, S.S. 1990. Mechanical and SEM study of debonding two types of ceramic brackets. J. Dent. Res. 69 :1837.
- Ghafari, J. , Shanchy, T.J. , and Mante, F. 1992. Shear bond strength of two ceramic brackets. J.Clin.Orthod. 26 : 491-493.
- Gorelick, L., Masunaga, G.M., Thomas, R.G., Zachrisson, B.U. 1978. Round table - bonding : part 2. J.Clin.Orthod. 12 : 761-778.

- Gottlieb, E.L. , and Vogels, D.S. 1984. Orthodontic practice study. Part 2 : practice success. J. Clin. Orthod. 18 cited in Winchester, L.J. 1991. Bond Strengths of five different ceramic brackets : an in vitro study. Eur. J. Orthod. 13 : 293.
- Gwinnett,A.J. 1988. A comparison of shear bond strengths of metal and ceramic brackets. Am.J.Orthod.Dentofac.Orthop. 93 : 346-348.
- Hermesen, R.J., and Vrijhoel, M.M.A. 1993. Loss of enamel due to etching with phosphoric or maleic acid. Dent.Mater. 9 : 332-336.
- International Standard Organization. 1994. Technical Report 11405. 1st ed. Dental material - Guidance on testing of adhesion to tooth structure. Switzerland.
- Iwamoto, H., Kawamoto, T., and Kinoshita, Z. 1987. Bond strength of new ceramic brackets as studied in vitro. J.Dent.Res. 66 : 928.
- Joseph, V.P. , and Rossouw, E. 1990. The shear bond strength of stainless steel and ceramic brackets used with chemically and light-activated composite resins. Am.J.Orthod.Dentofac.Orthop. 97 : 197-203.
- Jost-Brinkmann P.G., Schiffer, A., and Miethke, R. 1992. The effect of adhesive layer thickness on bond strength. J.Clin.Orthod. 26 : 718-720.
- Jou, G.L.E., Leung, R.L.,White, S.N., Zernik, J.H. 1995. Bonding ceramic brackets with light-cured Glass ionomer cements. J.Clin.Orthod. : 184-187.
- Karamouzos, A.,Athanasίου, A.E.,Papadopoulos, M.A. 1997. Clinical Characteristics and properties of ceramic brackets : A comprehensive review. Am.J.Orthod.Dentofac.Orthop. 112 : 34-40.
- Katona, T.R. 1994. The effects of load location and misalignment on shear/peel testing of direct bonded orthodontic brackets-a finite element model. Am.J.Orthod.Dentofac.Orthop. 106 : 395-402.
- Knoll, M., Gwinnett, A.J., and Wolff, M.S. 1986. Shear strength of brackets bonded to anterior and posterior teeth. Am.J.Orthod.Dentofac.Orthop. 98 : 476-479.

- Kusy, R.P. 1988. Morphology of Polycrystalline alumina brackets and its relationship to fracture toughness and strength. Angle Orthod. : 197-203.
- Lehman, R., and Davidson, C.L. 1981. Loss of surface enamel after acid etching procedures and its relation to fluoride content. Am.J.Orthod.Dentofac.Orthop. 93 : 73-82.
- Lew, K.K.K., Chew, C.L., Lee, K.W. 1991. A comparison of shear bond strengths between new and recycled ceramic brackets. Eur.J.Orthod. 13 : 306-310.
- Lopez, J.I. 1980. Retentive shear bond strengths of various bonding attachment bases. Am.J.Orthod. 77 : 669-678.
- Mackay, F. 1992. The effect of adhesive type and thickness on bond strength of orthodontic brackets. Br.J.Orthod. 19 : 35-39.
- Maijer, R., and Smith, D.C. 1981. Variables influencing the bond strength of metal orthodontic bracket bases. Am.J.Orthod. 79 : 20-34.
- Merrill, S.W., Oesterle, L.J., Hermesch, C.B. 1994. Ceramic bracket bonding : A Comparison of shear, tensile, and torsional bond strengths of ceramic brackets. Am.J.Orthod.Dentofac.Orthop. 106 : 290-297.
- Newman, G.V. 1969. Adhesion and orthodontic plastic attachments. Am.J.Orthod. 56 : 573-588.
- Newman, G.V. 1978. Adult orthodontics. Dental Survey. 54 :24-34. cited in Winchester, L.J. 1991. Bond Strengths of five different ceramic brackets : an in vitro study. Eur.J.Orthod. 13: 293.
- Nkenke, E., Hirschfelder, U., Martus, P.,Eberhard, H. 1997. Evaluation of the bond strength of different bracket-bonding systems to bovine enamel. Eur.J.Orthod. 19 : 259-270.
- O'Brien, K.D., Watts, D.C., and Read, M.J.F. 1988. Residual debris and bond strength - is there a relationship? Am.J.Orthod.Dentofac.Orthop. 94 : 222-230.

- Odegaard, J. Segner, D. 1988. Shear bond strength of metal brackets compared with a new ceramic bracket. Am. J.Orthod.Dentofac.Orthop. 94 : 201-206.
- Oliver, R.G. 1988. The effect of different methods of bracket removal on the amount of residual adhesive. Am.J.Orthod.Dentofac.Orthop. 94 : 196-200.
- Olsen, M.E., Bishara, S.E., Jakobson, J.R. 1997. Evaluation of the shear bond strength of different ceramic brackets base designs. Angle Orthod. 67 : 179-182.
- Olsen, M.E., Bishara, S.E., Boyer, D.B., Jakobsen, J.R. 1996. Effect of varying etching times on the bond strength of ceramic brackets. Am.J.Orthod. Dentofac.Orthop. 109 : 403-409.
- Osorio, R., Toledano, M., and Godoy, F.G. 1999. Bracket bonding with 15- or 60-second and adhesive remaining on enamel after debonding. Angle Orthod. 69 : 45-48.
- Phillips, H.W. 1988. The advent of ceramics. J.Clin.Orthod. : 69-70.
- de Pulido L.G., and Powers, J.M. 1983. Bond strength of orthodontic direct bonding cement-plastic bracket systems in vitro. Am.J.Orthod. 83 : 124-130.
- Regan, D., and Noort, R.V. 1989. Bond strengths of two integral bracket-base combinations : an in vitro comparison with foil-mesh. Eur. J. Orthod. 11 : 144-153.
- Reynolds, I.R. 1975. A review of direct orthodontic bonding. Br.J.Orthod. 2 : 171-178.
cited in Weinberger, S.J.,McConnell, R.J., Wright, G.Z. 1997. Bond strengths of two ceramic brackets using argon laser, light, and chemically cured resin systems. Angle Orthod. 67 : 73-178.
- Reynold, I.R., and von Fraunhofer, J.A. 1977. Direct bonding in orthodontics : a comparison of attachments. Br.J.Orthod. 4 : 65-69.
- Rochester, N.Y. 1956. The distribution of fluoride in human enamel. J.Dent.Res. 35 :420-429.

- Rueggeberg, F.A. 1991. Substrate for adhesion testing to tooth structure-Review of the literature. Dent. Mater. 7 : 2-10.
- Sam, W.H., and Chao, S.Y. 1993. Shear bond strength of ceramic brackets with two bonding adhesives. Br. J. Orthod. 10 : 225-229.
- Sheen, D.H., Wang, W.N., and Tarng, T.H. 1993. Bond strength of younger and older permanent teeth with various etching times. Angle Orthod. 63 : 225-230.
- Sheykholeslam, Z., and Brandt, S. 1977. Some factors affecting the bonding of orthodontic attachments to tooth surface. J.Clin.Orthod. 11 : 734-743.
- Smith, N.R., and Reynolds, I.R. 1991. A comparison of three bracket bases : an in vitro study. Br.J.Orthod. 18 : 29-35.
- Smith, D.C., and Majjer, R. 1983. Improvements in bracket base design. Am.J.Orthod. 83 : 277-281.
- Storm, E.R. 1990. Debonding ceramic brackets. J.Clin.Orthod. 24 : 91-94.
- Swartz, M.L. 1988. Ceramic brackets. J.Clin.Orthod. 22 : 82-88.
- Sunna, S., and Rock, W.P. 1998. Clinical performance of orthodontic brackets and adhesive systems : a randomized clinical trial. Br.J.Orthod. 25 : 283-287.
- Sunna, S., and Rock, W.P. 1999. An ex vivo investigation into the bond strength of orthodontic brackets and adhesive systems. Br.J.Orthod. 26 : 47-50.
- Thavarungul, R. 1990. A comparative study of shear/peel strength of different metal bracket base design in direct bonding technique. Master thesis. Faculty of Dentistry, Chulalongkorn University.
- Urabe, H., Rossouw, P.E., Titley, K.C., and Yamin, C. 1999. Combinations of etchants, composite resins, and bracket systems : an important choice in orthodontic bonding procedures. Angle Orthod. 69 : 267-275.

- Viazis, A.D. , Covanaugh, G. , and Bevis, R.R. 1990a. Bond strength of ceramic bracket under shear stress: An in vitro report. Am.J.Orthod.Dentofac.Orthop. 98 : 214-221.
- Viazis, A.D. ,DeLong, R. , Bevis, R.R. .Rudney, J.D. , and Pintado, M.R. 1990b. Enamel abrasion from ceramic orthodontic brackets under an artificial oral environment. Am.J.Orthod.Dentofac.Orthop. 98 : 103-109.
- Viazis, A.D., Nakajima, H., Kleven, J.S. 1993. Shear bond strength of three new ceramic brackets. J.Clin.Orthod. : 539-542.
- Wang. W.N., Meng, C.L.,Tarng, T.H. 1997. Bond Strength : A Comparison between chemical coated and mechanical interlock bases of ceramic and metal bracket. Am.J.Orthod.Dentofac.Orthop. 111 : 374-381.
- Wang, W.N., Yeh, C.L., Fang, B.D., Sun, K.T., and Arvystas, M.G. 1994. Effect of H₃PO₄ concentration on bond strength. Angle Orthod. 64 : 377-382.
- Weinberger, S.J.,McConnell, R.J., Wright, G.Z. 1997. Bond strengths of two ceramic brackets using argon laser, light, and chemically cured resin systems. Angle Orthod. 67 : 73-178.
- Willems, G. , Carels, C.E.L. , and Verbeke, G. 1997. In vitro peel/shear bond strength of orthodontic adhesives. J. Dent. 25 : 263-270.
- Willems, G. , Carels, C.E.L. , and Verbeke, G. 1997. In vitro peel/shear bond strength evaluation of orthodontic bracket base design. J. Dent. 25 : 271-278.
- Winchester, L. 1992. Methods of debonding ceramic brackets. Br.J.Orthod. 19 : 233-237.
- Winchester, L.J. 1991. Bond Strengths of five different ceramic brackets : an in vitro study. Eur. J.Orthod. 13 : 293-305.
- Yamada, T., Smith, D.C., Maijer, R. 1988. Tensile and shear bond strengths of orthodontic direct bonding adhesives. Dent.Mater. 4 : 243-250.

Zidan, O., and Hill, G. 1986. Phosphoric acid concentration : enamel surface loss and bonding strength. J.Prosthet.Dent. 55 : 388-392.



สถาบันวิทยบริการ
จุฬาลงกรณ์มหาวิทยาลัย



ภาคผนวก

การวิเคราะห์ข้อมูล

จุฬาลงกรณ์มหาวิทยาลัย

ตารางที่ 6 แสดงค่าแรงยึดแบบเนียน/ปอก (นิวตัน) ของแบริกเกตเซรามิกและแบริกเกตเหล็ก
กล้าไร้สนิม

ตัวอย่างที่	Transcend series 6000	20/40 m	Crytaline	Dyna-lock
1	97.946	108.464	93.868	75.850
2	94.854	94.545	102.853	96.513
3	91.841	123.892	99.705	101.161
4	98.798	122.667	109.989	83.666
5	87.417	114.497	85.293	105.845
6	94.679	103.969	130.418	109.510
7	76.866	145.827	103.697	108.640
8	75.463	106.838	128.803	104.471
9	97.440	137.226	87.758	90.270
10	111.940	98.225	117.918	79.793
11	90.063	113.587	81.076	116.587
12	110.958	109.688	101.906	87.268
13	114.734	114.725	108.233	96.034
14	93.127	86.159	105.922	109.732
15	87.801	106.114	97.856	109.648
16	98.337	128.960	122.849	92.648
17	116.371	123.877	119.565	85.405
18	86.765	94.816	125.282	81.480
19	97.948	95.666	84.242	72.075
20	87.433	115.721	100.443	89.595
21	74.576	127.816	83.095	117.248
22	91.910	98.032	86.660	107.474
23	108.841	90.823	99.755	103.929
24	116.256	119.727	121.419	100.081
25	79.986	85.703	86.942	101.403
26	89.353	110.107	116.149	84.525
27	95.149	86.999	92.507	93.547
28	117.604	101.247	138.955	74.810
29	98.992	103.643	81.053	102.648
30	107.343	110.877	92.159	108.177

ตารางที่ 7 แสดงค่ากำลังยึดแบบเฉือน/ปอก (เมกะปาสคาล) ของแบรคเกตเซรามิกและ
แบรคเกตเหล็กกล้าไร้สนิม

ตัวอย่างที่	Transcend series 6000	20/40 m	Crytaline	Dyna-lock
1	7.899	10.310	7.558	5.830
2	7.649	8.987	8.281	7.418
3	7.407	11.777	8.028	7.776
4	7.968	11.660	8.856	6.431
5	7.050	10.884	6.867	8.136
6	7.635	9.883	10.501	8.417
7	6.199	13.862	8.349	8.350
8	6.086	10.156	6.528	8.030
9	7.858	13.044	10.371	6.938
10	9.027	9.337	7.066	6.158
11	7.263	10.797	9.494	8.961
12	8.948	10.427	8.205	6.708
13	9.253	10.905	8.714	7.382
14	7.510	8.190	8.528	8.434
15	7.081	10.087	7.879	8.428
16	7.930	12.259	9.891	7.121
17	9.385	11.775	9.627	6.565
18	6.997	9.013	10.087	6.263
19	7.899	11.000	6.783	5.540
20	7.051	12.150	8.087	6.887
21	6.014	9.319	6.690	9.253
22	7.412	8.633	6.977	8.261
23	8.777	11.381	8.032	7.988
24	9.375	8.147	9.776	7.693
25	6.451	10.466	7.000	7.794
26	7.206	8.270	9.352	6.497
27	7.673	9.624	7.448	7.190
28	9.484	9.852	11.188	5.750
29	7.983	10.540	6.526	7.890
30	8.657	9.094	7.420	8.315

ตารางที่ 8 แสดงบริเวณที่เกิดความล้มเหลวในการยึดติดของแบร็กเกตเซรามิกและ
แบร็กเกตเหล็กกล้าไร้สนิม

ตัวอย่างที่	Transcend series 6000	20/40 m	Crytaline	Dyna-lock
1	3	3	3	3
2	3	1	3	3
3	3	3	1	3
4	2	2	3	3
5	3	3	3	3
6	3	3	1	3
7	3	3	3	3
8	3	1	2	3
9	2	3	3	1
10	2	2	3	3
11	3	3	2	3
12	3	3	2	3
13	3	1	1	3
14	2	1	3	1
15	3	2	2	2
16	2	3	3	2
17	3	2	2	3
18	1	3	1	3
19	2	3	1	1
20	3	1	3	1
21	3	3	2	3
22	2	1	3	3
23	3	3	3	3
24	3	1	3	3
25	3	1	3	3
26	2	1	3	1
27	3	3	3	1
28	3	3	3	1
29	3	3	3	2
30	3	1	3	3

- 1 = บริเวณที่เกิดความล้มเหลวในการยึดติดระหว่างผิวเคลือบฟันและวัสดุยึด
 2 = บริเวณที่เกิดความล้มเหลวในการยึดติดภายในวัสดุยึด
 3 = บริเวณที่เกิดความล้มเหลวในการยึดติดระหว่างแบรacketและวัสดุยึด

ตารางที่ 9 แสดงสถิติวิเคราะห์ความแปรปรวนแบบทิศทางเดียวที่ระดับนัยสำคัญทางสถิติ 0.05 ของค่าเฉลี่ยกำลังแรงยึดแบบเนียน/ปอกของแบรacketเซรามิก 3 ชนิด และแบรacketเหล็กกล้าไร้สนิม

Oneway*

Variable STRENGTH shear/peel bond strength
 by Variable BRACKET base designs

ANOVA

STRENGTH

	Sum of Squares	df	Mean Square	F	Sig.
Between Groups	159.759	3	53.253	36.907	.000
Within Groups	167.377	116	1.443		
Total	327.136	119			

จุฬาลงกรณ์มหาวิทยาลัย

ตารางที่ 10 แสดงการทดสอบความแตกต่างด้วยสถิติเซฟเฟที่ระดับนัยสำคัญทางสถิติ 0.05 ของค่าเฉลี่ยกำลังแรงยึดแบบเนียน/ปอกของแบรเกตเซรามิก 3 ชนิด และแบรเกตเหล็กกล้าไร้สนิม

Post Hoc Tests

Multiple Comparisons

Dependent Variable: STRENGTH

Scheffe

(I) Bracket types	(J) Bracket types	Mean Difference (I-J)	Std. Error	Sig.
Dyna-lock	Transcend series 6000	-.35743	.31015	.723
	20/40 m	-2.98083*	.31015	.000
	Crytaline	-.92350*	.31015	.035
Transcend series 6000	Dyna-lock	.35743	.31015	.723
	20/40 m	-2.62340*	.31015	.000
	Crytaline	-.56607	.31015	.348
20/40 m	Dyna-lock	2.98083*	.31015	.000
	Transcend series 6000	2.62340*	.31015	.000
	Crytaline	2.05733*	.31015	.000
Crytaline	Dyna-lock	.92350*	.31015	.035
	Transcend series 6000	.56607	.31015	.348
	20/40 m	-2.05733*	.31015	.000

* The mean difference is significant at the .05 level.

ตารางที่ 11

Homogeneous Subsets

STRENGTH

Scheffe

	N	Subset for alpha = .05		
Bracket types		1	2	3
Dyna-lock	30	7.41347		
Transcend series 6000	30	7.77090	7.77090	
Crytaline	30		8.33697	
20/40 m	30			10.39430
Sig.		.723	.348	1.000

Means for groups in homogeneous subsets are displayed.

a Uses Harmonic Mean Sample Size = 30.000.

สถาบันวิทยบริการ
จุฬาลงกรณ์มหาวิทยาลัย

ตารางที่ 12 แสดงสถิติการทดสอบของครัสคาล-วอลลิสที่ระดับนัยสำคัญทางสถิติ 0.05 ของบริเวณที่เกิดความล้มเหลวในการยึดติดของแบรacket เซรามิก 3 ชนิด และ แบรacketเหล็กกล้าไร้สนิม

Kruskal-Wallis Test

Ranks

	BRACKET	N	Mean Rank
ARI	Dyna-lock	30	61.20
	Transcend series 6000	30	67.22
	20/40m	30	52.53
	Crytaline	30	61.05
	Total	120	

Test Statistics

	ARI
Chi-Square	3.696
df	3
Asymp. Sig.	.296

a Kruskal Wallis Test

b Grouping Variable: BRACKET

ตารางที่ 13 แสดงพื้นที่ของฐานแบรacketที่มีลักษณะของฐานแตกต่างกัน 4 กลุ่ม

แบรacket	พื้นที่ของฐานแบรacket (มม. ²)	บริษัทผู้ผลิต
Transcend series 6000	12.40	3 M Unitek
20/40 m	10.52	American Orthodontics
Crytaline	12.42	Tomy
Dyna-lock	13.01	3 M Unitek

ข้อมูลของพื้นที่ฐานแบรacketได้มาจากบริษัทผู้ผลิต

ประวัติผู้เขียน

นางสาวอรนุช เณิมสกุลรัตน์ เกิดวันที่ 17 กรกฎาคม ที่โรงพยาบาลหัวเฉียว จังหวัด กรุงเทพมหานคร จบมัธยมศึกษาจาก โรงเรียนมาแตร์ เดอีวิทยาลัย สำเร็จการศึกษาปริญญาตรี ทันตแพทยศาสตรบัณฑิต (เกียรตินิยม) จากคณะทันตแพทยศาสตร์ จุฬาลงกรณ์มหาวิทยาลัย ในปี การศึกษา 2537 ทำงานที่โรงพยาบาลค่ายสุรสิงหนาท อำเภออรัญประเทศ จังหวัดสระแก้ว เป็นเวลา 1/2 ปี และทำงานในคลินิกเอกชนเป็นเวลา 11/2 ปี เข้าศึกษาต่อในหลักสูตรวิทยาศาสตรมหาบัณฑิต สาขาวิชาทันตกรรมจัดฟัน คณะทันตแพทยศาสตร์ จุฬาลงกรณ์มหาวิทยาลัย เมื่อปีการศึกษา 2540



สถาบันวิทยบริการ
จุฬาลงกรณ์มหาวิทยาลัย